

UNIVERSITE D'ALGER  
ECOLE NATIONALE POLYTECHNIQUE

10/73

DEPARTEMENT GENIE CIVILE

105



# PROJET DE FIN D'ETUDES

## HOPITAL DE OUARGLA MEDECINE GENERALE

14 plans.

Proposé par **M. SLAVKOV**  
Dirigé par **M. BRON**  
Etudié par **M. BELHADJ**

ANNÉE UNIVERSITAIRE 1972-1973

Jean-Paul BOUAFIA



UNIVERSITE D'ALGER  
ECOLE NATIONALE POLYTECHNIQUE  
DEPARTEMENT GENIE CIVILE

# PROJET DE FIN D'ETUDES

## HOPITAL DE OUARGLA MEDECINE GENERALE



Proposé par **M. SLAVKOV**  
Dirigé par **M. BRON**  
Etudié par **M. BELHADJ**

ANNÉE UNIVERSITAIRE 1972-1973

II

Enata.

- . - Plancher: Nous avons adopté un plancher à corps creux 16+4
  - . 1) Calcul des moments  $0,15\% = 0,15 \times 871 = 130 \text{ kg.m}$
  - . Fixation  $\bar{\varepsilon}_d = 2,4 \sqrt{\frac{m}{\delta}} (\text{à } \bar{\varepsilon}'_{b_0})$
  - . Contrainte de compression  $\bar{\varepsilon}'_{b_0} < \bar{\varepsilon} \bar{\varepsilon}'_{b_0}$  et  $\bar{\varepsilon}'_{tu} < \bar{\varepsilon}'_{b_0}$
  - . II Calcul des armatures transversales.
    - .  $\bar{\varepsilon}_b < 3,5 \bar{\varepsilon}'_{b_0}$  au lieu de  $3,5 \bar{\varepsilon}'_{b_0}$ , au cas où  $\bar{\varepsilon}'_b \leq \bar{\varepsilon}'_{b_0}$ .
    - . et  $\bar{\varepsilon}'_{b_0} \leq \bar{\varepsilon}'_b \leq 2\bar{\varepsilon}'_{b_0}$ . par  $\bar{\varepsilon}_b \leq (4,5 - \frac{\bar{\varepsilon}'_b}{\bar{\varepsilon}'_{b_0}}) \bar{\varepsilon}'_{b_0}$
    - . 4) Vérification à l'entraînement des armatures de traction
    - .  $\bar{\varepsilon}_d = 2 \cdot 1,5 \cdot 5,8 = 17,4 \text{ kg/cm}^2$ .
  - . Poutre A<sub>1</sub> et A<sub>2</sub> , estimation des charges.  
charge au lieu de chargement
  - . Poutre A<sub>3</sub> armatures longitudinales
- $\mu^1 = \frac{154}{2800 \times 22 \times 57^2} \text{ au lieu de } \frac{154}{2800 \times 22 \times 57^2}$ .
- entraînement des armatures
- $\bar{\varepsilon}_d = 11,8 < \bar{\varepsilon}_d \text{ au lieu de } \frac{\bar{\varepsilon}_d}{2}$ .



*Crata*

- . - Plancher: Pour avons adopté un plancher à caps avec 16+4
- . 1) Calcul des moments  $0,15\% = 0,15 \times 871 = 130 \text{ kg.m}$
- . Fixation  $\sigma_2 = 2,4 \sqrt{\frac{M}{\phi}} \quad (\text{kg} \cdot \text{m}^2)$
- . Contrainte de compression  $\sigma'_b < \bar{\sigma}'_{b0}$  et  $\sigma/\mu < \bar{\sigma}'_{b0}$
- . II Calcul des armatures transversales.
- .  $\epsilon_b < 3,5 \bar{\sigma}'_{b0}$  au lieu de  $3,5 \bar{\sigma}_b$ , au cas où  $\sigma'_b \leq \bar{\sigma}'_{b0}$
- . et  $\bar{\sigma}'_{b0} \leq \sigma'_b \leq 2\bar{\sigma}'_{b0}$  par  $\epsilon_b \leq (4,5 - \frac{\sigma'_b}{\bar{\sigma}'_{b0}}) \bar{\sigma}_b$
- . 4) Vérification à l'entraînement des armatures de traction
- .  $\bar{\epsilon}_d = 8 \cdot 1,5 \cdot 5,8 = 17,4 \text{ kg/cm}^2$
- . Partie A<sub>1</sub> et A<sub>2</sub>, estimation des charges de charge au lieu de charriage.
- . Partie A<sub>3</sub> armatures longitudinales
- .  $\mu^1 = \frac{154}{2800 \times 12 \times 57^2} \text{ au lieu de } \frac{154}{2800 \times 12 \times 57^2}$
- . Entrainement des armatures
- .  $\bar{\epsilon}_d = 11,8 < \bar{\epsilon}_d \text{ au lieu de } \frac{\bar{\epsilon}}{4}$ .



Que mes parents,

Les professeurs qui ont contribué à ma formation,

Mr Slavkov et Mr Bron qui m'ont guidé dans mon travail,

Mr Balachov et Mr Bourdès pour leurs précieux conseils,

Mes amis qui m'ont beaucoup encouragé, trouvent dans  
cet ouvrage mes remerciements et ma profonde gratitude.

...



## Plan d'Etude .

1. Etude des planchers .

2. Etude des poutres .

3. Descr<sup>e</sup>te de charges .

4. Etude des Portiques .

5. Etude des fondations .

6. Etudes des Escaliers .

## Médecine générale

Le service de la médecine générale est organisé dans un bloc prévu pour la deuxième étape de la réalisation de l'hôpital.

Intégré ainsi dans le schéma fonctionnel de l'ensemble, il est assuré une certaine indépendance. La médecine générale accède au point de circulation centrale. A l'extrémité opposée du couloir se trouve un escalier de secours et au rez-de-chaussée un accès direct sur le jardin de l'hôpital.

La capacité totale est de 120 lits : 4 unités de 30 lits basées sur l'unité de soins types. Le système de simple couloir est préférable du point de vue de l'orientation des chambres des malades donnant sur le jardin de l'hôpital et les locaux communs vers l'espace intérieur de la composition et encore la ventilation directe de tous les locaux est très effective.

Dans chaque unité de soins on y trouve : 3 chambres à 6 lits  
3 chambres à 3 lits et 3 chambres à un lit. Total 30 lits.

On y trouve aussi un poste de surveillance, w.c. collectives, douches et baignoires, locaux de réserve plus nettoyage et une chambre à un lit de réserve. La capacité des locaux communs correspond aux besoins des 30 malades.

Les bureaux des médecins et le secrétariat font partie du group des cabinets médicaux à chaque étage.

La portée choisie de 3,60 m est le module optimal d'organisation des chambres à 3,6 et 1 lit et encore elle offre toutes les possibilités d'organiser les chambres des malades d'après les besoins de l'époque. Le schéma constructif est un squelette de portiques en béton armé et les planchers en poutrelles et hourdis. D'après les estimations faites ce schéma est le plus économique et le plus rationnel surtout pour les conditions de construction en Algérie.

Le bloc de la médecine générale est conçu en rez-de-chaussée et trois étages. Compte tenu de la nappe phréatique, le rez-de-chaussée est soulevé à 80 cm du niveau du terrain ce qui permet d'organiser les vides sanitaires et les gaines techniques.

Le détail de la toiture, « double toit » c'est à dire l'hydro et la thermo-isolation séparées par une couche d'air est le plus sûr pour le climat excessivement dur du désert.

Toutes les gaines techniques dans les unités de soins passent par l'espace technique du faux plafond des couloirs. Le revêtement des planchers est carrelage de mosaïque. Une couche de sable entre la dalle de béton et le carrelage procure l'isolation phonique. Les murs et les plafonds de l'intérieur sont enduits de plâtre et de l'extérieur le bâtiment est revêtu en bouchardé au ciment blanc.

La protection des façades sur lesquelles donnent les chambres des malades est assurée par un système de brise-soleil.

**CALCUIL**  
**DES**  
**PLANCHERS**

## PLANCHER

### Méthode Générale de calcul

Nous avons adopté un plancher à corps creux A6+4.

les poutrelles du plancher seront calculées comme poutres continues l'une à 7 travées de 3,38 m et l'autre à 6 travées de 3,38 m aussi, séparées par un joint.

#### I. Estimation des charges:

##### A. Charges permanentes

1. Carrelage ciment	$0,65 \times 1,15 \times 25$	= 24,50 kg
2. Mortier de ciment	$0,65 \times 1,5 \times 20$	= 19,6 kg
3. Maclefer	$0,65 \times 3 \times 10$	= 19,5 kg
4. Dalle de compression	$0,65 \times 4 \times 25$	= 65 kg
5. ? Houblon	$(0,65 - 0,11) 95$	= 51,3 kg
6. Poutrelle	$0,11 \times 16 \times 25$	= 44 kg
7. Enduit de plâtre	$0,65 \times 1 \times 14$	= 9,1 kg
8. Cloisons reparties	$0,65 \times 100$	= 65
		298 kg/ml
	Total	

B. Surcharges:	$1,2 \times 400 \times 0,65$	<u>312</u> kg/ml
		<u>610</u> kg/ml

La surcharge totale par ml de poutrelle est  
La finuration n'est pas préjudiciable. La somme de surcharges p  
est inférieure à deux fois la somme des charges permanentes:

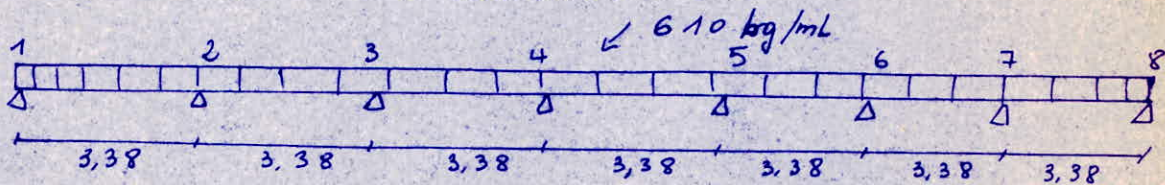
$$312 < 2 \times 298.$$

Les éléments solidaires ont une même section, qui est constante dans leurs différentes travées. Le rapport des travées est compris entre 0,8 et 1,25. Nous utiliserons la méthode forfaitaire des BA 68.

## II. Calcul d'une poutrelle d'un plancher d'étage:

### A. Calcul des armatures longitudinales:

#### 1. Calcul des moments:



Moment  $M_0$  de la poutre de référence

$$M_0 = \frac{qPL}{8} \Rightarrow M_0 = \frac{610 \times 3,38^3}{8} = 871 \text{ Kgm}$$

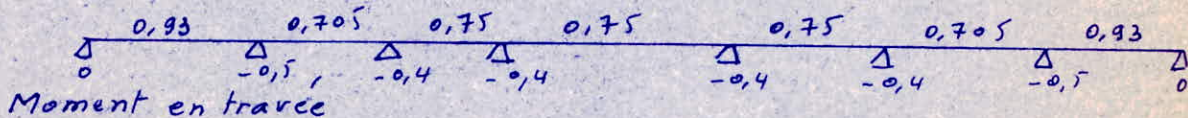
Moments aux appuis:

$M_1 = M_8 = 0$  Cependant nous prendrons un moment de continuité égal à  $0,15 M_0$

$$0,15 \times 871 = ?$$

$$M_2 = M_7 = -0,5 M_0 \Rightarrow M_2 = M_7 = -436 \text{ Kgm}$$

$$M_3 = M_4 = M_5 = M_6 = -0,4 M_0 \Rightarrow M_3 = 349 \text{ Kgm}$$

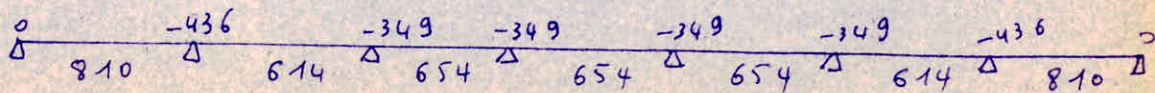


Moment en travée

$$M_{1-2} = M_{7-8} = 0,93 M_0 \Rightarrow M_{1-2} = M_{7-8} = 810 \text{ Kgm}$$

$$M_{2-3} = M_{6-7} = 0,705 M_0 \Rightarrow M_{2-3} = M_{6-7} = 614 \text{ Kgm}$$

$$M_{3-4} = M_{4-5} = M_{5-6} = 0,75 M_0 \Rightarrow M_{3-4} = M_{4-5} = M_{5-6} = 654 \text{ Kgm}$$



## 2- Dimensionnement de la section transversale de la poutrelle.

Les conditions fixant la largeur de la table de compression

sont :

-  $b < \frac{1}{6}$  de la distance entre points de moment nul  $\Rightarrow$

$$\frac{9x^2}{8} = 614 \quad \Rightarrow \quad x = \left( \frac{8 \times 614}{610} \right)^{1/2}$$

-  $b < \frac{1}{10}$  de la portée entre mur d'appui.

$$\text{soit } b < \frac{1}{10} \times 33,8 = 3,38 \text{ cm}$$

-  $b < \frac{1}{2}$  distance entre nervure (distance entre faces voisines des deux nervures).  $b \leq \frac{1}{2} \cdot 48 = 24 \text{ cm}$

-  $b < \frac{2}{3}$  de la distance de la section considérée au point de moment nul.  $b < \frac{2}{3} \cdot \frac{x}{2}$

On prendra comme valeur de  $b$  la valeur la plus restrictive  
soit  $b = 24 \text{ cm}$ .

La largeur du corps creux étant de 48 cm, l'enti'axe des nervures est 65 cm. Le choix des dimensions est ainsi justifié.

## 3- Calcul de la section d'armature en travée.

travée 1-2 et 7-8

$$h_t = 16 + 4 = 20 \text{ cm}$$

On prendra  $\delta = 0,1 \Rightarrow t = 2 \text{ cm}$  soit  $h = 20 - 2 = 18 \text{ cm}$

$$M' = \frac{15 M}{2800 \times 65 \times 18^2} = 2,55 \cdot 10^{-7} \text{ M}$$

$$A = \frac{15}{M} \cdot \frac{\bar{w} b h}{100} \quad \text{avec } n = 15$$

$\bar{f}_b$  Contrainte de compression du béton

$$\bar{f}_b = \frac{\bar{f}_a}{k}$$

Le moment maximal en travée est 810 kgm

$$M' = 2,55 \cdot 10^7 \times 810000 = 0,0206$$

le tableau donne  $\alpha = 0,1887$

$$k = 64,5 \quad \bar{\omega} = 0,146 \quad \frac{h_o}{h} = \frac{4}{18} = 0,222 > 0,1887 = \alpha$$

L'axe neutre tombe dans la table de compression; La section sera étudiée comme une section rectangulaire de largeur  $b = 65\text{cm}$  et de hauteur utile  $h = 18\text{cm}$ .

N° de Travée	Mt en Kgm	$M'$	$\alpha$	$\bar{\omega}'$	$k$	$A \text{cm}^2$	$\sigma'_b$ $\text{kg/cm}^2$	$A$ adopté	n° de barres
1-2 7-8	810	0,0206	0,1887	0,206	64,5	1,732	43,4	1 HA 10 2 HA 8	1,85
2-3 6-7	614	0,0156	0,1657	0,110	75,5	1,3	37,1	1 HA 10 2 HA 8	1,85
3-4 4-5 5-6	654	0,0166	0,1714	0,118	72,5	1,4	38,6	1 HA 10 2 HA 8	1,85

Calcul du pourcentage minimal d'armature:

$$A \geq b \cdot h \cdot \psi_4 \cdot \frac{\sigma'_b}{\sigma_a} \cdot \left(\frac{h}{t}\right)^2 \quad \psi = 0,54 \quad \text{pour acier écoruis}$$

$$\text{soit } A \geq 65 \cdot 18 \cdot 0,54 \cdot \frac{5,8}{2800} \cdot \left(\frac{20}{18}\right)^2 = 1,621 \text{ cm}^2$$

Seule la section d'armatures dans les travées 1-2 et 7-8 vérifie cette condition de non fragilité.

La section d'armature à prendre en compte dans les autres travées sera celle imposée c'est à dire 1,624.

#### 4 - Section d'Armatures aux appuis:

les poutrelles étant coulées sur place, nous pourrions compter sur une bonne adhérence du béton.

Aussi du fait que les corps creux présentent une résistance mécanique suffisante. Nous faisons intervenir une charge fictive de la nervure, égale à la largeur réelle augmentée de l'épaisseur des parois du corps creux.

$$b_o = 8 + 2 = 10 \text{ cm}$$

La largeur moyenne de la nervure est égale à 18 cm.

La table de compression, au niveau des appuis se trouve dans la zone tendue, du point de vue calcul, nous avons une section rectangulaire de largeur 10 cm, de hauteur utile 18 cm.

$$\mu' = \frac{15M}{\bar{\sigma} abh^2} \quad \text{doit} \quad \frac{15 M}{2800 \times 10 \times 18^2} = 1,65 \cdot 10^{-6} \text{ M}$$

$$A = \frac{15}{m} \frac{\bar{\sigma} b h}{100}$$

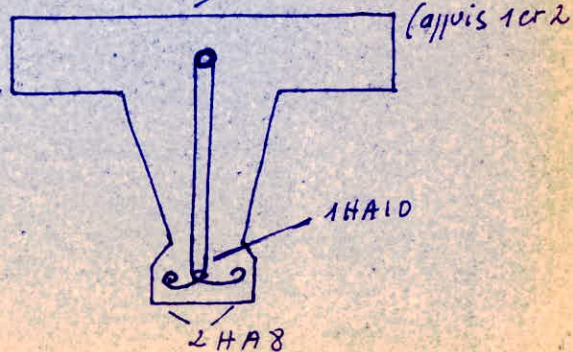
Condition de non fragilité : pourcentage minimal

$$A \geq b_o h \psi_4 \frac{\bar{\sigma}_b}{\bar{\sigma}_a} \left( \frac{h_t}{h} \right)^2 \quad \text{soit} \quad A \geq 10 \cdot 18 \cdot 0,54 \frac{51,8}{2800} \cdot \left( \frac{20}{18} \right)^2 = 0,25 \text{ cm}^2$$

n° appuis	M <sub>c</sub>	$\mu'$	$\alpha$	$\bar{w}'$	k	$\sigma'_b$	A'	A' adopté	nb de barres
2-7	436	0,072	0,3297	0,540	30,5	91,8	0,97	1 HA12	1,13
3-4- -5-6	349	0,058	0,3006	0,431	34,9	80,23	0,73	1 HA12	1,13
1-8	131	0,0216	0,1935	0,155	62,5	44,8	0,28	1 HA8	0,50

Seuls les armatures des appuis 1 et 2 ne vérifient pas la condition de fragilité.

On adoptera la section minimale imposée.



## Fissuration:

La valeur maximale de la contrainte de traction des armatures sera limitée à la plus grande des valeurs suivantes:

$$\sigma_1 = k \left( \frac{\gamma}{\phi} \right) \left( \bar{w}_f / 1 + 10 \bar{w}_f \right)$$

$$\text{et } \sigma_2 = 2,4 \left[ \frac{\gamma}{\phi} (k \bar{\sigma}_b) \right]^{1/2}$$

$\phi$  diamètre nominal exprimé en mm de la plus grosse barre tendue dans la section d'enrobage.

$$\phi = 12 \text{ mm}$$

$$n = 1,6$$

$$\bar{\sigma}_b = 5,8 \text{ kg/cm}^2$$

$$k = 1,5 \cdot 10^6$$

Si  $B_f$  est la section d'enrobage contenant toutes les barres.

$$\bar{w}_f = \frac{A}{B_f} = \frac{1,85}{4 \cdot 13} = 0,0355$$

$$\sigma_1 = \frac{1,5 \cdot 10^6 \cdot 1,6}{10} \times \frac{0,0355}{1 + 10 \times 0,0355} = 6288$$

$$\sigma_2 = 2,4 \sqrt{\frac{1,6 \cdot 1,5 \cdot 10^6 \cdot 5,8}{12}} = 2585$$

$\bar{\sigma}_a$  La contrainte admissible des aciers est la valeur minimale de  $\sigma_1$  et  $\frac{2}{3} \sigma_{en}$ .

$$\frac{2}{3} \sigma_{en} = 2800 \text{ kg/cm}^2 \Rightarrow \bar{\sigma}_a = 2800 \text{ kg/cm}^2$$

Le choix de  $\bar{\sigma}_a$  est justifié.

- Contrainte de compression dans le béton:

Il faut vérifier la plus restrictive des deux conditions

$$\sigma'_b < 2 \bar{\sigma}'_b \quad \text{et} \quad \sigma'_m \leq \bar{\sigma}'_{bo} \quad \text{la condition } \sigma'_b \leq 2 \bar{\sigma}'_{bo} \text{ est vérifiée}$$

Calcul de  $\sigma'_m$ :  $F = \frac{M}{z}$  avec  $z = h - \frac{h_0}{2}$  soit 16 cm

$$F = \frac{81000}{16} = 5062,5 \text{ kg} \Rightarrow \sigma'_m = \frac{F}{bx}$$

$$\sigma'_m = \frac{5062,5}{0,1899 \cdot 18,65} = 22,79 \text{ kg/cm}^2 < 67,5 \text{ kg/cm}^2 \text{ vérifié.}$$

## Etude de l'effort tranchant

### I. Calcul de T:

$$T_1 \text{ à droite} = \frac{q\ell}{2} + \frac{M_e - M_w}{\ell}$$

$$T_2 \text{ à gauche} = q\ell - T_1$$

$M_w$  : moment sur appui de gauche

$M_e$  : moment sur appui de droite

$$T_{1d} = \frac{610 \times 3,38}{2} - \frac{436}{3,38} = 901 \text{ kg}$$

$$T_{2g} = 901 - 610 \times 3,38 = -1161 \text{ kg}$$

$$T_{2d} = \frac{610 \times 3,38}{2} + \frac{436 - 349}{3,38} = 1005 \text{ kg}$$

$$T_{3g} = 1005 - 610 \times 3,38 = -1057 \text{ kg}$$

$$T_{3d} = \frac{610 \times 3,38}{2} = 1031 \text{ kg}$$

901	1161	1057	1031	1031	1057	1161	1005
1005	1031	1031	1031	1031	1031	1005	

Vérification :

$$7 \times 610 \times 3,38 = 14432 \approx 14434$$

### II. Calcul des armatures transversales:

1- Aucune armature transversale n'est requise dans les planchers où nervures et houddis sont bétonnées en même temps si la contrainte  $Z_B = \frac{T}{b \cdot z} \leq \frac{3}{4} \bar{\sigma}_b$ .

L'axe neutre tombe dans la table de compression; La section sera calculée comme une section rectangulaire.

bras de levier :  $z = \varepsilon h$   
 $z = 0,8901 \times 18 = 16,02 \text{ cm}$

Si la largeur de l'âme n'est pas constante, on prendra la largeur minimale c'est à dire 10cm.

$$\bar{Z}_b = \frac{T}{b_0 z} = \frac{1161}{10 \times 16,02} = 7,25 \text{ kg/cm}^2$$

Ce qui implique :  $\bar{Z}_b > \frac{3}{4} \bar{\sigma}_b$  soit  $7,25 > \frac{3}{4} 5,8$  ou  $7,25 > 4,35$

Les armatures transversales sont nécessaires. La contrainte  $\bar{Z}_b$  est bornée au droit de chaque section par :

$$\bar{Z}_b \leq 3,5 \bar{\sigma}_b \quad \text{au cas où } \bar{\sigma}_b' \leq \bar{\sigma}_{b_0}'$$

et au cas où  $\bar{\sigma}_{b_0}' \leq \bar{\sigma}_b' \leq 2 \bar{\sigma}_{b_0}$  par

$$\bar{Z}_b \leq \left( 4,5 - \frac{\bar{\sigma}_b'}{\bar{\sigma}_{b_0}'} \right) \bar{\sigma}_b' = \left( 4,25 - \frac{93}{67,55} \right) 5,8 = 18,2$$

vérifié

$$\bar{\sigma}_b' = \frac{2800}{30,5} = 91,8 \text{ kg/cm}^2$$

$$\bar{\sigma}_{b_0}' < \bar{\sigma}_b' < 2 \bar{\sigma}_{b_0}' \quad \text{soit} \quad 67,5 < 93 < 135 \quad \text{vérifié}$$

La contrainte de traction admissible des armatures transversales  $\alpha$  est égale à  $\bar{\sigma}_{at} = \rho_a \bar{\sigma}_{em}$ . avec  $\rho_a = 1 - \frac{\bar{Z}_b}{9 \bar{\sigma}_b}$  soit  $\rho_a = 1 - \frac{7,25}{9,5,8} = 0,8612 > \frac{2}{3}$  et il n'y a pas reprise de bétonnage.

$$\text{On prend } \rho_a = 0,86 \Rightarrow \bar{\sigma}_{at} = 0,86 \times 2400 = 2066 \text{ kg/cm}^2$$

$$\Rightarrow A_t = \frac{T}{\bar{\sigma}_{at}} = \frac{1161}{2066} = 0,562 \text{ cm}^2$$

## 2 - Calcul de l'espacement:

$$t = \frac{A_t \cdot 3 \bar{\sigma}_{at}}{T} \quad \text{soit} \quad \frac{0,562 \times 16,02 \times 2066}{1161} = 16,1 \text{ cm}$$

l'espacement limite

$$E = h \left( 1 - 0,3 \frac{\bar{Z}_b}{\bar{\sigma}_b} \right) \quad \text{soit} \quad E = 18 \left( 1 - 0,3 \frac{7,25}{5,8} \right) = 11,2$$

on doit avoir aussi  $t > 0,2h \Rightarrow t > 0,2 \times 18 \text{ soit } t > 3,6$

On prend donc  $t = 11 \text{ cm}$ . On adopte la méthode de la demi portée  $\frac{3,38}{2} = 1,69 \text{ cm}$

La distribution :  $2 \times 11,2 ; 2 \times 13 ; 2 \times 16 ; 4 \times 18$ .

### 3 - Traction des armatures inférieures aux appuis de rive :

On vérifie que  $A \bar{\sigma}_a \geq T + \frac{M}{t}$  or  $M=0$  aux appuis de rive  
on doit vérifier donc que  $A \bar{\sigma}_a \geq T$

Soit  $0,78 \times 2800 > 901$  vérifié

### 4 - Vérification à l'entrainement des armatures de traction :

La contrainte d'adhérence  $\bar{\epsilon}_d$  des armatures vaut

$$\bar{\epsilon}_d = \frac{T}{P_3} \quad T = 1161$$

$P$  = périmètre total adhérent 1HA10 et 2HA8

$\beta$  : bras de levier  $= \frac{7}{8} h$

On doit vérifier  $\bar{\epsilon}_b \leq \bar{\epsilon}_d$

ou  $\bar{\epsilon}_b \leq 2 \gamma_d \bar{\sigma}_b$  avec  $\gamma_d = \frac{1,5}{\sqrt{2}} \gamma_d$

et  $\gamma_d = 1,6$  Acier haute adhérence.

Soit  $\bar{\epsilon}_d = 2 \cdot 1,5 \cdot 5,8 = 17,4 \text{ kg/cm}^2$

La condition  $\bar{\epsilon}_b \leq \bar{\epsilon}_d$  soit  $9,1 < 17,4$  est vérifiée.

### 5 - Anchorage des armatures :

Détermination de la contrainte des armatures inférieures au niveau des appuis de rive.

Aux appuis de rive  $M=0 \quad T = 901 \text{ kg}$ .

La section d'armatures aux appuis de rive est  $1,78 \text{ cm}^2$ . L'effort de traction s'exerçant sur les armatures inférieures aux appuis de rive est.

$$\bar{\sigma}_a = \frac{901}{1,78} = 511 \text{ kg/cm}^2$$

Contrainte d'adhérence admissible dans la zone d'ancrage normal:

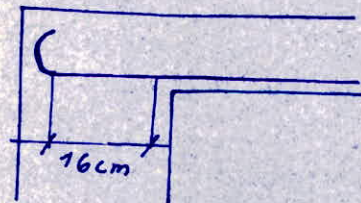
$$\bar{\sigma}_d = 1,25 \varphi_d^2 \quad \bar{\sigma}_b = 1,25 \left( \frac{1,5}{\sqrt{2}} \right)^2 \times 5,8 = 16,4 \text{ kg/cm}^2$$

La longueur d'ancrage par scellement droit

$$l_d = \frac{\phi \bar{\sigma}_a}{4 \bar{\sigma}_d} = \frac{1 \times 511}{4 \times 16,4} = 7,82 \text{ cm}$$

La "longueur" des appuis étant de 20cm, nous réaliserons en pratique un ancrage de 16cm terminé par un crochet considéré de rayon

$$R = 3 \frac{d}{2} = 3 \text{ cm}$$



6 - Compression de la bielle d'about : on doit vérifier  $\sigma'_b < \bar{\sigma}'_{b_0}$

$$\sigma'_b = \frac{2T}{b_0 c} \quad c : \text{largeur de la nervure}$$

$$\text{Soit } \frac{2901}{20 \times 13} = 5,4 \text{ kg/cm}^2 < 67,5 \text{ kg/cm}^2$$

7 - Appuis intermédiaires (armatures inférieures)

La valeur de  $T + (-\frac{M}{z})$  étant négative, aucune vérification de la section des armatures inférieures à l'appui et de leur ancrage n'est nécessaire.

## V

## Ferraillage de la dalle de compression

Il est utile de ferrailler la dalle de compression. Pour limiter le risque de fissuration par retrait du béton. Pour résister aux effets des charges appliquées sur les surfaces réduites.

Pour réaliser un effet de répartition entre nervures des charges localisées. (par exemple celles des cloisons).

$$A = 0,02 \frac{\text{en}}{\delta_{\text{en}}} \frac{2160}{\text{en}} \text{ soit } \frac{43}{\delta_{\text{en}}} \text{ en pour les treillis en Adx.}$$

en étant la distance entre axe des nervures des poutres.

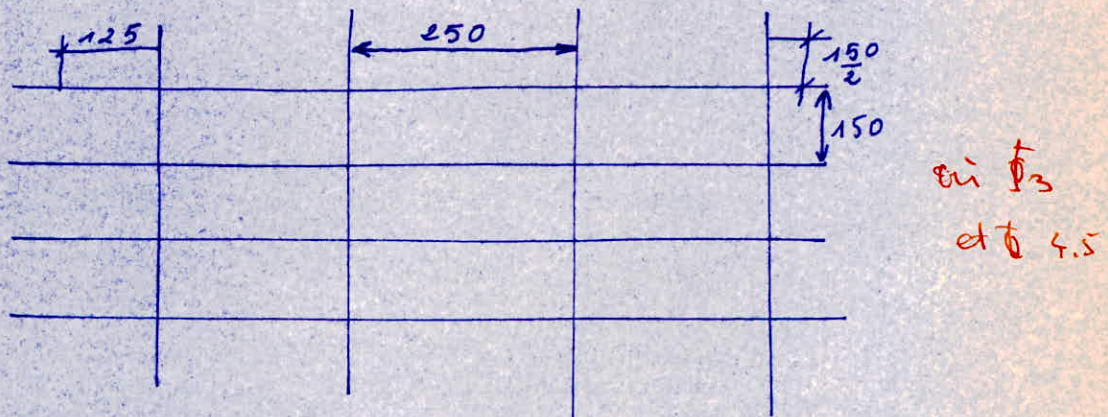
$$\delta_{\text{en}} : \text{treillis} = 5200$$

$$A_1 = \frac{43 \times 65}{5200} = 0,538 \text{ cm}^2/\text{ml} \quad \text{perpendiculairement aux nervures.}$$

$$A_2 \leq \frac{A_1}{2} = 0,269 \text{ cm}^2/\text{ml} \quad \text{parallèlement aux nervures}$$

On utilisera un treillis soudé en  $\phi 3$  et  $4,5$

maille  $150 \times 250$



# Plancher d'étage

	APPUIS				TRAVEES		
	1 ou travée	2	3	4	1-2	2-3	3-4,4-5
Moment kg.cm	13100	43600	34900	81000	61400	65400	
$\mu'$	0,0216	0,072	0,058	0,0216	0,0156	0,0166	
$\alpha$	0,1935	0,3297	0,3006	0,1887	0,1657	0,1714	
$\tilde{w}$	0,155	0,540	0,431	0,0147	0,0110	0,0118	
$k$	62,5	30,5	34,9	64,5	75,5	72,5	
$A_{en\ cm^2}$	0,28	0,97	0,73	1,738	1,3	1,4	
$\alpha$ adopté	0,50	1,13	1,13	1,85	1,85	1,85	
nb de barr	IHA8	IHA12	IHA12	IHA10 2HA8	IHA10 2HA8	IHA10 2HA8	
$A_{minimal}$	0,25	0,25	0,25	1,621	1,621	1,621	
$\sigma_b\ kg/cm^2$	44,8	91,8	80,93	43,4	37,1	38,6	

### Vérification de la flèche :

Il n'est pas nécessaire de donner une justification de la flèche que pour des poutres dont le rapport  $\frac{h_r}{l_0}$  de la hauteur de la section à la portée libre est au moins égal à  $\frac{1}{10} \cdot \frac{M_r}{M_0}$ , pour résumer que la section d'armature  $\frac{A}{b_0 h} \leq \frac{43}{\sigma_{en}}$

$$\frac{1,85}{13 \times 18} < \frac{43}{4200} \quad \text{vérifiée}$$

$$\frac{h_r}{l} \geq \frac{1}{10} \cdot \frac{M_r}{M_0} \quad \frac{20}{3,38} \geq \frac{1}{10} \cdot \frac{870}{870} \quad \text{non vérifiée}$$

La tolérance ci-dessus n'est appliquée que si  $\frac{h_r}{l} \geq \frac{1}{16}$  quelle que soit la valeur relative de  $M$  ou ceci n'est pas vérifié.

Ces conditions n'étant pas remplies, on peut à défaut de justifications spéciales tenir compte de la fissuration des zones tendres.

Pour tenir justement compte de l'existence de fissures éventuelles dans les zones tendres, on substitue dans ce calcul au moment d'inertie  $I_p$  de la section totale rendue homogène, le moment d'inertie  $I_f = \frac{I_p}{1 + \lambda \mu}$

(2)

$$\lambda_i = \frac{\bar{\sigma}_b}{72(2 + \frac{3b_0}{b})\tilde{\omega}} = \frac{5,8}{0,147 \times 72(2 + \frac{3 \times 15}{65})} = 0,211$$

$$\lambda_v = \frac{5,8}{180(2,6)0,147} = 0,084$$

$$\mu = 1 - \frac{5\bar{\sigma}_b}{4\tilde{\omega}\sigma_a + 3\bar{\sigma}_b} = 1 - \frac{29}{(4 \times 0,147 \times 2800 + 3 \times 5,8)} = 0,983$$

$$M_{\lambda i} = 0,983 \times 0,211 = 0,207$$

$$M_{\lambda v} = 0,983 \times 0,084 = 0,082$$

$$E_i = 21000 \times 16,42 = 344820$$

$$E_v = 7000 \times 16,42 = 114940$$

$$I_p = \frac{b y_1^3}{3} + m A (h - y_1)^2 = \frac{65 \times (3,42)^3}{3} + 15 \times 1,78 (18 - 3,42) = 6542,5$$

$$I_i = \frac{6542,5}{1+0,207} = 5420$$

$$I_v = \frac{6542,5}{1+0,082} = 6042$$

Moment dû aux charges permanentes

$$M_{op} = \frac{300 \times 3,30^2}{8} = 40800 \text{ kg cm}$$

Moment dû aux surcharges.

$$M_{os} = \frac{312 \times 3,30^2}{8} = 42471 \text{ kg cm}$$

$$f_0 = \frac{42471 \times 3,30^2}{10 \times 344820 \times 5420} = 0,2475$$

$$f_{\infty} = \frac{40800 \times 3,30^2}{10 \times 114940 \times 6046} = 0,6394$$

-d'où

$$f_{\infty} - f_0 = 0,6394 - 0,2475 = 0,3920$$

$$f_{\infty} - f_0 < \frac{\lambda}{500} \text{ soit } \frac{330}{500} = 0,66 \text{ - ce qui est vérifié}$$

PLANCHER HAUT

Plancher à corps creux 16+4

Poutrelles continues l'une à 7 travées, l'autre à 6 travées séparées par des joints, toutes les portées entre poutrelles sont égales à 3,38 m.

I/ Estimation des charges

A/ charges permanentes q<sub>1</sub>

1/ Mortier de ciment 2cm :	$0,65 \times 2 \times 20 = 26$
2/ Béton 1cm	$0,65 \times 1 \times 6 = 3,9$
3/ Dalles en BA 4cm	$0,65 \times 4 \times 25 = 65$
4/ Hourdis	$(0,65 - 0,11) 95 = 54,3$
5) Poutrelles	$0,11 \times 16 \times 25 = 44$
6/ Enduit de plafond 1cm : 0,65 x 1 x 14 = 9,1	
	soit au total <u>199,3</u>

B/ surcharges .. p

$$0,65 \times 100 \times 1,2 = 78$$

La charge reportée sur ml de poutrelle est de 277,3

Nous prendrons 280 kg/ml de poutrelles

- Nous ferons les mêmes hypothèses sur le gain :  
- que les planchers d'étages

- Les éléments solidaires ont la même section

(2)

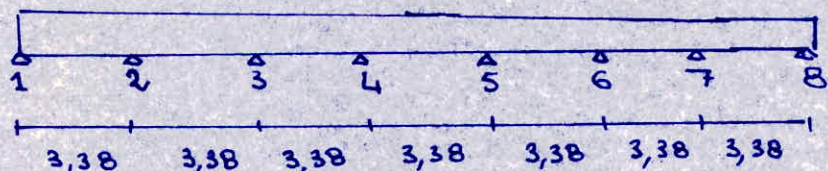
constante dans les différentes travées.

-  $P < 2g$  soit  $78 < 2 \times 199,3$

- Nous sommes en présence d'un flançon à surcharges modérées, nous appliquerons la méthode parfaitaire des BA 68.

## II - Calcul des armatures longitudinales

### 1- Calcul des moments



- Moment  $M_0$  de la boute de référence

$$M_0 = \frac{q l^2}{8} \text{ soit } M_0 = 400 \text{ kg m}$$

- Calcul des moments aux appuis

Nous prendrons un moment de continuité égal à  $0,15 M_0$

$$M_1 = M_8 = -0,15 \times M_0 \text{ soit } 0,15 \times 400 = 60 \text{ kg m}$$

$$M_2 = M_7 = -0,50 \times M_0 \text{ soit } 0,50 \times 400 = 200 \text{ kg m}$$

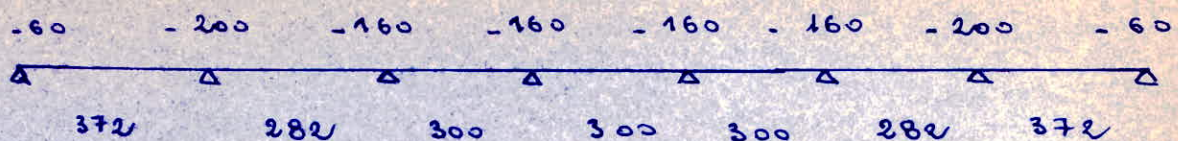
$$M_3 = M_4 = M_5 = M_6 = -0,40 M_0 \text{ soit } 0,40 \times 400 = 160 \text{ kg m}$$

- Calcul des moments en travées

$$M_{12} = M_{78} = 0,93 M_0 \text{ soit } 0,93 \times 400 = 372 \text{ kg m}$$

$$M_{23} = M_{67} = 0,705 M_0 \text{ soit } 0,705 \times 400 = 282 \text{ kg m}$$

$$M_{34} = M_{45} = M_5 = 0,75 M_0 \text{ soit } 0,75 \times 400 = 300 \text{ kg m}$$



- calcul de la section d'armature.

- calcul de la section minimale d'armature en travé

$$A \geq b \cdot h \cdot \psi_4 \cdot \frac{\sigma'_b}{\sigma_a} \left( \frac{h_r}{h} \right)^2 \text{ soit } A \geq 65 \times 18 \times 0,54 \times 5,8 \cdot \left( \frac{20}{18} \right)^2 \frac{2800}{2800}$$

La section minimale d'armature en travé est  
1,612 cm<sup>2</sup>

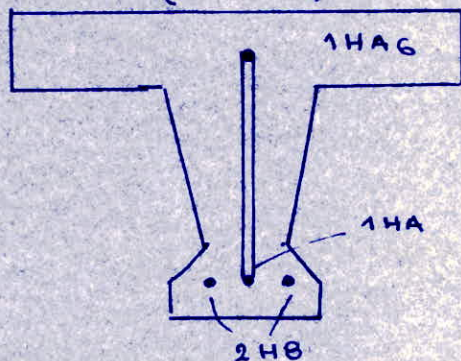
- calcul de la section minimale d'armature aux effrén

$$A \geq b \cdot h \cdot \psi_4 \frac{\sigma'_b}{\sigma_a} \left( \frac{h_r}{h} \right)^2 \text{ soit } A \geq 10 \cdot 18 \cdot 0,54 \cdot \frac{5,8}{2800} \left( \frac{20}{18} \right)^2$$

La section minimale d'armature aux effrén est : 0,25 cm<sup>2</sup>

On obtient le tableau suivant

(ou 1HB)



- contrainte de compression dans le béton

Il faut vérifier  $\sigma'_b \leq 2\sigma'_{bo}$  et  $\sigma'_m \leq \sigma'_{bo}$

La première condition est vérifiée  $\sigma'_b \leq 2\sigma'_{bo}$

Calcul de  $\sigma'_m$

$$F = \frac{M}{3} \text{ soit } \frac{37200}{16} = 2325 \text{ kg}$$

(4)

$$\sigma_m = \frac{f}{b n} = \frac{2325}{18 \times 65 \times 0,1316} = 15,1 < 67,5 \text{ kg/cm}^2$$

vérifié

### ETUDE DE L'EFFORT TRANCHANT

#### 1- Calcul de l'effort tranchant

$$T_{1d} \text{ à droite : } \frac{280 \times 3,38}{2} \rightarrow \frac{200}{3,38} = 414 \text{ kg}$$

$$T_{2g} = - 280 \times 3,38 + 414 = - 532,4$$

$$T_{2d} = \frac{280 \times 3,38}{2} + \frac{200 - 160}{3,38} = 485$$

$$T_{3g} = 485 - 280 \times 3,38 = 461,4 \text{ kg}$$

$$T_{3d} = \frac{280 \times 3,38}{2} = 473,2$$

vérification

$$7 \times 280 \times 3,38 \equiv 2 [414 + 485 + 532,4 + 461,4] + 6 \times 473,2$$

$$6624,8 \equiv 6624,0 \quad \text{vérifiée}$$

414	532,4	461,4	473,2	473,2	461,4	532,4	414
Δ	Δ	Δ	Δ	Δ	Δ	Δ	Δ
485		473,2	473,2	473,2	473,2	473,2	485

#### 2- Calcul des armatures transversales

$$E_B = \frac{T}{b o_3} \text{ soit } \frac{532,4}{10 \times 16,02} = 3,33$$

$$E_B = \frac{3}{4} \bar{E}_B \text{ soit } 3,33 < \frac{3}{4} \cdot 5,8 = 4,35$$

les armatures transversales ne sont pas nécessaires,  
ependant on mettra des cadres Ø6 espacés de 20 cm sur  
la  $\frac{1}{2}$  longueur à 5 cm du mur, 8 cadres espacés de 20 cm

### III - Ancrage des armatures

contrainte des armatures inférieure : aux effets de rive :

$$\sigma_a = \frac{414}{1,78} = 233 \text{ kg/cm}^2$$

contrainte d'adhérence admissible dans la zone d'ancrege normal :

$$Ed = 1,25 \Psi_d^2 \cdot \bar{\sigma}_b \text{ soit } 1,25 \left( \frac{1,5 \cdot \sqrt{2}}{\sqrt{2}} \right)^2 \times 5,8 = 16,4 \text{ kg/cm}^2$$

la longueur d'ancrege par rebordement droit est :

$$l_d = \frac{\phi \sigma_a}{4 E_b} = \frac{233 \cdot \text{kg/cm}^2}{4 \times 16,4} = 3,60 \text{ cm}$$

Nous réaliserons un ancrege de 16 cm terminé par un crochet considéré de rayon  $R = 3\delta = 3 \text{ cm}$

#### 3) compression de la bille d'about :

on doit vérifier que  $\sigma'_b < \sigma'_{bo}$

avec  $\sigma'_b = \frac{2T}{b \cdot \delta}$   $\hookrightarrow$  largeur de la nervure.

$$\frac{2 \times 414}{20,13} = 3,2 \text{ kg} < 67,5 \text{ kg/cm}$$

### IV / Vérification de la flèche

Pour se dispenser d'une justification de la flèche il faut que :  $\frac{h_r}{h} \geq \frac{1}{15} \cdot \frac{M_n}{M_0}$  soit  $\frac{20}{3,38} \geq \frac{1}{15} \cdot \frac{372}{400}$

$$\text{soit } 0,05917 \geq 0,062 \text{ non vérifié}$$

# Plancher haut.

	APPUIS				TRAVEES		
N° de l'app ou travée	1 8	2 7	3 5	4 6	1-2 7-8	2-3 6-7	3-4, 4-5 5-6
Moment kg.cm	6000	20000	16000		37200	28200	30000
$\mu'$	0,0099	0,033	0,0264		0,0095	0,0072	0,00765
$\alpha$	0,1339	0,2344	0,2113		0,1316	0,1154	0,1181
$\tilde{w}'$	0,069	0,239	0,189		0,0665	0,0503	0,0527
k	97	49	56		99	115	112
$A_{en\ cm^2}$	0,124	0,43	0,34		0,778	0,59	0,619
$A$ adopté	0,28	0,50	0,50		1,78	1,78	1,78
nb de barr	1HA6	1HA8	1HA8		2HA8 1H10	2HA8 1HA10	2HA8 1HA10
$A$ minimal	0,25	0,25	0,25		1,612	1,612	1,612
$\sigma_b\ kg/cm^2$	28,9	58,2	50		28	24,2	25

(4)

### PLANCHER HAUT

#### Vérification de la flèche

$$\lambda_i = \frac{5,8}{72(2 + \frac{3b_0}{b})\tilde{\omega}} = \frac{5,8}{72(2,6)0,0665} = 0,466$$

$$\lambda_v = \frac{5,8}{180(2,6)0,0665} = 0,186$$

$$\mu = 1 - \frac{5 \times 5,8}{4 \times 0,0665 \times 2800 + 3 \times 5,8} = 0,962$$

$$\mu \lambda_i = 0,448$$

$$\mu \lambda_v = 0,179$$

$$I_i = \frac{6542,5}{1 + 0,448} = 4518$$

$$I_v = \frac{6542,5}{1 + 0,179} = 5550$$

Moment dû aux charges permanentes.

$$\frac{200 \times 3,30^2}{8} = 27225 \text{ kg cm}$$

Moment dû aux surcharges

$$\frac{80 \times 3,30^2}{8} = 10890 \text{ kg cm}$$

$$f_0 = \frac{10890 \times 330^2}{10 \times 344820 \times 4518} = 0,08$$

$$f_\infty = \frac{27225 \times 330^2}{10 \times 114940 \times 5550} = 0,4648$$

$$f_\infty - f_0 = 0,3887 < \frac{l}{500} = 0,66 \text{ ce qui est vérifié.}$$

## Calcul des Panneaux.

Le plancher ~~terrasse~~ est constitué de panneaux rectangulaires préfabriqués, librement appuyés aux 4 côtés, sur les travées et les portes longitudinales.

Ces panneaux sont de deux sortes :

Dimensions  $6,68 \times 3,38$  et  $6,28 \times 3,38$ .

Elles sont séparées par un joint de dilatation de 1 cm.

L'épaisseur de ces panneaux est 8 cm.

I. Estimation des charges : au  $m^2$

Poids propre	$8 \times 85$	= 200
Étanchéité	50	: 50
Protection	u	: 4

soit 254 kg.

Surcharges

$$100 \times 1,2 = 120$$

couche de sable :  $20 \times 1,2$

24

soit 144 kg.

Charge répartie au  $m^2$ .  $254 + 144 = 398 \approx 400 \text{ kg/m}^2$

$$\rho = \frac{l_x}{l_y} = 0,508 \quad \mu_x = 0,0662 \quad \mu_y = 0,335$$

$$M_x = \mu_x \cdot q l^2 = 0,0662 \cdot 400 \cdot 3,38^2 = 440 \text{ kgm}$$

$$\gamma_y = \mu_y \cdot M_x = 0,335 \cdot 440 = 147,4 \text{ kgm}$$

$$M_x = \frac{15 \times 44000}{3460 \cdot 100 \cdot 6,7^2} = 0,0424$$

$$\tilde{\omega} = 0,311 \quad k = 42,2 \quad \alpha = 0,2622.$$

$$h = 8 - \left( 1 + \frac{0,6}{2} \right) = 6,7 \text{ cm}.$$

La section d'armature  $A_x = 6,7 \times 0,311 = 2,1 \text{ cm}^2$

Pour adopterons un treillis  $\phi 6$  à maille  $10 \times 10$  soit  $2,26 \text{ cm}^2 / \text{m}^2$  / mètre de largeur de dalle.

### Vérification de la flèche

Si  $M_x$  et  $M_y$  sont les moments maximums en travée par bande de largeur unité dans le sens  $P_x$  et  $P_y$ , la dalle supposée non encastree aux appuis, et non continue au delà de ces appuis, et en considérant  $M_x > M_y$ , et si  $M_r$  est le moment en travée par bande de largeur unité dans le sens  $I_x$

$$\text{le rapport } \frac{h_0}{l_x} > \frac{1}{20} \frac{M_r}{M_x} \quad M_r \geq 0,75 M_x$$

si cette condition est vérifiée, on peut admettre qu'il n'est pas utile de donner une justification des flèches des horizonts.

Donc  $\frac{h_0}{l_x} = \frac{4}{668} < \frac{0,75}{20}$  non vérifié.

La vérification de la flèche s'impose.

Les calculs de déformation des dalles doivent être établis uniquement en fonction des charges réelles d'exploitation, c'est à dire

sous application du coefficient de majoration dynamique (1,20)

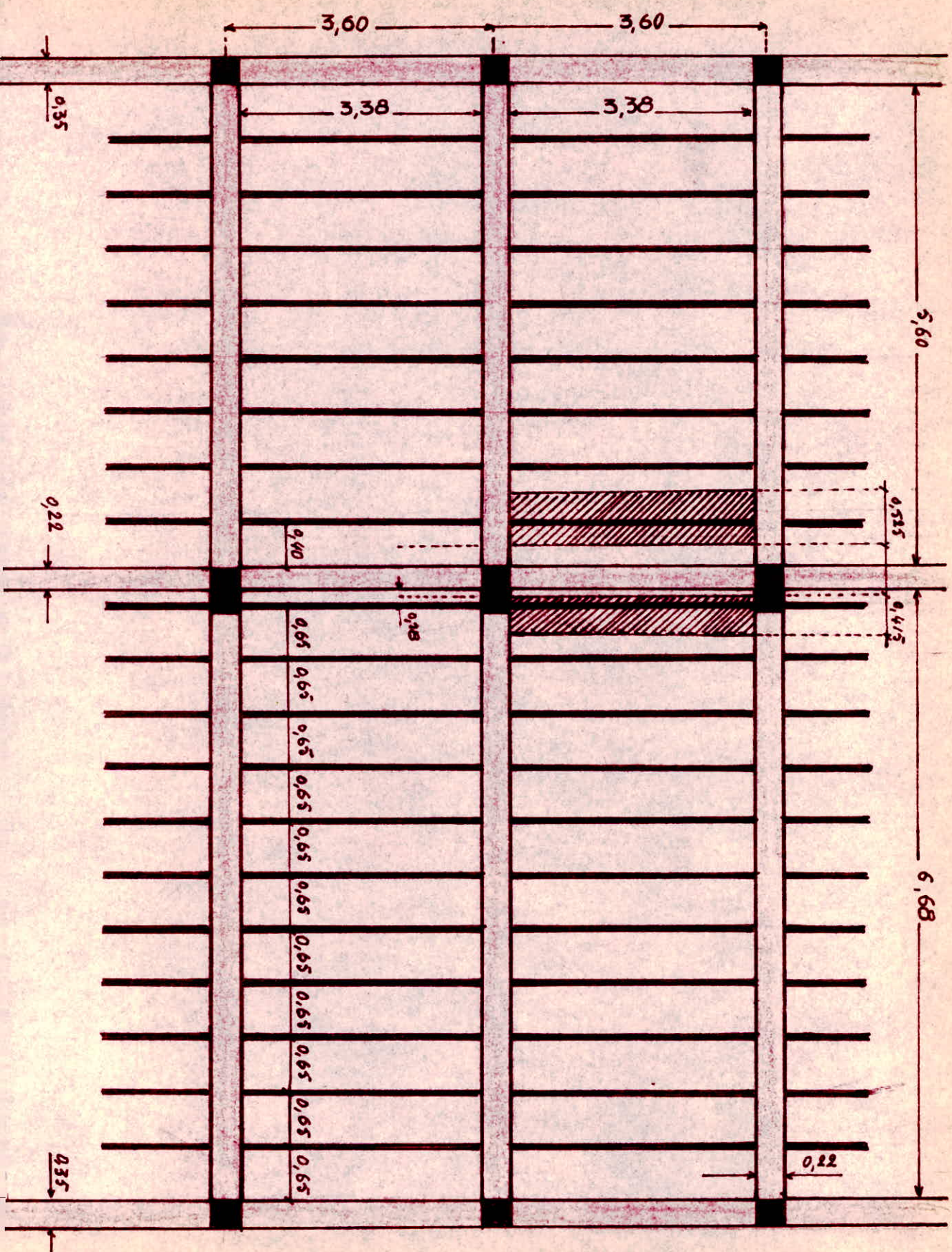
Soit  $q = 254 + 100 + 20 = 374 \text{ kg/m}^2$ , nous prendrons 380

D'après Timoshenko :  $f = s \cdot \frac{q l^4}{E e^3}$

$$\gamma = \frac{l}{L} = \frac{3,38}{6,68} = 0,50 \Rightarrow s = 0,048 + 0,142 (1,00 - 0,50) =$$

$$s = 0,119$$

$$f = 0,119 \cdot \frac{3,74 \cdot 3,38^2}{200000 \cdot 8^3} = 0,57 \text{ cm} < \frac{l}{500} = \frac{3,38}{500} = 0,676 \text{ vérifié}$$



## Disposition des poutrelles.

longueur totale du bâtiment.  $13,80 \text{ m}$

longueur de la première travée  $6,68 \text{ m}$

longueur de la deuxième travée  $5,60 \text{ m}$

nombre de poutrelles dans la première travée.

$$6,68 : 0,65 = 10 \text{ poutrelles} + 1 \text{ intervalle de } 18 \text{ cm}$$

nombre de poutrelles dans la deuxième travée

$$5,60 : 0,65 = 8 \text{ poutrelles} + 1 \text{ intervalle de } 40 \text{ cm}$$

poutres longitudinales extérieures supportent chacune la moitié du corps creux.

poutre longitudinale intermédiaire supporte 20 cm de corps creux côté de la petite travée et 9 cm du côté de la plus grande travée.

poutrelle voisine de cette poutre, du côté de la petite travée.

$$\text{apporte : } \frac{0,65}{2} + 20 \text{ cm} = 0,595 \text{ m}$$

poutrelle voisine de cette poutre, du côté de la plus grande travée :

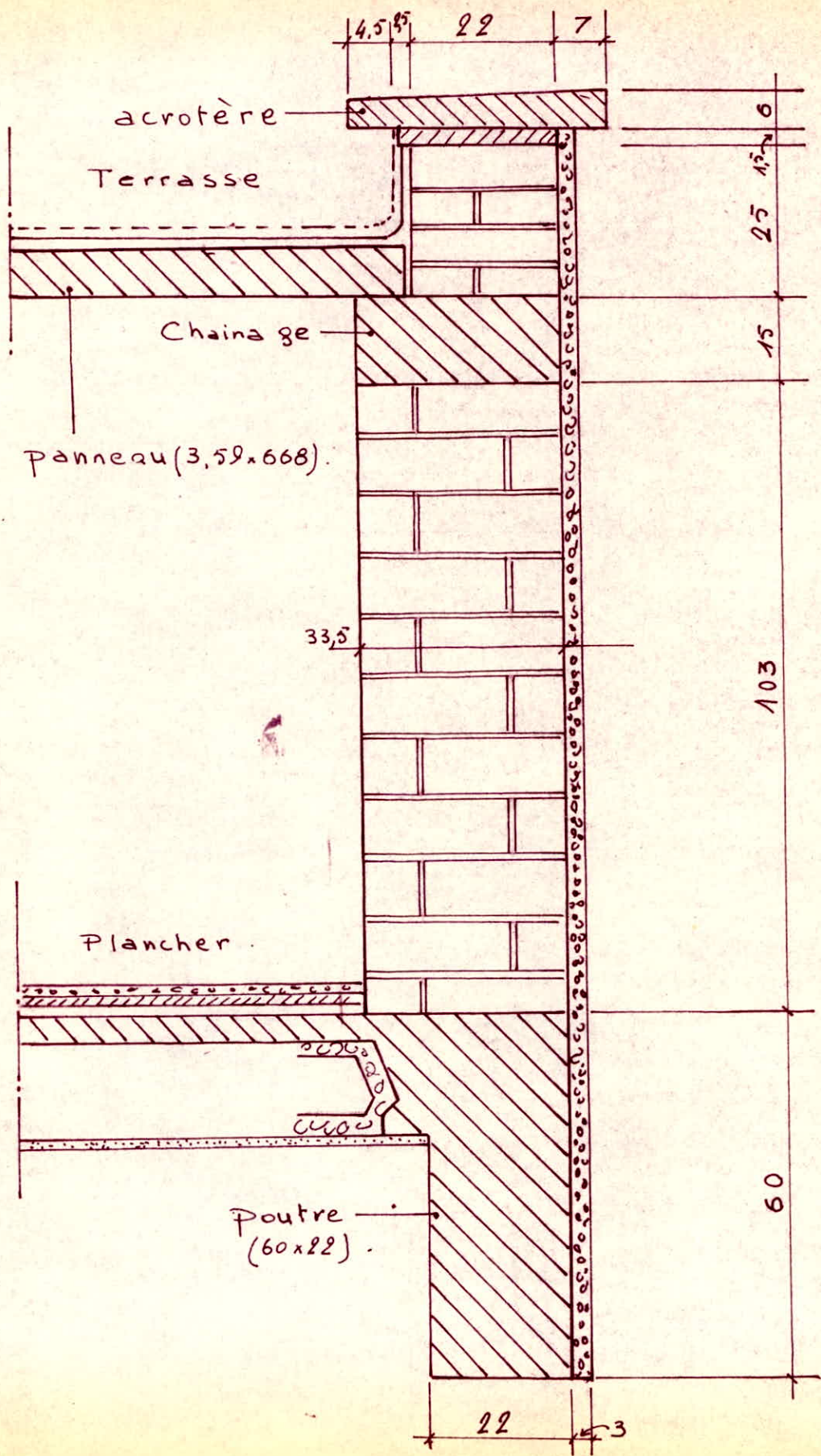
$$\frac{0,65}{2} + 9 = 0,415 \text{ m}$$

poutres longitudinales extérieures ont une largeur de  $0,35 \text{ m}$ .

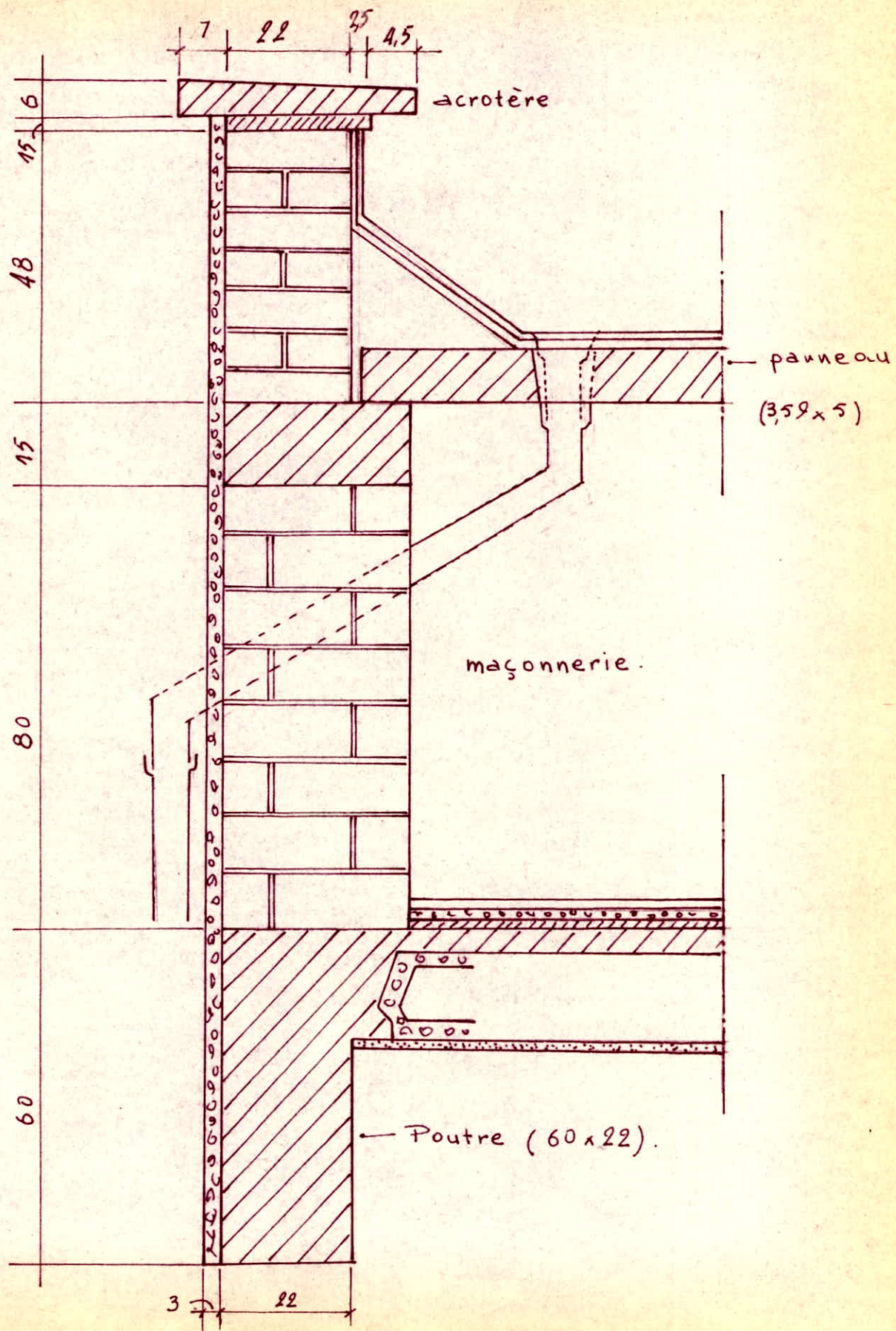
# **POUTRES**

## **LONGITUDINALES**

# POUTRE A<sub>1</sub>



POUTRE A2



## Poutres longitudinales Aa et Ae.

### I Estimation des charges.

#### A - Poutre Aa.

charges permanentes réparties et surcharges.

1. Aerostatique	$0,36 \times 0,05 \times 2500$	45
2. Plaque sous aerostatique: $0,015 \times 0,22 \times 2500$		8,25
3. Mâconnerie	$0,22 \times 0,25 \times 1400$	77
4. Chargeage	$0,75 \times 0,335 \times 2000$	100,50
5. Mur	$1,03 \times 0,335 \times 1400$	483,07
6. Poutre	$0,22 \times 0,60 \times 2500$	330
7. Porte	$0,065 \times 0,16 \times 2500$	26
8. Enduit	$(0,6 + 1,03 + 0,15 + 0,25 + 0,015) 0,03 \times 2000$	122,7
9. étanchéité	$0,15 \times 50$	7,5
10. Charges permanentes dues au plancher		99,65
11. dalle sur appuis	$0,11 \times 0,08 \times 2500$	22
12. surcharges		39
Total		1360,67

Charges dues aux parois

$$R_A = \frac{3,58^2}{4} \times 344 = 985 \text{ kg}$$

$$M = 985 \times 3,38/2 - 985 \times 3,38/6 = 1100 \text{ kg/m}$$

$$M = \frac{q l^2}{8} \Rightarrow q = \frac{8 \cdot 1100}{3,38^2} = 770 \text{ kg/m}$$

La charge exercée sur le poutre Aa est :  $1360,67 + 770 = 2130,67 \text{ kg/m.l}$

Puis prenons 2140 kg/m.l

B. Poutre Aa.

charges permanentes	89, 65
Acrotères	49
chainage sous acrotère	2, 25
magonnerie $0,48 \times 0,22 \times 1400$	147, 84
chainage	100, 50
mar $0,8 \times 0,335 \times 1400$	375, 20
Poutre	350
Enduit	122, 7
Poitrille	26
Étancheité'	50
Dalle	22
Surcharge	39
charges dues aux panneaux	770
Total	2136, 14

Puis prenons 2140 kg/m.l

Les poutres Aa et Aa' ont donc la même charge.

## II Calcul des Moments

2440 kg/m<sup>2</sup>



la somme des surcharges étant inférieure à 2 fois la charge permanente  
- la fissuration est non préjudiciable

$$\frac{L_0}{L_1} = 1 < 1,25$$

Pas prendre les valeurs parfaites des moments en travée et aux appuis

$$M_0 = \frac{q L^2}{8} = \frac{2440 \times 0,38^2}{8} = 3055 \text{ Kg.m}$$

$$M_1 = M_8 = 0,10 M_0 = 458 \text{ Kg.m}$$

$$M_2 = M_7 = 0,5 M_0 = 1528 \text{ Kg.m}$$

$$M_3 = M_4 = M_5 = M_6 = 0,4 M_0 = 1222 \text{ Kg.m}$$

Moment en travée

$$M_{23} + M_{78} = 1,15 M_0 - \frac{M_0 + M_8 + (M_0 - M_8)^2}{2 \times 3055} = 2845 \text{ Kg.m}$$

$$M_{23} = M_{78} = 1,15 \times 3055 - \frac{1528 + 1222}{2} + \frac{(1528 - 1222)^2}{2 \times 3055} = 2144 \text{ Kg.m}$$

$$M_{34} = M_{56} = M_{67} = 2293 \text{ Kg.m}$$

Vérification.

$$M_{12} = M_{78} = 2845 \text{ Kg.m} > 0,6 \times 3055 = 1833 \text{ Kg.m}$$

$$M_{23} = M_{67} = 2144 \text{ Kg.m} > 0,5 \times 3055 = 1528 \text{ Kg.m}$$

$$M_{34} = M_{56} = M_{67} = 2293 \text{ Kg.m} > 0,5 \times 3055 = 1528 \text{ Kg.m}$$

### III Armatures Longitudinales.

$$h_p = 60 \text{ cm} \quad d = 3 \text{ cm} \quad b = 22 \text{ cm} \quad h = 57 \text{ cm}$$

$$\mu' = \frac{15 M}{2800 \times 22 \times 57^2} = 0,75 \cdot 10^{-7}$$

$$A = \frac{15}{\pi} \times \frac{60}{100}$$

$$\sigma'_s = \frac{G}{E}$$

pourcentage minimal :

$$A \geq 22 \times 57 \times 0,54 \times \frac{5,8}{2800} \times \left(\frac{60}{57}\right)^2 = 1,535$$

d'où résultat sur le tableau

### IV Effort Tanchant

$$T_{2g} = T_{1d} = \frac{2140 + 3,38}{2} - \frac{1528}{3,38} = 3164 \text{ kg}$$

$$T_{7d} = T_{2g} = -3616 \times 2 + 3164 = -4068 \text{ kg}$$

$$T_{7g} = T_{2d} = 3616 - \frac{1528 - 1222}{3,38} = 3525,47 \text{ kg.}$$

$$T_{3g} = T_{3d} = T_{4g} = T_{4d} = T_{5g} = T_{6d} = \frac{2140 + 3,38}{2} - 3616 \text{ kg}$$

Vérification:

$$2(3164 + 4068 + 3525,47 + 3706,53) + 6 \times 3616 = 7 \times 3,38 \times 2140 \\ = 50624$$

## V Determination des Armatures transversales

1.  $T_{max} = 4068 \text{ kg}$

$$\bar{\sigma}_b = \frac{4068}{22.50} = 3,6 \text{ kg/cm}^2 < 20,3 \text{ kg/cm}^2$$

$$\bar{\sigma}_{ar} = \left(1 - \frac{\bar{\sigma}_b}{2\bar{\sigma}_b}\right) 2400 = 2232 \text{ kg/cm}^2$$

$$\text{avec } 1 - \frac{\bar{\sigma}_b}{2\bar{\sigma}_b} > \frac{2}{3}$$

On prendra des cadres  $\phi 6$   $0,56 \text{ cm}^2$

$$t \leq \frac{0,56 \times 2232 \times 50}{445} = 14,1 \text{ cm}$$

$$E = h \left(1 - \frac{0,3 + 3,6}{5,8}\right) = 57 \times 0,80 > 0,2 h$$

On prendra  $t = 12 \text{ cm}$  soit 13 cadres sur la  $\frac{1}{2}$  portée

## 2. Traction des Armatures inférieures

$$2,26 \times 2800 > 4068$$

## 3. Entrainement des Armatures de traction

$$\bar{\tau}_d = \frac{4068}{50 \times 7,54} = 1040 \text{ Kgf/cm}^2 < 2800 \text{ vérifié}$$

$$l_d = \frac{1,2 \times 1040}{4 \times 26} = 12 \text{ cm} . \text{ On prendra } l_d = 16 \text{ cm}$$

## 4. Ancrage des Armatures aux appuis de rive.

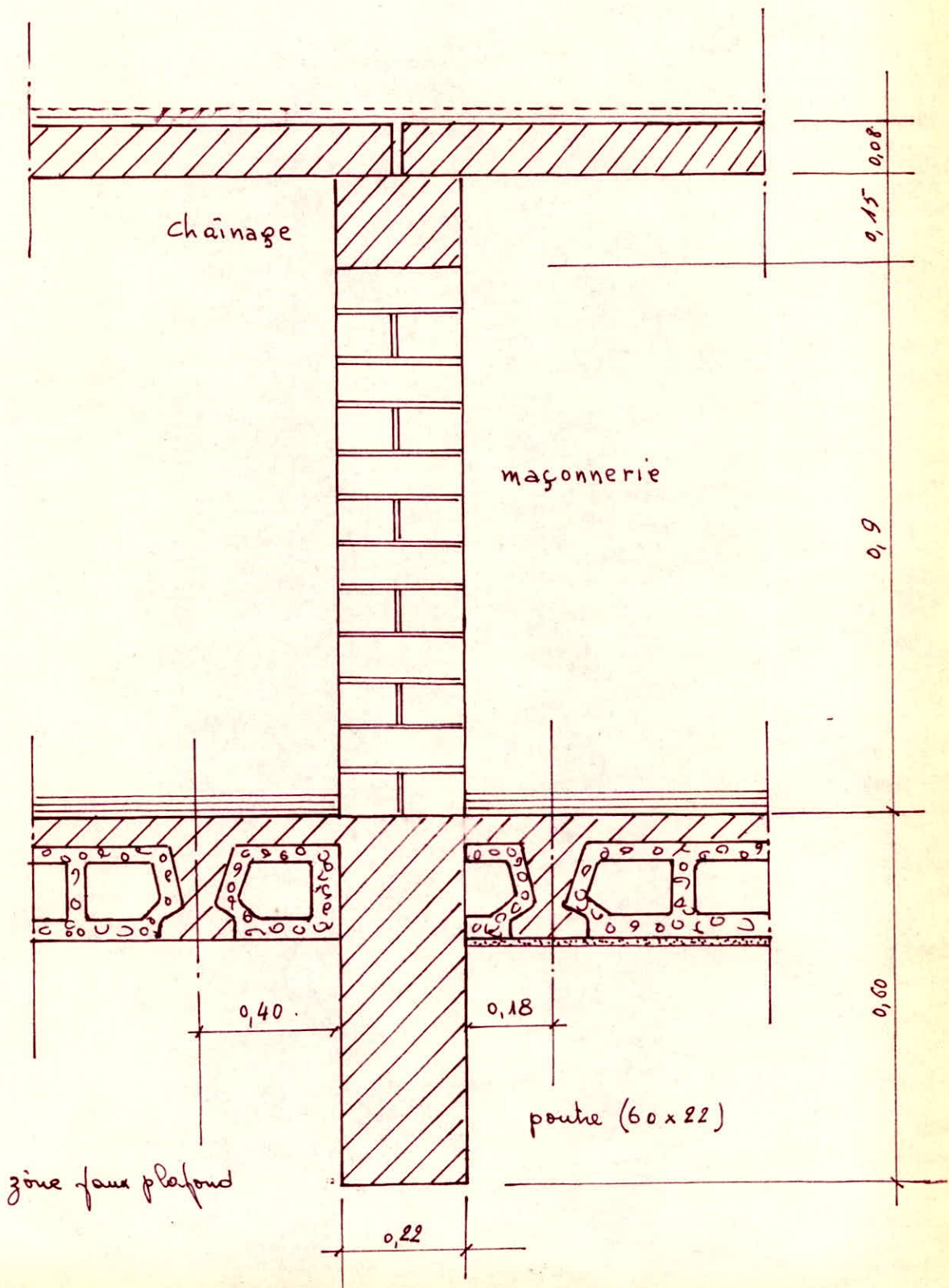
$$f = T = 4068 \Rightarrow \bar{\sigma}_a = \frac{3464}{2,26} = 1400 \text{ kg/cm}^2$$

$$l_d = \frac{1400 \times 1,2}{4 \times 26} = 16,2 \text{ cm} . \text{ On adoptera un ancrage de } 18 \text{ cm terminé par une crochet considérée}$$

Routies A<sub>1</sub> et A<sub>2</sub>

	APPUTS				TRAVEES		
	1	2	3	4	1-2	2-3	3-4, 4-5
N° de l'app ou travée	8	7	5	6	7-8	6-7	5-6
Moment kg.cm	45800	152800	122100	284500	214400	229300	
$\mu'$	0,0034	0,0115	0,00917	0,0213	0,0161	0,0172	
$\alpha$	0,0811	0,1440	0,1293	0,1983	0,1685	0,1744	
$\tilde{w}$	0,0238	0,0810	0,064	0,153	0,114	0,153	
k	170	89	101	63	74	71	
$A_{en\ cm^2}$	0,298	1,016	0,803	1,918	1,429	1,542	
A adopté	1,57	1,57	1,57	2,26	1,57	1,57	
nb de barr	2HA10	2HA10	2HA10	2HA12	2HA10	2HA10	
A minimal	1,555	1,555	1,555	1,555	1,555	1,555	
$\sigma_b\ kg/cm^2$	16,5	31,5	28	44	38	39,4	

# POUTRE A 3.



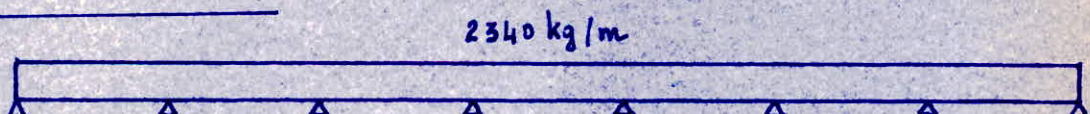
## Poutre A5

### I Charges permanentes réparties.

Dalle	: $2 \times 0,11 \times 0,08 \times 2500$	44
Etanchéité	: $50 \times 0,22$	11
Charnage	: $0,15 \times 0,22 \times 2000$	66
Mâçonnerie	: $0,22 \times 0,9 \times 1400$	277,2
Poutre	: $0,22 \times 0,60 \times 2500$	330
charges permanentes dues au plancher	: $0,29 \times 95$	27,55
Surcharges	: $120 \times 0,29$	34,8
charges dues aux paumeaux		1540
	Total :	2330,55

Nous prendrons 2340 kg / ml

### II Calcul des moments.



La somme des surcharges étant inférieure à 2 fois la charge permanente q.

La fissuration est non préjudiciable

$$\frac{l_e}{l_c} = 1 < 1,25$$

Nous prendrons les valeurs fantaisistes des moments entravée et surappuis.

$$M_0 = q \frac{l^2}{8} = 3342 \text{ kg.m}$$

$$M_1 = M_2 = 0,15 M_0 \quad \text{soit} \quad 502 \text{ kg.m}$$

$$M_2 = M_3 = 0,5 M_0 \quad \text{soit} \quad 1671 \text{ kg.m}$$

$$M_3 = M_4 = M_5 = M_6 = 0,4 M_o \quad \text{soit} \quad 1337 \text{ kg.m}$$

Moment en travée

$$M_{12} = M_{78} = 1,15 M_o - \frac{M_w + M_e}{2} + \frac{(M_w - M_e)^2}{8 M_o} \quad \text{soit} \quad 3113 \text{ kg.m}$$

$$M_{23} = M_{67} = 1,15 \cdot 3342 - \frac{1671 + 1337}{2} + \frac{(1671 - 1337)^2}{8 \cdot 3342} = 2334 \text{ kg.m.}$$

$$M_{34} = M_{56} = M_{45} = 1,15 \cdot 3342 - \frac{1337 + 1337}{2} = 2507 \text{ kg.m.}$$

Vérification:

$$M_{12} = M_{78} = 3113 \text{ kg.m} > 0,6 \times 3342 = 2005 \text{ vérifié'}$$

$$M_{23} = M_{67} = 2334 \text{ kg.m} > 0,5 \times 3342 = 1672 \text{ vérifié'}$$

$$M_{34} = M_{45} = M_{56} = 2507 \text{ kg.m} > 0,5 \times 3342 = 1672 \text{ vérifié'}$$

Armatures longitudinales

$$h_p = 60 \text{ cm} \quad d = 3 \text{ cm} \quad l = 22 \text{ cm} \quad h = 57 \text{ cm.}$$

$$\mu' = \frac{15 M}{2800 \times 22 \times 572} = 0,75 \times 10^{-7}$$

$$A = \frac{16}{n} \cdot \frac{\omega b h}{100}$$

$$b' = \frac{\bar{b} a}{h}$$

Pourcentage minimal

$$\Lambda \geq 22 \times 57 \times 0,54 \times \frac{5,8}{2100} \left( \frac{60}{57} \right)^L = 1,555$$

D'où les résultats sur le tableau.

### III Effort tranchant.

$$T_2 g = T_1 d = \frac{2340 \times 3,38}{2} = \frac{1671}{3,38} = 3460,22 \text{ kg}$$

$$T_2 d = T_2 g = - 2340 \times 3,38 + 3460,22 = - 4448,98 \text{ kg}$$

$$T_{7g} = T_{2d} = \frac{2340 \times 3,38}{2} + \frac{1671 - 1337}{338} = 4053,42 \text{ kg}$$

$$T_{6d} = T_{3g} = -2340 \times 3,38 + 4053,42 = -3855,78 \text{ kg}$$

$$T_{5g} = T_{5d} = T_{4g} = T_{4d} = T_{3d} = T_{6g} = \frac{2340 \times 3,38}{2} = 3954,6 \text{ kg}$$

Verification

$$2(3460,22 + 4448,98 + 4053,42 + 3855,78) + 6(3954,6) = 7 \times 3,38 \times 2340$$

sont  $55363,0 \equiv 55364$  vérifié

## II Détermination des armatures transversales.

$$T_{\max} = 4448,98 \approx 4450$$

$$\bar{c}_b = \frac{T}{b_0 z} = \frac{4450}{22 \times \frac{7}{8} \cdot 57} = 4,06 \text{ kg/cm}^2 < 3,5 \bar{\delta}_b = 20,3 \text{ kg/cm}^2.$$

$$\bar{\delta}_{ar} = \left(1 - \frac{\bar{c}_b}{9\bar{\delta}_b}\right) \cdot 2400 = 2213 \text{ kg/cm}^2.$$

Nous utiliserons des armatures transversales  $\phi 8$

$$\text{avec } 1 - \frac{\bar{c}_b}{9\bar{\delta}_b} = 0,922 > \frac{2}{3}$$

Nous prendrons  $A_t = 2\phi 6$  soit  $0,56 \text{ cm}^2$ .

L'écartement des armatures

$$t \leq \frac{0,56 \times 50 \times 2213}{4450} = 14 \text{ cm}.$$

Ecartement maximum

$$\bar{t} = h \left(1 - \frac{0,3 \times 4,06}{5,8}\right) = 57 (0,79) = 45 \geq 0,2 h$$

on prendra  $t = 12 \text{ cm}$  soit 13 cadres sur la demi portée.

Traction des armatures inférieures

$$A \bar{\delta}_a > T + \frac{M}{3} \quad \text{aux appuis 1 et 8} \quad n=0$$

$$2,26 \times 2800 > 4450 \text{ vérifié.}$$

Entrainement des armatures de traction

$$Z_d = \frac{4450}{50 \times 7,54} = 11,8 < \frac{\bar{e}}{d} = 17,4 \text{ kg/cm}^2.$$

Vérification des armatures longitudinales inférieur aux appuis intermédiaire :

$$F = T + \frac{M}{3} = 4450 - \frac{1671}{50} = 1100 \text{ kg/cm}^2 < 2800 \text{ vérifié}$$

$$l_d = \frac{1,2 \times 1100}{4 \times 26} = 12,7 \text{ cm}.$$

On adoptera  $l_d = 16 \text{ cm}$ .

Ancrage des armatures aux appuis de rive

$$F = T = 4450 \text{ kg}$$

$$\sigma_a = \frac{3460}{2,26} = 1520 \text{ kg/cm}^2$$

$$l_d = \frac{1520 \times 1,2}{4 \times 26} = 17,8 \text{ cm}$$

On adoptera un ancrage de 18 cm terminé par un crochet considéré

Armatures de répartition

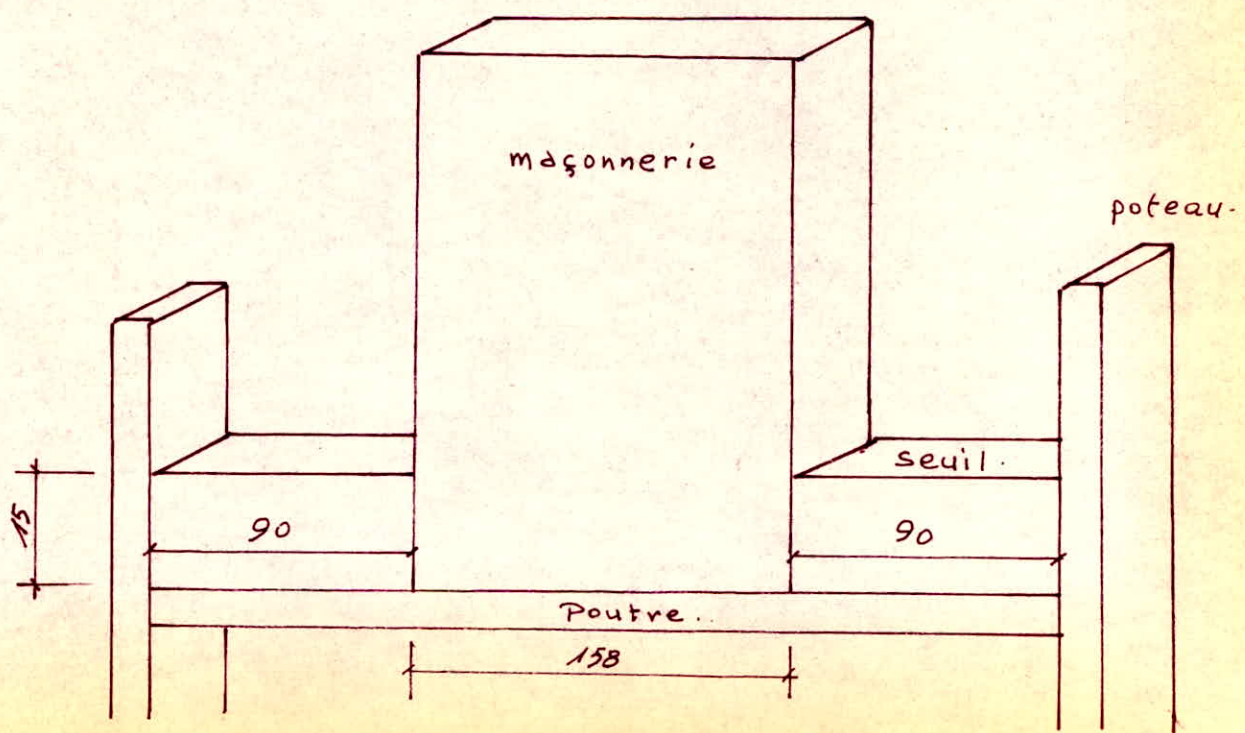
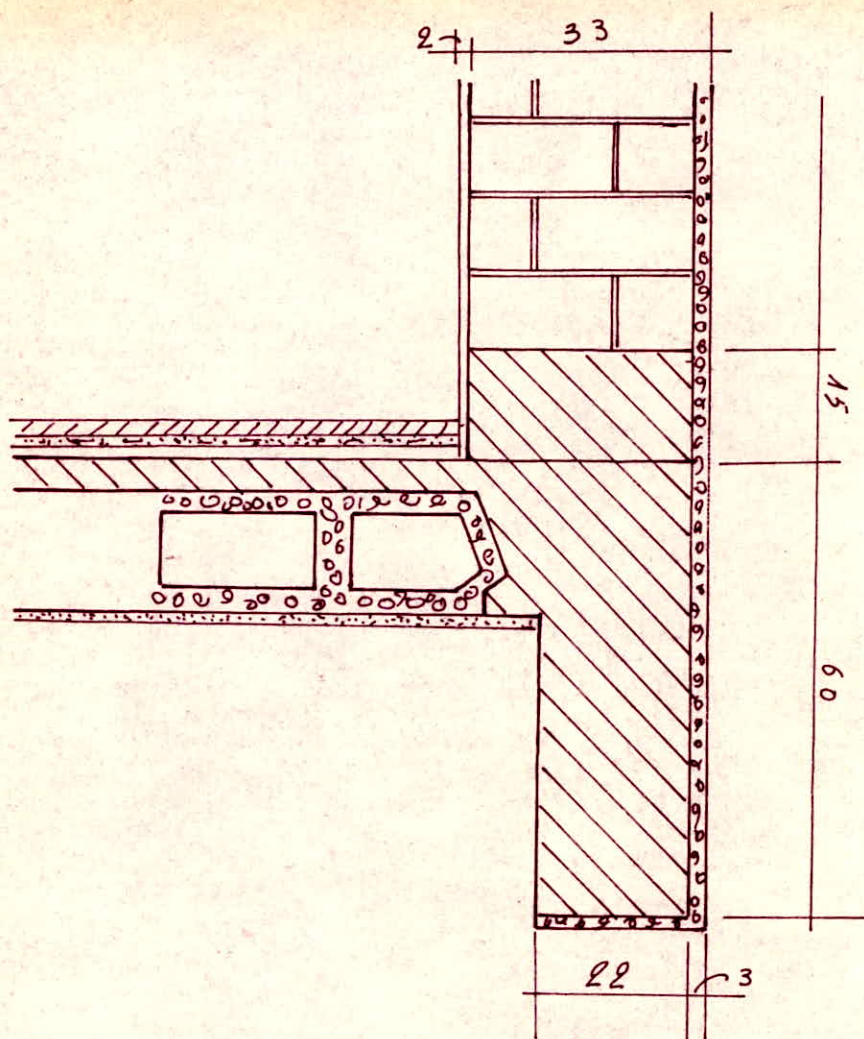
$$\eta^2 = \frac{m \cdot h \cdot c}{b_s} = \frac{1,6 \times 2 \times 60}{22} < 40$$

Il n'y a pas lieu de considérer le phénomène de concentration de fissures. Cependant pour éviter tout risque de déversement on mettra 2 H.A. tous les 20 cm.

Poutre A3

	APPUIS				TRAVEES		
N° de l'app ou travée	1 8	2 7	3 5	4 6	1-2 7-8	2-3 6-7	3-4,4-5 5-6
Moment kg.cm	50200	167100	133700	311300	234400	250700	
$\mu'$	0,0038	0,0126	0,0101	0,0234	0,0176	0,0188	
$\alpha$	0,847	0,1580	0,1351	0,2000	0,1756	0,1818	
$\tilde{w}$	0,0262	0,0889	0,0704	0,167	0,124	0,135	
$k$	162	85	96	60	70,5	67,5	
$A$ en $\text{cm}^2$	0,33	1,11	0,88	2,1	1,555	1,693	
$A$ adopté	1,57	1,57	1,57	2,26	1,57	2,26	
nb de barr	2H10	2HA10	2HA10	2HA12	2HA10	2HA12	
$A$ minimal	1,555	1,555	1,555	1,555	1,555	1,555	
$\sigma_b$ $\text{kg/cm}^2$	173	33	30	46,7	40	41,5	

POUTRE A4



## Calcul des Poutres

### I. Poutres A4 supportant les façades

Poutres 0,22 x 0,60

Estimation des charges

#### A. Charges permanentes:

1<sup>o</sup>) zone plancher:

1. Corrélage	$\frac{1}{2} (0,65 \times 0,15 \times 25)$	12,2
2. Machefer	$\frac{1}{2} \cdot 0,65 \times 3 \times 10$	9,75
3. Mortier pté	$\frac{1}{2} \cdot 0,65 \times 1,5 \times 20$	9,75
4. Dalle en BA	$\frac{1}{2} \cdot 0,65 \times 4 \times 25$	32,5
5. Corps creux	$\frac{1}{2} (0,65 - 0,11) 95$	25,65
6. Poutrelles	$0,065 \times 16 \times 25$	26
7. Plâtre	$\frac{1}{2} \cdot 0,65 \times 14$	4,55
8. Clôisons	$\frac{1}{2} \cdot 0,65 \times 100$	32,5
		<hr/>
	Total	156,9

2<sup>o</sup>) zone poutre:

1. Poutre	$0,22 \times 0,60 \times 2500$	330
2. Enduit	$(0,6 + 0,25) 3 \times 20$	51
B. Surcharges	$\frac{1}{3} \cdot 0,65 \times 400 \times 1,2$	156
	<hr/>	
Total charge + surcharge		690

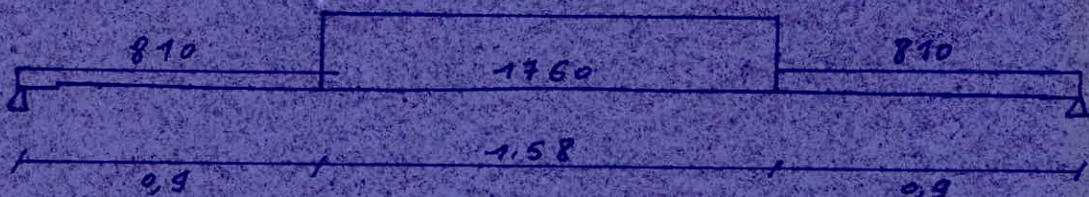
## II. Estimation des charges dues à la façade

Charges permanentes:

façades	$2,10 \times 0,30 \times 1400$	882
enduits	$2,10 \times [3 \times 20 + 2 \times 14]$	184,8
		<hr/>
Chargeage	$0,15 \times 0,30 \times 2200$	1066,8
enduits	$0,15 [3 \times 20 + 2 \times 14]$	13,2
		<hr/>
		112,2

Charges réparties:

$Q_1$ zone seuil	$112,2 \times 690$	$802,2 \approx 810 \text{ kg/m}$
$Q_2$ zone mur de façade	$1066,6 \times 690$	$1756,6 \approx 1760 \text{ kg/ml}$



$$M_o = 1760 \times 0,79 (1,69 - 0,595) + 810 \times 0,9 (1,69 - 1,20) = 2130 \text{ kgm}$$

## III. Calcul des Moments.

Moments aux appuis:

$$M_1 = M_8 = 0,45 M_o \quad \text{soit} \quad 360 \text{ kgm}$$

$$M_2 = M_7 = 0,50 M_o \quad \text{soit} \quad 1065 \text{ kgm}$$

$$M_3 = M_4 = M_5 = M_6 = 0,40 M_o \quad \text{soit} \quad 852 \text{ kgm}$$

Pour calculer le moment en travée, on considère que le moment aux appuis des rive est nul.

$$M_{t12} = M_{t78} = 1,15 \times 2130 - \frac{1065}{2} + \frac{1065^2}{8 \times 2130}$$

$$\text{On applique la formule } M_t \geq 1,15 M_0 - \frac{M_0 + M_c}{2} + \frac{(M_0 - M_c)^2}{924}$$

$$\text{Soit } M_{t12} = M_{t78} = 1985 \text{ kgm} > 0,6 \times 2130 = 1280$$

$$M_{t23} = M_{t67} = M_{t12} - \frac{1065 \times 852}{2} - \frac{(1065 - 852)^2}{8 \times 2130} = 1493$$

$$\text{Soit } M_{t12} = M_{t67} = 3495,5 \times 0,5 \times 2130 = 1065$$

$$M_{t34} = M_{t45} = M_{t56} = 1,15 \cdot 2130 - \frac{852 + 852}{2} = 1600 \text{ kgm}$$

$$\text{Soit } 1600 > 0,5 \times 2130 = 1065 \text{ vérifié}$$

320	1065	852	852	852	852	852	1065	320
Δ	1985	Δ	1495	Δ	1600	Δ	1600	Δ

#### IV. Calcul des armatures longitudinales:

$$f = 0,07 \Rightarrow s = 4 \text{ cm} \quad h = 56 \text{ cm}$$

$$M' = \frac{75 M}{2800 \cdot 22 \cdot 56^2} = 0,777 \cdot 10^{-7}$$

On obtient le tableau résumé suivant:

Calcul de A minimal:

$$A \geq b_0 \cdot h \cdot 4 \cdot \frac{\bar{E}_v}{\bar{E}_a} \cdot \left(\frac{60}{56}\right)^2 \quad \text{soit}$$

$$A = 12 \times 56 \times 0,54 - \frac{5,8}{2800} \left(\frac{60}{56}\right)^2 = 1,58 \text{ cm}^2$$

On prendra le pourcentage minimal d'armatures.

## Effort Tranchant

### V. 1 Calcul de l'effort tranchant

L'effort tranchant dans une section d'abscisse  $x$  est donné par

$$T_x = C_x + \frac{M_W - M_C}{L}$$

$C_x$ : effort tranchant dans une section d'abscisse  $x$  de la travée indépendante, soumise aux mêmes charges.  $M_W$  et  $M_C$  sont à prendre en valeur absolue.

$$T_{1d} = (810 \times 0,9 + 1760 \times 0,79) - \frac{1065}{3,38}$$

$$T_{1d} = 2120 - 315 \quad 1085 \text{ kg}$$

$$T_{2g} = 2(2120) + 1805 \quad -2435 \text{ kg}$$

$$T_{2d} = 2120 + \frac{1065 - 852}{3,38} \quad 2333 \text{ kg}$$

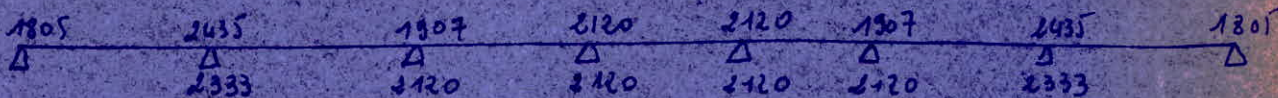
$$T_{3g} = -4220 + 2333 \quad -1907 \text{ kg}$$

$$T_{3d} = 2120$$

Verification:

$$7(810 \times 1,8 + 1760 \times 6,58) = 2(1805 + 2435 + 2333 + 1907) + 6 \cdot 2120$$

$$29676 = 29680 \quad \text{c'est bien vérifié.}$$



2. Détermination des armatures transversales:

$$T_{\max} = 2435$$

$$C_b = \frac{2435}{22 \times 7,56} = 2,46 \text{ kg/cm}^2$$

$$\sigma'_b \leq \sigma'_{b0}$$

$\sigma_b'$  étant la contrainte maximale de compression de béton dans la section où l'on calcule la contrainte  $\bar{\epsilon}_b$

$$\bar{\epsilon}_b \leq 3,5 \bar{\sigma}_b \quad \Rightarrow \quad 3,26 < 1,03 \text{ kg/cm}^2 \quad \text{vérifié}$$

$$\bar{\epsilon}_{st} = P_a / \sigma_{st} \quad \text{avec } \sigma_{st} = 1 - \frac{\bar{\epsilon}_b}{\bar{\sigma}_b}$$

$P_a > \frac{2}{3}$  dans le cas contraire prendre  $P_a = \frac{2}{3}$

$$P_a = \frac{2}{3} \text{ si il ya reprise de betonnage} \quad P_a = \frac{2}{3} - \frac{6,16}{9 \times 5,8} = 0,96 > \frac{2}{3}$$

$$\text{d'où } \bar{\sigma}_{st} = 0,96 \times 2400 = 2300 \text{ kg/cm}^2$$

Nous prendrons des cables  $\phi_6$  A 12  $\Rightarrow A_t = 0,56 \text{ cm}^2$

L'écartement des armatures transversales est donc :

$$t \leq \frac{A_t \bar{\sigma}_{st}}{T} \quad \text{soit} \quad \frac{0,56 \times 2300 \times 4,9}{4435} = 26 \text{ cm}$$

$$E > 0,2h \quad \text{pour} \quad \bar{t} > 0,2 \times 56 \quad \text{ou} \quad t > 11,2$$

$$\text{L'écartement lumine } \bar{t} = h \left( 1 - \frac{0,3 \bar{\epsilon}_b}{\bar{\sigma}_b} \right),$$

$$\text{soit } \bar{t} = 56 \left( 1 - \frac{0,3 \times 2,26}{5,8} \right) = 49,5 \text{ cm}$$

Nous prendrons l'écartement  $t = 45 \text{ cm}$ . La poutre supporte des charges uniformément réparties, nous adoptons les dispositions de Cagnat. La forme portée est : 1,60 8x13 2x16 2x20... 2x25

## VI. 1 Traction des armatures inférieures

On vérifie aux appuis de une

$$A \bar{\sigma}_s \geq T + \frac{M}{3} \quad M = a \quad \text{aux appuis 1 et 4}$$

$$A \bar{\sigma}_s > T \quad \Rightarrow \quad 2800 \times 1,58 > 2435 \quad \text{vérifié}$$

## 2- Vérification à l'entraînement des armatures de traction

La contrainte d'adhérence des armatures est

$$\bar{\epsilon}_d = \frac{T}{P_3} = \frac{2435}{9,48 \times 49} = 5,28 \text{ kg/cm}^2$$

$$\bar{\epsilon}_d < \bar{\epsilon}_d'$$

$$\bar{\epsilon}_d \leq \epsilon \psi_d \bar{\sigma}_b = 17,4$$

ou  $\bar{\epsilon}_d < \bar{\epsilon}_d'$  soit  $5,28 < 17,4$  vérifié

La contrainte d'adhérence admissible dans la zone d'ancrege normal est  $\bar{\epsilon}_d = 1,25 \psi_d' \bar{\sigma}_b = 1,25 \times 1,8^2 \times 5,8 = 16,3 \text{ kg/cm}^2$

La contrainte d'adhérence admissible dans la zone d'ancrege en pleine marge est  $\bar{\epsilon}_d = \epsilon \psi_d' \bar{\sigma}_b = 2 \times 1,5^2 \times 5,8 = 26 \text{ kg/cm}^2$ .

## 3. Vérification des armatures longitudinales inférieures au niveau des appuis intermédiaires.

$$M = 1065$$

$$T = 2435$$

$$F = T + \frac{M}{l} \text{ avec } T > 0 \quad M < 0$$

$$F = 2435 - \frac{106500}{49} = 362 \text{ Kg}$$

$$\bar{\sigma}_a = \frac{F}{A} = \frac{362}{2,35} = 154 < 2800$$

$$\text{d'où } \ell_d = \frac{\phi \bar{\sigma}_a}{u \bar{\epsilon}_d} = \frac{1,0 \times 154}{6 \times 26} = 1 \text{ cm}$$

On adoptera une longueur de scellement de 11cm

## 4- Anchorage des armatures:

aux appuis de ruie  $M = 0$

$$\bar{\sigma}_a = \frac{F}{A} = \frac{T}{A} = \frac{1085}{2,35} = 769 \text{ kg/cm}^2$$

$$\ell_d = \frac{1 \cdot 769}{4,26} = 7,4 \text{ cm}$$

## 5. Armatures de répartition:

La poutre est soumise au phénomène de concentration de fissure dans la hauteur de l'âme. On calcule  $\frac{\eta \cdot m \cdot h}{b_0} > 60$

$\eta$ : coefficient de fissuration

m : nombre de barres tendues

$b_0$  : épaisseur de l'âme

$$\eta = 1,6$$

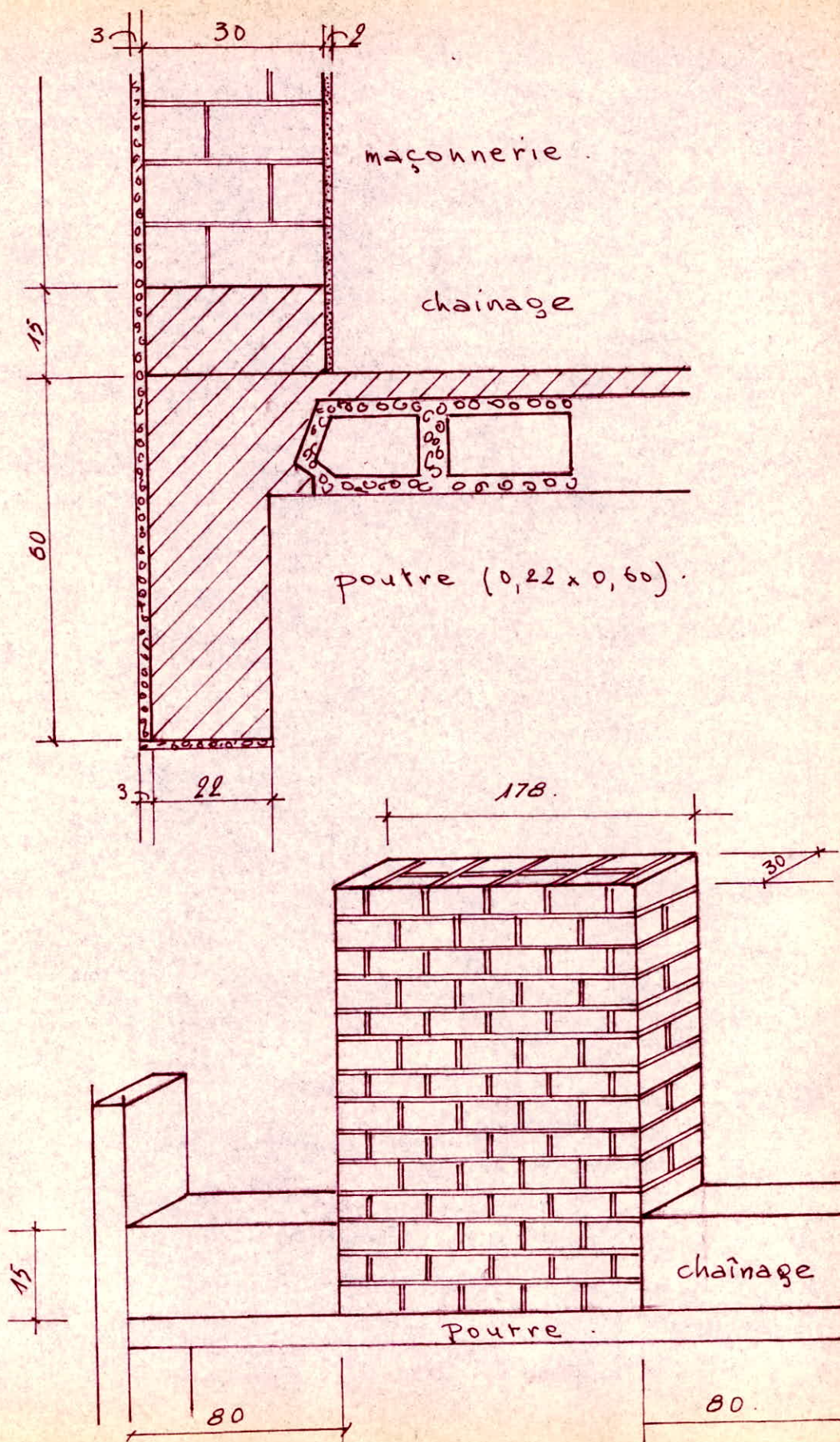
$$\frac{1,6^2 \times 3 \times 60}{42} = 21 < 40$$

Il y a lieu de prévoir des armatures longitudinales au voisinage des parois. On priverait donc 4 barres de 8

Poutre A<sub>4</sub>.

N° de l'app ou travée	APPUIS				TRAVEES		
	1	2	3	4	1-2	2-3	3-4, 4-5
Moment kg.cm	32000	106500	85200		198500	149500	160000
$\mu'$	0,0025	0,0083	0,0066		0,0154	0,0116	0,0125
$\alpha$	0,0698	0,1230	0,1111		0,1648	0,1435	0,1500
$\tilde{w}$	0,0174	0,0575	0,0462		0,108	0,0810	0,0882
k	200	107	120		76	89	85
$A_{en\ cm^2}$	0,22	0,71	0,57		1,34	1,00	1,1cm <sup>2</sup>
A adopté	2,35	2,35	2,35		2,35	2,35	2,35
nb de barr	3H10	3H10	3H10		3H10	3H10	3H10
A minimal	1,58	1,58	1,58		1,58	1,58	1,58
$\sigma_b\ kg/cm^2$	14	26,2	23,3		36,9	31,5	33

# POUTRE A5.



## Etude de la poutre de rive intermédiaire droite A5

### I. Estimation des charges:

les valeurs trouvées pour la poutre intermédiaire de gauche restent invariantes.

Charges permanentes:

zone plancher	152,90
zone poutre	381
Surcharges	156
Total Charges + surcharges	<hr/> 689,9

Charges permanentes

zone mur enduit	$2,87 \times 0,03 \times 2000$	172,2
méconnerie	$2,87 \times 0,30 \times 1400$	1205,4
enduit plâtre	$2,87 \times 0,02 \times 1400$	80,36
Total	<hr/> 1457,96	
zone chainage	$0,15 \times 0,30 \times 2200$	99
Enduit	$0,15 (3 \times 20 + 2 \times 14)$	13,2
Total	<hr/> 112,2	

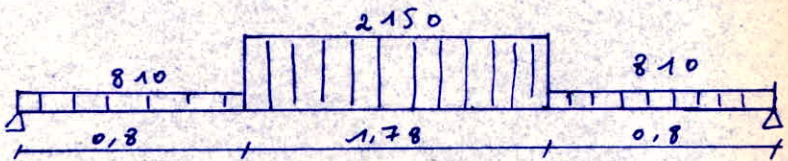
$$\text{Charges + surcharges zone mur} \quad 689,9 + 1457,96 = 2147,86 \text{ kg}$$

nous prendrons 2150 kg

$$\text{Charges + surcharges zone seuil} \quad 112,2 + 689,9 = 802,1 \text{ kg}$$

nous prenons 810 kg.

## II Calcul des moments:



La valeur de la surcharge étant inférieure à deux fois la charge permanente, la fissuration est non préjudiciable,  $\frac{e_1}{e_2} = 1 < 1,25$

Nous prendrons les valeurs parfaites des moments en travée et aux appuis

### A. Moments aux appuis:

$$M_1 = M_8 = -0,15 M_0$$

$$M_2 = M_7 = -0,50 M_0$$

$$M_3 = M_4 = M_5 = M_6 = -0,4 M_0$$

La réaction  $R_A = 2553,4 \text{ kg}$

$$M_0 = 2553,4 \times (0,8 + \frac{1,78}{2}) - 810 \times 0,8 \left( \frac{1,78}{2} + 0,4 \right) - \frac{2150}{2} \times 1,78 \times \frac{1,78}{4}$$

$$M_0 = 2628 \text{ Kgm}$$

$$M_1 = M_8 = -0,15 \times 2628 = -394 \text{ Kgm}$$

$$M_2 = M_7 = -0,5 \times 2628 = -1314 \text{ Kgm}$$

$$M_3 = M_4 = M_5 = M_6 = -0,4 \times 2628 = -1051 \text{ Kgm}$$

### B. Moment en travée :

$$M_{12} = M_{78} = 1,15 M_0 - \frac{M_w + M_e}{2} + \frac{(M_w + M_e)^2}{8 M_0}$$

$$\text{soit } M_{12} = M_{78} = 1,15 \times 2628 - \frac{1314}{2} + \frac{(1314)^2}{8 \times 2628} = 2448 \text{ Kgm}$$

$$M_{23} = M_{67} = 1,15 \times 2628 - \frac{1314 + 1051}{2} + \frac{(1314 - 1051)^2}{8 \times 2628} = 1843 \text{ Kgm}$$

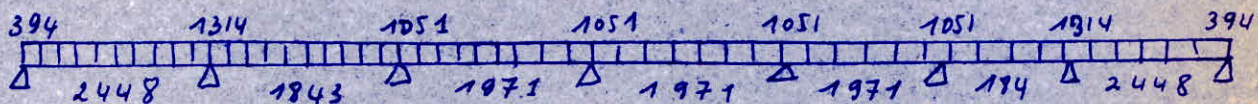
$$M_{3g} = M_{4S} = M_{5g} = 1,15 \times 2628 - \frac{606+606}{2} + \frac{(606-606)^2}{8 \times 2628} = 1971 \text{ kgm}$$

Verification:

$$M_{12} = M_{78} = 2448 > 0,6 \times 2628 = 1576,8 \text{ kgm}$$

$$M_{23} = M_{67} = 1843 > 0,5 \times 2628 = 1314 \text{ kgm}$$

$$M_{34} = M_{56} = M_{45} = 1971 > 0,5 \times 2628 = 1314 \text{ kgm}$$



### III Determination des armatures longitudinales :

Section en travée

$$\begin{aligned} h_t &= 60 \text{ cm} & d &= 3 \text{ cm} \\ b &= 22 \text{ cm} & h &= 57 \text{ cm} \end{aligned}$$

Béton doré à 350 kg/m³ CPA 325

Acier haute adhérence Ton:  $\sigma_{em} = 4200 \text{ kg/cm}^2$

$$\bar{\sigma}_b = 2800 \text{ kg/cm}^2$$

$$\mu = \frac{15 \text{ M}}{2800 \times 22 \times 57^2} = 0,75 \cdot 10^{-7} \text{ M}$$

Section aux appuis

$$\mu' = \frac{15 \text{ M}}{2800 \times 22 \times 57^2} = 0,75 \times 10^{-7} \text{ M}$$

On tire  $\alpha$ ,  $\bar{\omega}$ ,  $k$

$$A = \bar{\omega} \frac{bf}{100}$$

$$\sigma_b' = \frac{2800}{b}$$

Voir tableau

#### IV. Etude de l'effort tranchant:

$$T_{8g} = T_{1d} = \frac{qP}{2} + \frac{M_w - M_e}{2} \text{ soit } \frac{810 \times 1,6 + 2150 \times 1,76 - 1314}{2} = 2772,74 \text{ kg}$$

$$T_{7d} = T_{2g} = T_P - T_{1d} = 2950,26 \text{ kg}$$

$$T_{7g} = T_{2d} = \frac{qP}{2} + \frac{M_w - M_e}{2} = 2483,69 \text{ kg}$$

$$T_{6g} = T_{3d} = \frac{qP}{2} = T_{4g} = T_{4d} = T_{5g} = T_{5d} = 2561,5 \text{ kg}$$

$$T_{6d} = T_{3g} = q\ell - T_{1d} = 2639,31 \text{ kg}$$

Verification:

$$7(810 \times 1,6 + 2150 \times 1,78) = 2(2172,74 + 2950,26 + 2483,69 + 2639,31) + 6 \times 2561,5$$

$$35861 = 35861 \text{ vérifiée.}$$

#### V. Détermination des armatures transversales:

$$1) T_{max} = 2950 \text{ kg}$$

$$\bar{\epsilon}_b = \frac{T}{b \cdot \delta} = \frac{2950}{22 \times 50} = 2,7 \text{ kg/cm}^2 < 3,5 \bar{\sigma}_b$$

$$\rho_a = 1 - \frac{\bar{\epsilon}_b}{9 \bar{\sigma}_b} = 1 - \frac{2,7}{9 \times 5,8} = 1 - 0,05 = 0,95 > \frac{2}{3}$$

$$\bar{\sigma}_{at} = \rho_a \sigma_{cm} = 2400 \times 0,95 = 2280 \text{ kg/cm}^2$$

Nous adopterons aussi des cadres  $\phi 6 Adx$   $A = 0,56 \text{ cm}^2$

$$\text{L'écartement } t \leq a_b \times 3 \cdot \bar{\sigma}_{at} \cdot \frac{1}{T} \text{ soit } \frac{0,56 \times 50 \times 2280}{2950} = 22 \text{ cm}$$

L'écartement maximum:

$$\bar{E} = h \left( 1 - \frac{0,3 \times 2,7}{5,8} \right) = 57(1 - 0,14) = 49 \text{ cm}$$

Nous disposons d'un cadre  $\phi 6$  tous les 20cm. Le premier cadre étant

à 5cm du mur d'appui.

2. Traction des armatures aux appuis

$$A \bar{\sigma}_a \geq T \text{ soit } 1,57 \times 2800 > 2950. \text{ vérifié}$$

3. Vérification à l'entrainement.

$$\chi_d = \frac{I}{P_3} = \frac{2950}{50 \times 503} = 11,7 \text{ kg/cm}^2 < 17,4 \text{ kg/cm}^2$$

4- Vérification des armatures longitudinales inférieures aux appuis intermédiaires.

$$F = 2950 - \frac{1314,00}{50} = 350 \text{ kg/cm}^2$$

$$l_d = \frac{350}{4,46} = 3,4 \text{ cm}$$

Vue la largeur de l'appui (12 cm) nous adopterons comme longueur de pincement droit  $l_d = 16 \text{ cm}$

5. Anchage des armatures:

$$\bar{\sigma}_a = \frac{T}{A} = \frac{2950}{1,57} < 2900$$

$$l_d = \frac{1780}{4 \times 2,6} = 12 \text{ cm}$$

VI - Armatures de répartition

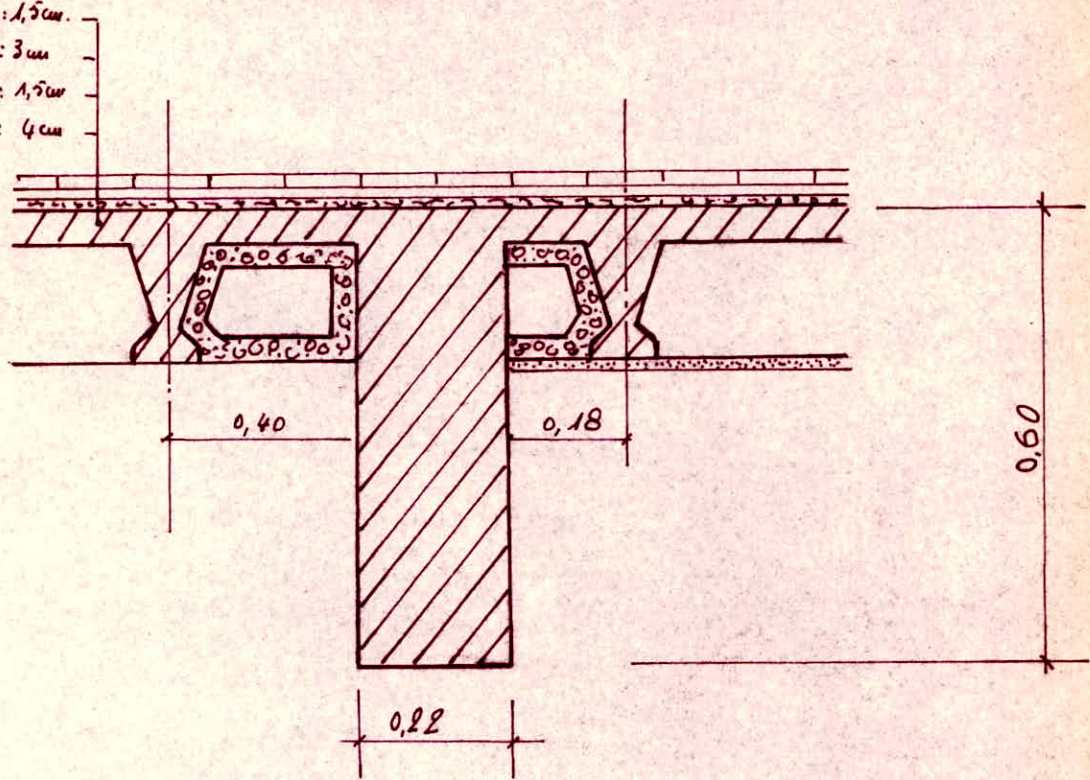
Nous adopterons 2 H40 comme armatures de répartition.

Route A5.

	APPUIS				TRAVEES		
N° de l'app ou travée	1 8	2 7	3 5	4 6	1-2 7-8	2-3 6-7	3-4, 4-5 5-6
Moment kg.cm	39400	131300	105100		264800	184300	197100
$\mu'$	0,0030	0,0099	0,0079		0,0181	0,0133	0,0148
$\alpha$	0,0754	0,0339	0,1200		0,1796	0,1571	0,1681
$\tilde{w}$	0,0205	0,069	0,0545		0,131	0,0976	0,109
$k$	184	97	110		68,5	80,5	77,5
$A \text{ en cm}^2$	0,275	0,865	0,684		1,64	1,22	1,292
$A$ adopté	1,57	1,57	1,57		2,26	1,57	1,57
nb de barr	2HA10	2HA10	2HA10		2HA12	2HA10	2HA10
$A$ minimal	1,555	1,555	1,555		1,555	1,555	1,555
$\sigma_b \text{ kg/cm}^2$	15	28	25		40	34	36

## Poutre A 6.

carreaux : 1,5cm.  
mache fer : 3cm  
mortier : 1,5cm  
dalle en B.A : 4cm



Etude de la poutre Longitudinale A6 de  
Liaison des portiques

I Estimation des charges.

Plancher

A/ charges permanentes .

1 Carrelage	$1,5 (0,29 \times 0,22) \times 25$	=	19,125
2 Machefer	$3 \times 0,51 \times 10$	=	15,3
3 Mortier de planctile'	$1,5 \times 0,51 \times 20$	=	15,3
4 dalle en B.A	$0,04 \times 0,51 \times 2500$	=	51
5 Coqs croix	$(0,58 - 0,11) \frac{95}{2}$	=	22,325
6 plâtre	$\frac{1}{2} (0,47 \times 14)$	=	3,29
7 cloisons réparties	$100 \times 0,51$	=	51
8 Poids propre de la poutre	$9,60 \times 0,22 \times 2500$	=	330
9 cloisons	$3 \times 100$	=	300

B/ Surcharges

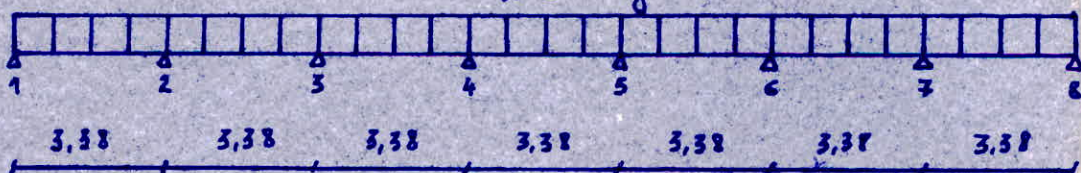
$$400 \times 1,2 \times 0,51 = 244,8$$

charge répartie par mètre linéaire de poutrelle 1052,140

Nous prendrons 1060 kg/m

II Calcul des moments.

1060 kg.m.l.



La valeur de la surcharge étant inférieure à 2 fois la charge permanente  
La fissuration est non préjudiciable.

$$\frac{e}{l_2} = 1 < 1,25$$

Nous prendrons les valeurs parfaites des moments en travée et aux appuis

A/ Moments aux appuis

$$M_1 = M_8 = -0,15 \text{ Mo}$$

$$M_2 = M_7 = -0,50 \text{ Mo}$$

$$M_3 = M_4 = M_5 = M_6 = -0,4 \text{ Mo}$$

$$\text{Le moment } M_0 = \frac{q e^2}{8} \text{ soit } \frac{1060 \times 3,38^2}{8} = 1514 \text{ kg.m}$$

$$M_1 = M_8 = -0,15 \times 1514 = -228 \text{ kg.m}$$

$$M_2 = M_7 = -0,5 \times 1514 = -757 \text{ kg.m}$$

$$M_3 = M_4 = M_5 = M_6 = -0,4 \times 1514 = -606 \text{ kg.m}$$

B/ Moment entravé

$$M_{12} = M_{78} = 1,15 \text{ Mo} - \frac{M_w + M_e}{2} + \frac{(M_w - M_e)^2}{8 M_0}$$

sait

$$M_{12} = M_{78} = 1,15 \times 1514 - \frac{757}{2} + \frac{(757)^2}{8 \times 1514} = 1410 \text{ kg.m}$$

$$M_{23} = M_{67} = 1,15 \times 1514 - \frac{757 + 606}{2} + \frac{(757 - 606)^2}{8 \times 1514} = 1062 \text{ kg.m}$$

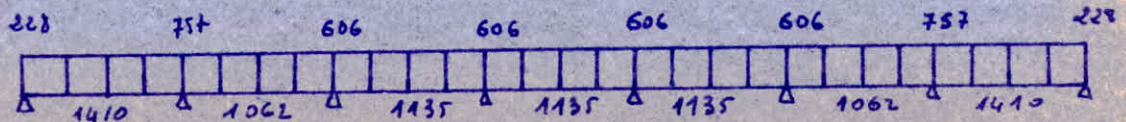
$$M_{34} = M_{45} = M_{56} = 1,15 \times 1514 - \frac{606 + 606}{2} + \frac{(606 - 606)^2}{8 \times 1514} = 1135 \text{ kg.m}$$

Vérification:

$$M_{12} = M_{78} = 1410 > 0,6 \times 1514 = 908 \text{ kg.m vérifié'}$$

$$M_{23} = M_{67} = 1062 > 0,5 \times 1514 = 757 \text{ kg.m vérifié'}$$

$$M_{34} = M_{45} = M_{56} = 1135 > 0,5 \times 1514 = 757 \text{ kg.m vérifié'}$$



### III Determination des armatures longitudinales

Section entravée       $h_e = 60 \text{ cm}$        $d = 3 \text{ cm}$

$b = 22 \text{ cm}$        $h = 57 \text{ cm}$

Béton dosé à 350 kg/m<sup>3</sup> CPA 325

Acier haute adhérence : Tuy.  $\sigma_{\text{carr}} = 4200 \text{ kg/cm}^2$   $\bar{\sigma}_a = 2800 \text{ kg/cm}^2$

$$\mu' = \frac{15M}{2800 \times 22 \times 57^2} = 0,75 \cdot 10^{-7} M$$

Section aux appuis

$$\mu' = \frac{15M}{2800 \times 22 \times 57^2} = 0,75 \cdot 10^{-7}$$

On tire  $\alpha$ ,  $\omega$ ,  $k$

$$A = \frac{\omega b h}{100}$$

$$\sigma_b' = \frac{2800}{k}$$

Voir tableau

### IV Etude de l'effort tranchant

$$T_1g = T_1d = \frac{qe}{2} + \frac{M_w - M_c}{e} \quad \text{sint} \quad \frac{1060 \times 3,38}{2} - \frac{757}{3,38} = 1567,49 \text{ kg}$$

$$T_2d = T_2g = qe - T_1d = 2015,31 \text{ kg}$$

$$T_3g = T_3d = \frac{qe}{2} + \frac{M_w - M_c}{e} = 1746,17 \text{ kg}$$

$$T_4d = T_4g = qe - T_3d = 1836,63 \text{ kg}$$

$$T_5g = T_5d = \frac{qe}{2} = T_6g = T_6d = T_7g = T_7d = 1791,41 \text{ kg}$$

Verification :

$$7 \times 3,38 \times 1060 = 2(1567,49 + 2015,31 + 1746,17 + 1836,63) + 6(1791,41)$$

$$25079,6 \equiv 25079,9 \quad \text{Vérifié}$$

## V Détermination des armatures transversales

1/  $T_{\max} = 2015,31 \text{ kg}$

$$\bar{\sigma}_b = \frac{T}{b \times g} = \frac{2015,31}{22 \times \frac{7}{8} \times 57} = 1,84 \text{ kg/cm}^2 < 3,5 \bar{\sigma}_b$$

Soit :

$$1,84 < 20,3 \text{ kg/cm}^2 \text{ vérifié.}$$

$$\bar{\sigma}_{at} = \rho_a \bar{\sigma}_{en} \quad \text{avec} \quad \rho_a = 1 - \frac{\bar{\sigma}_b}{g \bar{\sigma}_b}$$

Soit :

$$\rho_a = 1 - \frac{1,84}{9 \times 5,8} = 0,965.$$

$$\rho_a > \frac{2}{3}$$

$$\bar{\sigma}_{at} = 2400 \times 0,965 = 2315 \text{ kg/cm}^2$$

Nous prendrons des cadres  $\phi_6$  Adx

Soit  $A_t = 2\phi_6 = 0,56 \text{ cm}^2$ .

L'écartement "t" des armatures est donc

$$t \leq \frac{A_t \cdot 3 \bar{\sigma}_{at}}{T} = \frac{0,56 \times 7 \cdot 57 \cdot 2315}{2015,31} = 26 \text{ cm}$$

L'écartement maximum est donc.

$$\bar{t} = h \left( 1 - \frac{0,3 \bar{\sigma}_b}{\bar{\sigma}_b} \right) = 57 \left( 1 - \frac{0,3 \cdot 1,84}{5,8} \right) = 52 \text{ cm}$$

$$\bar{t} \geq 0,2h \quad \text{soit} \quad \bar{t} \geq 11,4 \text{ cm} \quad \text{on prend } t = 26 \text{ cm.}$$

Nous disposerons 1 cadre tous les 20 cm, le 1er cadre étant à 5 cm du mur d'appui.

$\frac{1}{2}$  portée :  $\frac{3,38}{2} \cdot 1,69 - 0,06 = 1,64$

Nombre de cadres :  $1,64 : 0,2 = 8$  cadres.

2/ Traction des armatures inférieures.

Aux appuis de rive  $A \bar{\sigma}_a \geq T + \frac{M}{S}$  ou  $M = 0$

$$A\bar{\sigma}_a \geq T \quad \text{soit} \quad 1,570 \times 2800 > 1567,49 \quad \text{Vérifié}$$

### 3/ Vérification à l'entrainement des armatures

Contrainte d'adhérence:

$$\tau_d = \frac{T}{Pz} = \frac{2015,31}{\frac{7}{8} \cdot 57,503} = 8,3 \text{ kg/cm}^2.$$

$$\tau_d \leq \bar{\tau}_d \quad \text{avec} \quad \bar{\tau}_d = 24\alpha \cdot \bar{\delta}_b = 24 \cdot 1,8^2 \cdot 5,8 = 17,4 \text{ kg/cm}^2$$

$$8,3 < 17,4 \text{ kg/cm}^2 \quad \text{Vérifié'}$$

En zone d'ancre normal la contrainte  $\bar{\tau}_a$  est

$$\bar{\tau}_a = 1,25 \cdot 4^2 \cdot \bar{\delta}_b = 1,25 \times 1,8^2 \times 5,8 = 16,3 \text{ kg/cm}^2.$$

En zone d'ancre en plaine marse

$$\bar{\tau}_a = 24\alpha \cdot \bar{\delta}_b = 2 \times 1,8^2 \times 5,8 = 26 \text{ kg/cm}^2.$$

### 4/ Vérification des Armatures longitudinales inférieures aux appuis intermédiaires.

$$F = T + \frac{M}{z} = 2015,31 + \frac{75700}{\frac{7}{8} \cdot 57} = 495 \text{ kg/cm}^2 < 2800 \text{ kg/cm}^2.$$

d'où la longueur de pincement droit.

$$ld = \frac{\phi \bar{\sigma}_a}{4 \bar{\tau}_d} = \frac{1 \times 495}{4 \times 26} = 4,75 \text{ cm}$$

Nous adopterons une longueur de pincement droit  $ld = 16 \text{ cm}$ .

### 5/ Ancre des armatures

$$\sigma_a = \frac{F}{A} = \frac{T}{A} = \frac{2015,31}{1,57} < 2800$$

$$ld = \frac{1 \cdot 1300}{4 \bar{\tau}_d} \quad \bar{\tau}_d \text{ en plaine marse}$$

$$ld = \frac{1300}{4 \times 26} = 12,5 \text{ cm}.$$

## VI Armatures de répartition

$$\eta^2 \frac{m \cdot hr}{b} = \frac{1,6^2 \times 2 \times 60}{22} < 40$$

Il n'y a pas lieu de s'occuper de la fissuration

Nous ajouterons cependant 2 H.AB pour éviter le déversement.

Poutre A<sub>6</sub>.

	APPUIS				TRAVEES		
N° de l'app ou travée	1 8	2 7	3 5	4 6	1-2 7-8	2-3 6-7	3-4, 4-5 5-6
Moment kg.cm	22800	75700	60600	141000	106200	113500	
$\mu'$	0,0017	0,00568	0,00455	0,0106	0,0080	0,0085	
$\alpha$	0,0577	0,1034	0,0931	0,1382	0,1210	0,1250	
$\tilde{w}$	0,0117	0,0397	0,0319	0,0739	0,0555	0,0595	
$k$	245	130	146	93,5	109	105	
$A$ en $cm^2$	0,147	0,498	0,400	0,927	0,696	0,746	
$A$ adopté	1,57	1,57	1,57	1,57	1,57	1,57	
nb de barr	2HA10	2HA10	2HA10	2HA10	2HA10	2HA10	
$A$ minimal	1,555	1,555	1,555	1,555	1,555	1,555	
$\sigma_b$ kg/cm <sup>2</sup>	11,43	21,54	19,18	30	25,70	26,67	

**DESCENTE**

**DE**

**CHARGES**

## Descente de Charge

Comme il s'agit d'un hôpital, il n'y a pas lieu d'appliquer la loi de dégression de charge dans le calcul des points d'appuis. Les charges sont transmises des hourdis aux poteaux, des poteaux aux semelles et enfin des semelles au sol. Il y a lieu donc de calculer les charges des poutres, et celles des planchers.

### I / Charges élémentaires des différents éléments:

- Poids au mètre carré :

de panneaux	400 kg
du dernier plancher:	480 kg
du plancher d'étage:	940 kg

- Poids au mètre linéaire et par étage:

Poutre A <sub>1</sub>	:	1360 kg
Poutre A <sub>2</sub>	:	1367 kg
Poutre A <sub>3</sub>	:	791 kg
Poutre A <sub>6</sub>	:	1053 kg
Poutre A <sub>4</sub>	:	$Q_1 = 1760 \text{ kg}$
Poutre A <sub>5</sub>	:	$Q_1 = 2148 \text{ kg}$
		$Q_2 = 810 \text{ kg}$
		$Q_2 = 803 \text{ kg}$

- Poids au mètre linéaire de traverse de portique:

.Traverses supérieures:

Portique intermédiaire	: 2960 kg
Portique de rive	: 2615 kg
Portique de joint	: 2265 kg

.Traverses intermédiaires d'étages:

Portique intermédiaire	: 4150 kg
Portique de rive	: 3780 kg
portique de joint	: 2375 kg

# DESCENTE DE CHARGES

ELEMENTS		PORTEURS	A1	B1	C1	A2	B2	C2	A7	B7	C7
ETUDE DU PLANCHER 1 <sup>e</sup>	Coffrage intérieur au élément porteur	Surface de plancher longueur de poutre long	4,73	10,15	5,4	9,46	20,80	11,61	4,73	10,15	5,4
		longueur de Traverse.	1,69	1,69	1,69	3,38	3,38	3,38	1,69	1,69	1,69
			2,80	6	3,20	2,80	6	3,20	2,80	6	3,20
	Poids total provenant de l'élément considéré en 7	Pannes	1,90	4,06	2,16	3,79	8,32	4,65	1,90	4,06	2,16
		Plancher	2,04	1,78	2,12	5,13	3,56	4,24	2,57	1,78	2,12
		Poutre longitudinale	2,31	1,34	2,30	4,62	2,68	4,60	2,31	1,34	2,30
		Traverse	7,33	15,69	8,37	8,29	17,76	9,48	6,36	13,62	7,27
	Total des charges apportées par le plancher.		13,58	22,87	14,95	21,83	32,32	22,97	13,14	20,80	13,85
	Coffrage	Surface de plancher longueur de poutre long	4,73	10,15	5,4	9,46	20,80	11,61	4,73	10,15	5,40
			1,69	1,69	1,69	3,38	3,38	3,38	1,69	1,69	1,69

## PLANCHE

5<sup>e</sup>

		Plancher	4,44	9,53	5,07	8,88	19,52	10,90	4,44	9,53	5,07
		Poutre longitudinale	2,57	1,78	2,12	5,13	3,56	4,24	2,57	1,78	2,12
		Traverse	10,59	22,68	12,1	11,68	25,02	13,35			
		Poteaux	0,98	1,20	0,98	0,53	0,80	0,53	0,53	0,80	0,53
		Total des charges apportées par les planches	18,58	35,19	20,27	20,22	48,89	29,02	16,40	26,81	15,56
		Total des charges apportées par les 5 planchers	87,9	163,63	96,03	102,71	227,88	139,05	70,74	128,04	76,09
	Poids	Poteaux 1,20 m.	0,27	0,34	0,27	0,14	0,22	0,14	0,14	0,22	0,14
		Total des charges apportées par tous les planchers	88,17	163,97	96,3	102,85	228,1	139,29	70,88	128,26	76,23
CHARGE	TOTALE		<b>89</b>	<b>164</b>	<b>97</b>	<b>103</b>	<b>229</b>	<b>140</b>	<b>71</b>	<b>129</b>	<b>77</b>

CALCUL.

DES

PORTIQUES

## Méthode de Calcul des Portiques.

de Kani

les déplacements et rotations des noeuds d'un portique, soumis à l'action des charges, sont les mouvements élastiques qui amènent l'équilibre dans toutes les parties du système sollicité par ces charges.

Les calculs consistent donc à déterminer, en valeurs principales, cet état d'équilibre pour chaque cas de charge donné. Or cet état d'équilibre est connu quand les moments fléchissants aux extrémités de toutes les bâmes sont déterminés, car c'est à partir du moment fléchissant que peuvent être calculés l'effort tranchant, les réactions d'appui, le moment en bâche, la flèche, le déplacement etc...

Le but du calcul est de déterminer les moments aux extrémités des bâmes. Dans chaque section il existe toujours deux moments égaux et de sens contraires. Le moment d'extrémité est celui qui agit sur l'extrémité de la bâme et non celui qui agit sur le noeud.

Conventions : un moment à l'extrémité d'une bâme est positif s'il est orienté dans le sens des aiguilles d'une montre (il en est de même pour les moments dans les noeuds, moment de fixation et les angles de rotation).

Les noeuds des portiques seront désignés par des nombres (1, 2, 3, 4... etc...) le moment à l'extrémité i de la bâme i-1 sera désigné par  $M_{ki}$  et à l'extrémité de la même bâme par  $M_{ki}$ . Le premier indice indique l'extrémité où agit le moment extrémité.

2

Les caractéristiques géométriques d'une barre seront exprimées par le moment d'inertie  $I$  de la section et la longueur de la barre  $l$ . On introduit le coefficient de rigidité  $K = \frac{I}{l}$ .

Le calcul du comportement statique du système, pour une charge donnée, doit toujours être effectué à partir de l'état d'encastrement parfait. Nous supposons donc que simultanément avec l'application de la charge les nœuds sont fixés par des forces et moments extérieurs, de manière à empêcher tout mouvement (rotation ou déplacement).

Toute barre doit être considérée comme une poutre encastree à ses extrémités, dont les moments d'encastrement peuvent être facilement déterminés.

Les forces et moments fictifs qui fixent les nœuds et réalisent ainsi l'encastrement parfait des barres seront désignés par forces et moments de fixation ou d'encastrement parfait.

Plus lorsque tous les moments d'encastrement parfait ont été déterminés, on peut calculer les forces et les moments de fixation à tous les nœuds à l'aide des conditions d'équilibre.

Pour que un nœud quelconque soit en équilibre il faut que  $M_i$  égal à la somme des moments d'encastrement parfait de toutes les barres concourant au nœud  $i$ :  $M_i = \sum M_{ik}$ .

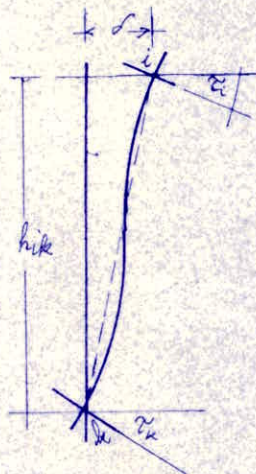
$M_{ik}$  désigne le moment d'encastrement parfait.

Il y a lieu d'indiquer que le moment de fixation est appliqué au dehors des moments d'extériorité aux bouts des barres, et non pas aux nœuds c'est pourquoi il n'y a pas changement de signe.

## Exposé de la méthode.

### Calcul des portiques à poutres fines.

Lorsqu'un poteau subit des déformations, sous l'effet d'une charge donnée sans participation de moments de fixation quelconques, chaque noeud effectue une rotation déterminée. Considérons une barre  $i-k$ , nous constatons que l'extrémité  $i$  a effectué une rotation  $\tau_i$  et l'extrémité  $k$ , une rotation  $\tau_k$ . Nous pouvons voir que la déformation définie de la barre  $i-k$ , due à l'action de la charge à laquelle elle est soumise, et à la rotation de ses extrémités, est constituée par la superposition de 3 déformations partielles.



1. celles de la barre  $i-k$  (dont les extrémités sont encastrées) sous l'action de la charge appliquée.
2. celle provoquée par la rotation effectuée par l'extrémité  $i$  indépendamment de celle de l'extrémité  $k$ . Supposée ne pas tourner.
3. Enfin celle provoquée par la rotation effectuée par l'extrémité  $k$  indépendamment de l'extrémité  $i$  supposée ne pas tourner.

Nous voyons que le moment d'extrémité à chaque bout de la barre peut être considéré comme étant composé de 3 moments distincts.

Plus pour l'extrémité  $i$  de la barre  $i-k$  nous avons :

l'angle  $\theta M_{ik}$  car en  $K \Rightarrow M_{ik}$

Moment d'encaissement  $\bar{M}_{ik}$  dû à la charge extérieure appliquée à la bâche.

Moment  $\theta M_{ik}$  dû à la rotation de l'extrémité considérée i

Moment  $M'_{ki}$ , dû à la rotation de l'extrémité opposée k de la bâche.

On peut donc pour forme générale exprimer le moment d'encaissement en :

de la bâche c'est de la manière suivante

$$M_{ik} = \bar{M}_{ik} + \theta M_{ik} + M'_{ki}$$

Le moment  $M'_{ki}$ , produit par la rotation  $\tau_i$  de l'extrémité i, est une fonction de la rotation  $\tau_i$  et du facteur de rigidité K de la bâche. Pour l'appeler moment partiel dû à la rotation de l'extrémité i égal à  $E K \tau_i$ .  
E module d'élasticité.

De même  $M'_{ki}$  qui est une fonction de l'angle de rotation  $\tau_k$  et du facteur K de la bâche sera le moment partiel dû à la rotation de l'extrémité k.

Enfin en faisant la somme de ces moments nous obtenons le moment d'encaissement.

On portera les valeurs de K au milieu de la bâche correspondante.

Pour remarquer que lorsqu'un nœud effectue une rotation, toutes les extrémités des bâches aboutissant au même nœud subissent la même déviation angulaire  
or les moments partiels dus à la rotation ne dépendent que du facteur K et de l'angle de rotation. Si un seul nœud du portique effectue une rotation, il n'y aura de changement que pour les moments partiels, dus à la rotation des extrémités des bâches aboutissant à ce nœud, et ces moments varieront dans le même rapport que le facteur K correspondant. Si donc la somme de ces moments, à un nœud est connue, nous pouvons obtenir les moments partiels de chacune des extrémités des bâches concernant à ce nœud, multipliant la somme des moments par  $\frac{K}{E K_i}$ .

Si nous appelons "rapprochée", l'extrémité fixée au poulidor et "opposée" l'autre extrémité de la barre, il est evident qu'à chaque nœud nous aurons autant d'extrémités rapprochées que d'extrémités opposées. (une barre en porte à faux peut toujours être considérée comme ayant une extrémité opposée rentrée à l'infini).

Il en résulte de l'examen de l'équilibre d'un nœud quelconque  $i$ , que la somme du moment d'enca斯特ement parfait  $\bar{H}_i$  et de tous les moments partiels dus à la rotation des extrémités opposées des barres aboutissant au nœud  $i$ , est égale à -2 fois la somme des moments partiels dus à la rotation des extrémités rapprochées des barres aboutissant au nœud  $i$ .

L'équilibre des nœuds  $i$  écrit  $\sum M_{ik} = 0$ .

$$\text{Or } M_{ik} = \bar{H}_{ik} + 2 \sum M'_{ki} + \sum H'_{ki} = 0.$$

avec  $\sum \bar{H}_{ik}$  = moment de fixation du nœud  $i \Rightarrow \sum \bar{H}_i + \sum H'_{ki} = -2 \sum H'_{ki}$

On introduit la notion de facteur de répartition. Ces facteurs sont obtenus en répartissant dans chaque nœud la valeur  $-\frac{1}{2}$  en fonction des facteurs  $k$  entre les extrémités des barres aboutissant à ce nœud (la somme de tous les facteurs de rotation est égale à  $-\frac{1}{2}$ , les facteurs mêmes sont négatifs)

Calcul pratique.

Le calcul comprend 3 opérations successives :

1. On détermine pour la charge donnée tous les moments d'encastration parfait  $H_{ik}$  et on les porte aux extrémités correspondantes des barres. Les moments de

fractures sont obtenues en faisant, pour tout nœud i, la somme des moments d'encaissement des barres concourant en ce nœud.

$$\sum \bar{M}_i = \sum_{(i)} \bar{M}_{i,k} \quad \text{Les moments sont portés dans}$$

le cercle intérieur des nœuds.

2- On obtient les facteurs de rotation  $\mu_i$  en partageant dans chaque paire le valeur  $-\frac{1}{2}$  entre les extrémités des barres concourant au nœud, proportionnellement à leur facteur de rigidité  $K$ : ( $K = \frac{E}{l}$ ). Pour une extrémité i, le  $\mu_i$  du nœud e est à  $\mu_{i,e} = -\frac{1}{2} \cdot \frac{K_{i,e}}{\sum_{(i)} K_{i,k}}$ .

Une fois les facteurs de rotation portés dans le cahier, aux extrémités correspondantes, il faut effectuer à chaque nœud le contrôle, en additionnant tous les facteurs de rotation, dont la somme doit être toujours égale à

$$\sum_{(i)} \mu_{i,k} = -\frac{1}{2} \quad (\text{contrôle}).$$

3- On détermine les moments partiels, dus à la rotation des extrémités des barres,  $M'_{ik}$ , en répétant l'opération fondamentale ci après.

$M'_{ik} = \mu_{ik} (\bar{M}_i + \sum_{(i)} M'_{ki})$  [Comment venir à bout d'évaluer  $M'_{ki}$ ?]  
en passant d'un nœud à l'autre dans l'ordre voulu jusqu'à ce qu'on ait atteint le degré de précision désiré.

4- Les moments d'extrémité définitifs,  $M_{ik}$ , sont obtenus en additionnant les moments partiels dus à la rotation. Pour une extrémité i, le

$$M_{ik} = M'_{ik} + 2 M'_{ie} + M'_{ki}.$$

Portiques multiples à étages avec des poteaux.

à déplacement horizontal.

Si un système est constitué de telle façon qu'au cours de la déformation les poteaux, et respectivement les extrémités des barres, effectuent non seulement des rotations mais aussi des déplacements relatifs, on peut, dans ce cas aussi, conformément au point exposé, se présenter la déformation d'une barre de la manière suivante :

1. Sous une charge donnée, la barre i-k se déforme sans que les extrémités des barres subissent des déformations ou de déplacements, l'une par rapport à l'autre, quelconque (état d'encastrement parfait)
2. L'extrémité i de la barre subit une rotation  $\tau_i$ , pour que l'extrémité k effectue un déplacement ou une rotation.
3. L'extrémité k de la barre subit une rotation  $\tau_k$  sans que l'extrémité i effectue un déplacement ou une rotation supplémentaire quelconque.
4. Les extrémités de la barre i-k subissent un déplacement relatif  $\delta$ , sans effectuer une rotation supplémentaire quelconque étant donné que les 3 premières

déformations partielles sont exactement les mêmes que dans le cas des portiques à poteaux fixes, il est évident que l'équation fondamentale employée jusqu'à présent va donner pour le moment d'extinction  $M_{ik}$  en terme supplémentaire  $M_{ik}^*$  du au déplacement relatif  $\delta$  des extrémités

de forme.

Ces quatres composantes d'un moment d'extémité une fois déterminé, on peut obtenir le moment d'extémité lui-même, comme auparavant, par simple addition.

$$M_{ik} = M'_{ik} + \Sigma M''_{ik} + M''''_{ik}$$

La composante  $M''_{ik}$  due au déplacement relatif des extrémités d'une branche, sera appelée « moment partiel dû au déplacement ».

on exprime la condition d'équilibre pour un nœud i par  $\Sigma M_{ik} = 0$

$$\text{d'où } \Sigma M_{ik} + \Sigma M''_{ik} + \Sigma M''''_{ik} = 0. \quad (1)$$

$$\text{ou } - \Sigma M''_{ik} = M_i + \Sigma (M''_{ik} + M''''_{ik})$$

charge verticale.

La condition d'équilibre est que la somme des effets tranchants des tous les montants d'un étage n doit être égale à zéro.

$$\Sigma Q_{ik} = 0$$

Cette condition doit être remplie à chaque étage (si les déplacements horizontaux des nœuds sont possibles) et qui est déterminée par le déplacement relatif des travées. fait au calcul des moments partiels dus au déplacement. Si à l'étage n, tous les montants ont la même hauteur, nous trouvons cette condition d'équilibre et de l'équation (1) en y introduisant l'expression de l'effet tranchant d'un montant i-k.

$$Q_{ik} = - \frac{M_{ik} + M''_{ik}}{h_{ik}}$$

$$\sum_{(k)} \Phi_{ik} = -\frac{1}{h_{ik}} \sum_{(k)} (2M'_{ik} + M'_{ki} + M''_{ik} + 2M'_{ki} + M'_{ik} + M''_{ki}) = 0$$

$$\text{d'où } \sum_{(k)} M''_{ik} = -\frac{3}{2} \sum_{(k)} (M'_{ik} + M'_{ki})$$

Les coefficients d'après lesquels cette somme doit être répartie entre les montants de l'étage s'obtiennent à l'aide du raisonnement suivant :

Si dans un étage  $n$ , la traverse supérieure (qui joint le sommet des montants) effectue par rapport à la traverse inférieure (qui joint la base des montants) un déplacement  $s$ , tous les montants de cet étage sont soumis à leur pourcent au même déplacement latéral  $s$ . On admet que la longueur des deux barres du système ne subissent aucun changement, au cours de la déformation. Étant donné que la valeur des moments partiels dus au déplacement ne dépend que du déplacement  $s$  et du rapport correspondant  $\frac{x}{l}$  (la hauteur du montant), et qu'il est proportionnel, les moments partiels dus au déplacement des montants de l'étage  $n$  seront entre eux dans le rapport  $\frac{x}{l}$  correspondant. Si tous les montants ont la même hauteur, les moments partiels seront proportionnels aux facteurs de rigidité  $K$  des montants.

Pour la commodité du calcul, nous pouvons à présent, parallèlement aux facteurs de rigidités, introduire "les facteurs de déplacement" que nous obtiendrons en partageant la valeur  $-\frac{3}{2}$  entre les montants de l'étage  $n$  proportionnellement à leur facteur de rigidité  $K$ .

## Calcul pratique.

Pour considérer le cas où tous les montants de l'étage ont la même hauteur  $H$ .

1) Pour une charge verticale donnée, on calcule tous les moments d'enca斯特nement parfait aux extrémités,  $M_{ik}$ , on les inscrit aux extrémités correspondantes des bâmes.

$$\text{le moment de fixation } \bar{M}_i = \sum_{(i)} M_{ik}$$

Ces moments peuvent inscrits dans les cercles intérieurs des nœuds.

2) On obtient les facteurs de rotation  $\mu_i$  en répartissant, dans chaque nœud, la valeur  $-\frac{1}{2}$  entre les extrémités des bâmes assemblées au prorata proportionnellement à leur facteur de rigidité  $K$ .

$$\text{ainsi } \mu_{ik} = -\frac{1}{2} \cdot \frac{K_{ik}}{\sum_{(i)} K_{ik}}$$

Vérifier que la somme de ces facteurs  $\sum_{(i)} \mu_{ik} = -\frac{1}{2}$  (contrôle).

Pour obtenir les facteurs de déplacement  $\nu_i$  on répartit à chaque étage entre les montants et proportionnellement à leur facteur  $K$ , la valeur  $-\frac{3}{2}$ .      ainsi  $\nu_{ik} = -\frac{3}{2} \cdot \frac{K_{ik}}{\sum K_{ik}}$ .

Vérifier que la somme des facteurs de déplacement des montants est égale à  $-\frac{3}{2}$ .       $\sum_{(i)} \nu_{ik} = -\frac{3}{2}$       contrôle.

3) Le calcul des moments partiels dus à la rotation,  $M_{ik}$ , est effectué en répétant plusieurs fois l'opération fondamentale pour la détermination de ces moments.

$M'^{ik} = \bar{M}_{ik} \left[ \bar{M}_i + \sum_{(j)} (M'^{ki} + M''^{ik}) \right]$  en passant d'un étage à l'autre.

Le calcul des moments partiels dus au déplacement,  $M'^{ik}$  est effectué en répétant plusieurs fois l'opération fondamentale pour la détermination des ces moments.

$$M''^{ik} = \bar{M}_{ik} \left[ \bar{M}_i + \sum_{(j)} (M'^{ki} + M''^{ik}) \right]. \quad \text{en passant d'un étage à l'autre}$$

4) les moments d'extrémité définitifs s'obtiennent par addition des moments d'enca斯特ments parfaites aux extrémités,  $\bar{M}_{ik}$ , des moments partiels dus à la rotation,  $M'^{ik}$  et  $M'^{ki}$ , et de moments partiels dus au déplacement  $M''^{ik}$ .

Pour l'extrême i d'une barre i-k nous avons :

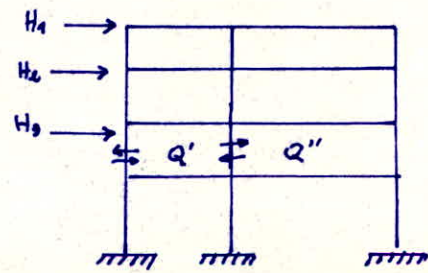
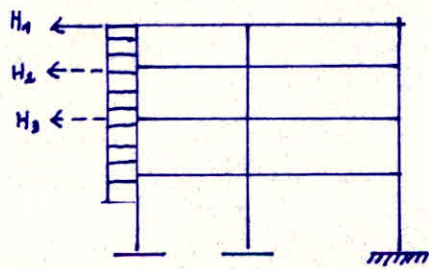
$$\bar{M}_{ik} = \bar{M}_{ik} + 2M'^{ik} + M'^{ki} + M''^{ik}.$$

## ct6 méthode de K charge horizontale

Pour un poteau soumis à des charges horizontales qui dans le cas général, peuvent être appliquées aussi en dehors des nœuds ou part de nouveau de l'état d'encastrement parfait. Mais pour empêcher les nœuds d'effectuer non seulement des rotations mais aussi des déplacements, il est nécessaire d'appliquer au système, outre les moments de fixation, des forces horizontales. Les moments d'encastrement parfait une fois calculés, on peut déterminer les moments et les forces de fixation à l'aide des conditions d'équilibre.

Pour pouvoir effectuer dans ce cas le calcul des moments partiels dus au déplacement de la même manière que a été fait pour les charges verticales, il ne faut pas oublier que nous avons pris méthodique les forces  $H_i$  qui en réalité n'existent pas. On pourrait pourtant les éliminer au moyen d'une charge supplémentaire, en opposant à chaque force  $H_i$  une autre force dirigée en sens contraire.

L'équation d'équilibre pour une coupe horizontale à un étage quelconque :



$$\sum_n Q_i h = \sum_{i=1}^n H_i$$

La somme des effets tranchants de tous les moments de l'étage  $\tau$  est donc égale à la somme de toute les forces  $H$  auxquelles sont soumis le nœuds au dessus de l'étage  $\tau$ . La somme de toute la force de fixation  $\bar{H}$  qui engagent au dessus de l'étage  $\tau$  sera par la suite désigné comme effet tranchant  $Q_\tau$  de l'étage  $\tau$

$$Q_\tau = \sum_{i=1}^n \bar{H}_i$$

Les effets tranchant des étages peuvent pour chaque étage être facilement calculé à l'aide des forces de fixation

$$\Rightarrow \sum_n Q_{ik} = Q_\tau$$

Et si à l'étage considéré tous les moments sont de la même hauteur  $h_\tau$  on aura  $Q_\tau h_\tau = - \sum [3(M'_{ik} + M''_{ik}) + 2M'''_{ik}]$

$\Rightarrow$  la somme de tous les moments due au déplacement de les montants de l'étage  $\tau$ .

$$\sum M''_{ik} = -\frac{3}{2} \left[ \frac{Q_\tau h_\tau}{3} + \sum (M'_{ik} + M''_{ik}) \right]$$

La valeur  $\frac{Q_\tau h_\tau}{3}$  sera appellé moment de l'étage  $M'_\tau$

Les facteurs de déplacement sont le même, de sorte que la seule différence entre les 2 cas, c'est que dans la détermination des moments partiels due à la rotation de toute les extrémités des montants de l'étage considéré, nous devons ajouter le moment d'étage  $M'_\tau$  le calcul d'un pontique à étages multiples soumis à une charge horizontale et effectué en trois phases.

1. On détermine l'état d'encastrément complet en calculant tous les moments et forces horizontales de fixation
  2. On calcule les moments partiels des à la rotation et au déplacement exceptant des moments de fixation
  3. On calcule les effets tranchants  $Q_R$  et les moments d'étage  $M_R$  pour tous les étages avec les forces de fixation horizontales.
- Pour les charges supplémentaires qui entraînent l'élimination des forces horizontales, il faut calculer les moments partiels dus à la rotation et au déplacement et les ajouter à ceux de la deuxième phase. La 2<sup>e</sup> et 3<sup>e</sup> phase de calcul ne doivent pas être effectuées séparément. On a les moments partiels dus au déplacement :

$$\text{barre } ik : M''_{ik} = \nu_{ik} [ \bar{M}_i + \sum (M'_i R_i + M''_R i) ]$$

barre nœudi :

les moments partiels de rotation :

$$M'_{ik} = \mu_{ik} [ \bar{M}_i + \sum (\bar{M}'_{ki} + M''_{ik}) ]$$

Résumé :

1. Etat d'encastrément complet :

Calculer tous les moments d'encastrément parfait des barres aux extrémités, tous les moments et forces de fixation, avec ceux-ci les effets tranchants et les moments d'étage  $\bar{M}_R = \frac{Q_R h_R}{3}$  ( $> 0$  charge de gauche à droite)

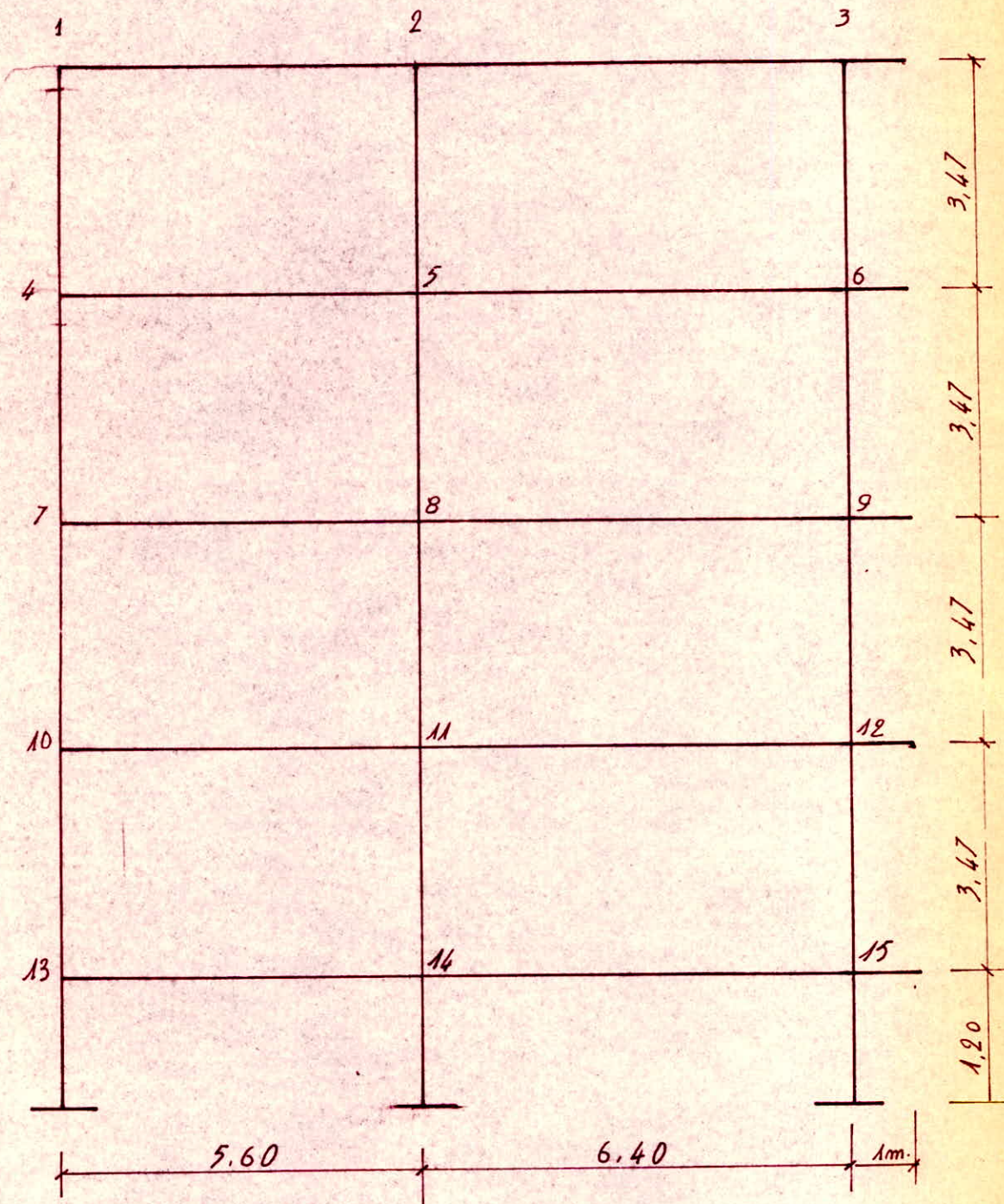
2. Facteurs de rotation et de déplacement (même que pour charge horizontale)

3. Le calcul des moments partiels dus au déplacement et à la rotation, débuté par l'opération de calcul des moments partiels dus au déplacement, puis l'opération de calcul des moments partiels dus à la

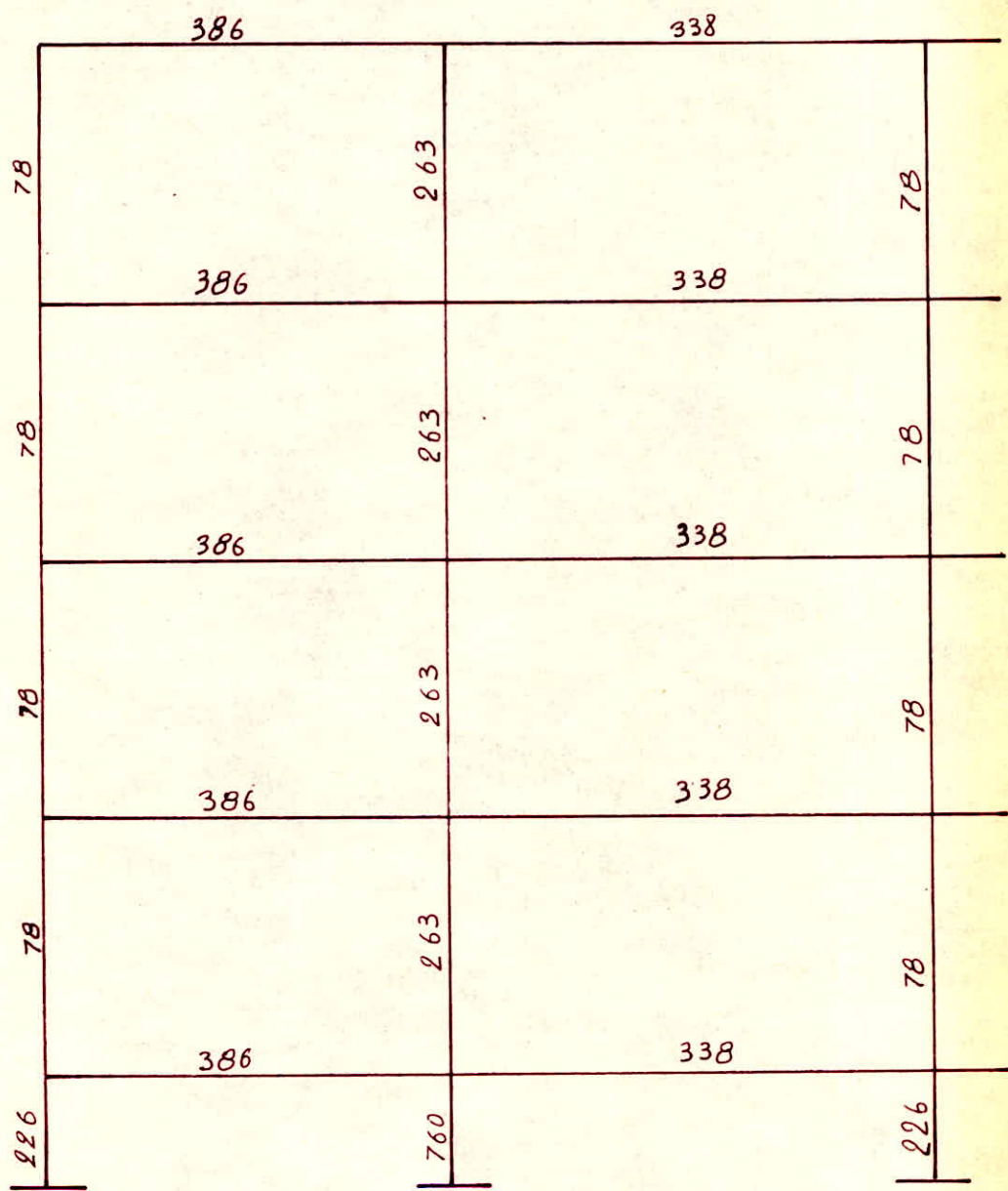
rotation (autant de fois pour attenuer la précision souhaitée)

4- La détermination des moments d'extrémité se fait comme pour les charges verticales

PORTIQUE



*Portique intermédiaire*  
*Raidem des bâmes.*



Portique intermédiaire

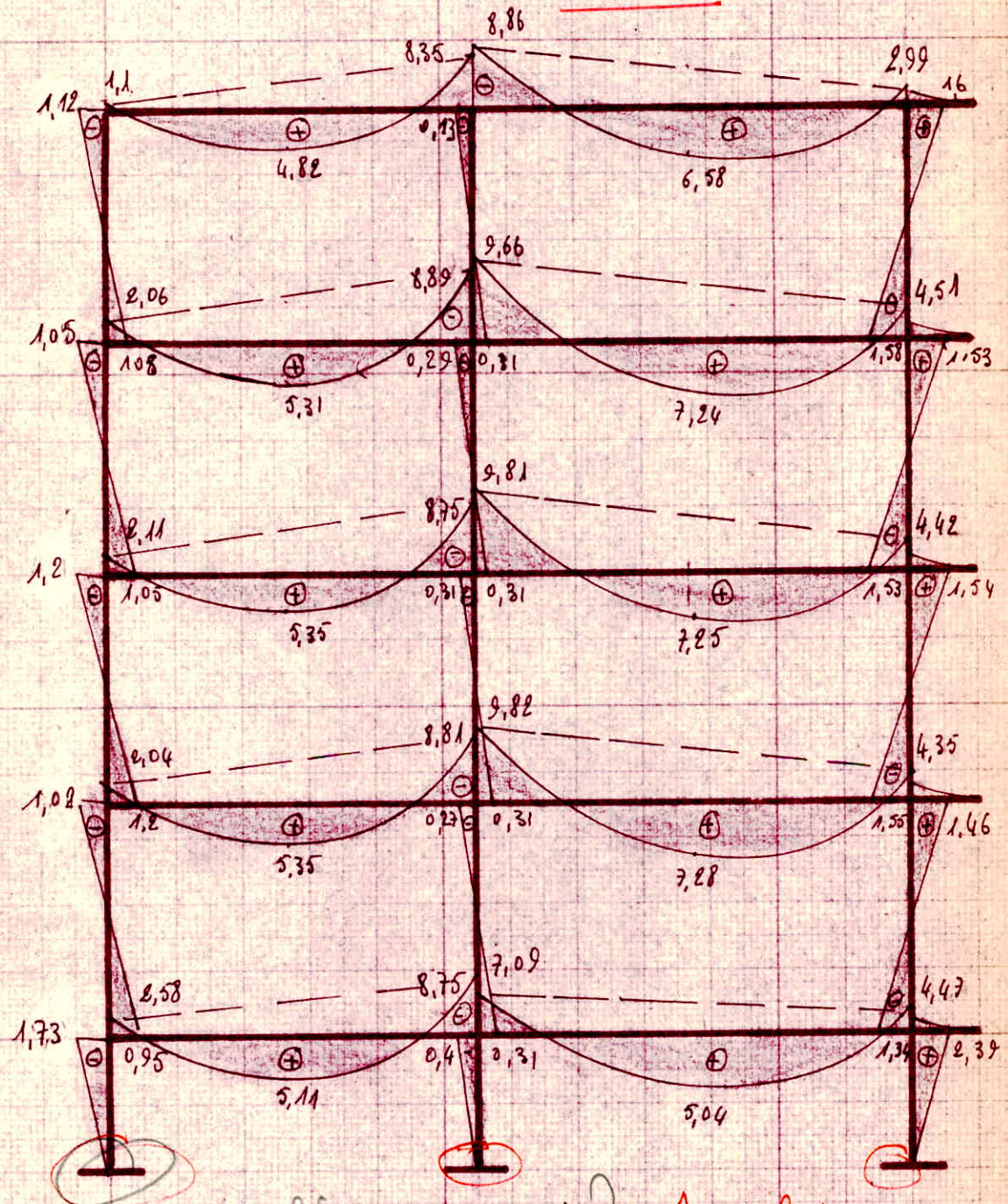
Moments dus aux charges permanentes.

Unités

-1,10		-9,85		-1,30
+1,12	+8,35	0,58	+2,98	-1,61
-2,05	+9,80	-9,66	+4,51	-1,58 -1,30
+1,05	+9,80	0,62	+4,42	-1,53 -1,30
-2,11	+8,75	-9,81	+4,35	-1,55 -1,30
+1,20	+8,75	0,53	+4,42	-1,51
-2,04	+8,81	-9,82	+4,35	-1,46 -1,30
+1,02	+8,81	0,50	+4,47	-1,36 -1,30
-2,58	+8,75	-7,09	+4,47	-1,24
+0,95	+8,75	0,81		
+1,76				

Parties intermédiaires  
Effet des charges permanentes

Unités ?



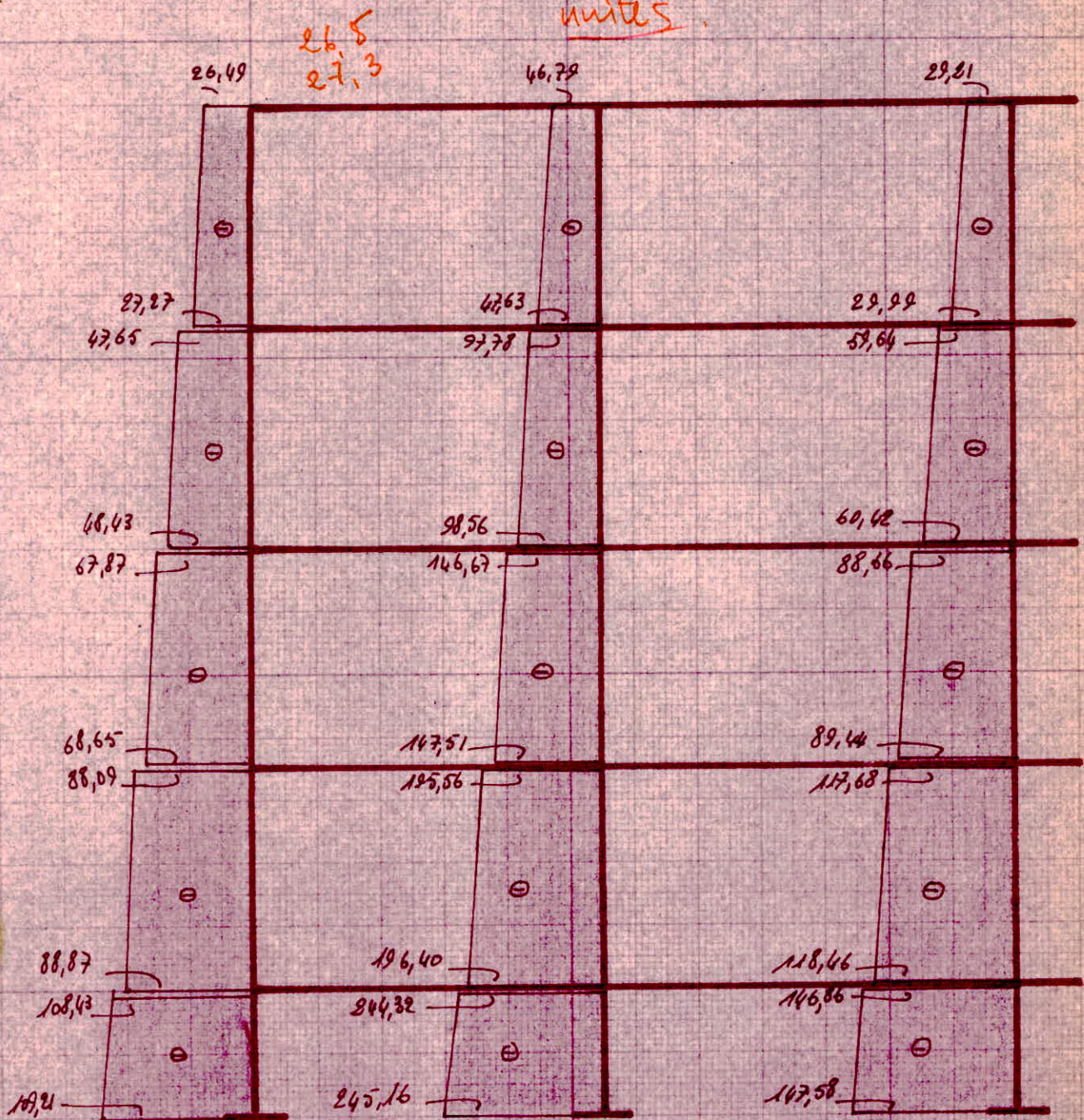
simplifié au centre ?

Articulation  
au centre ?

# Portique intermédiaire .

Effort ~~transversal~~ des montants due aux charges normales permanentes

unités ?

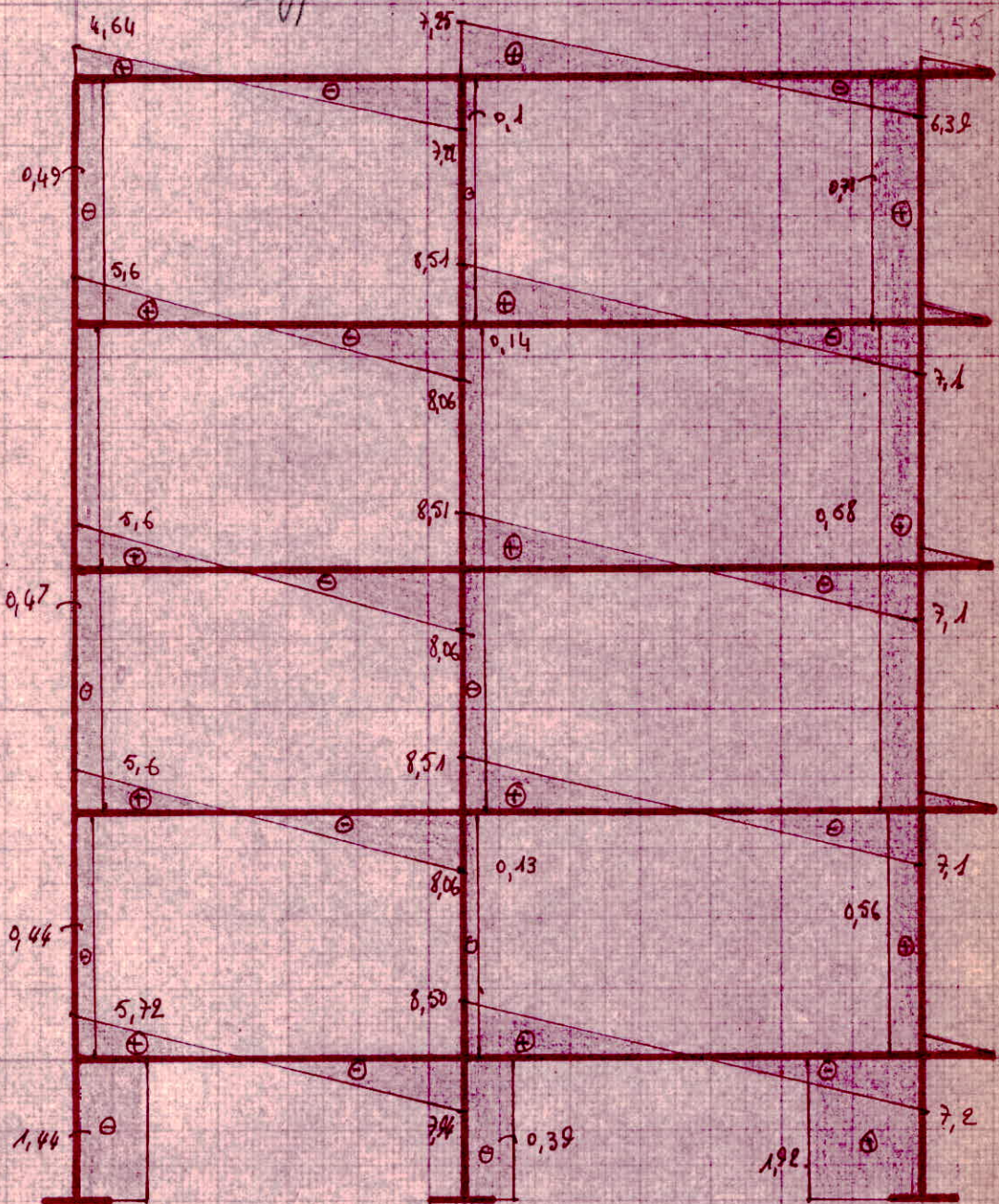


# Portique intermédiaire

Effort tranchant du aux charges permanentes

relier les liaisons entre diagrammes

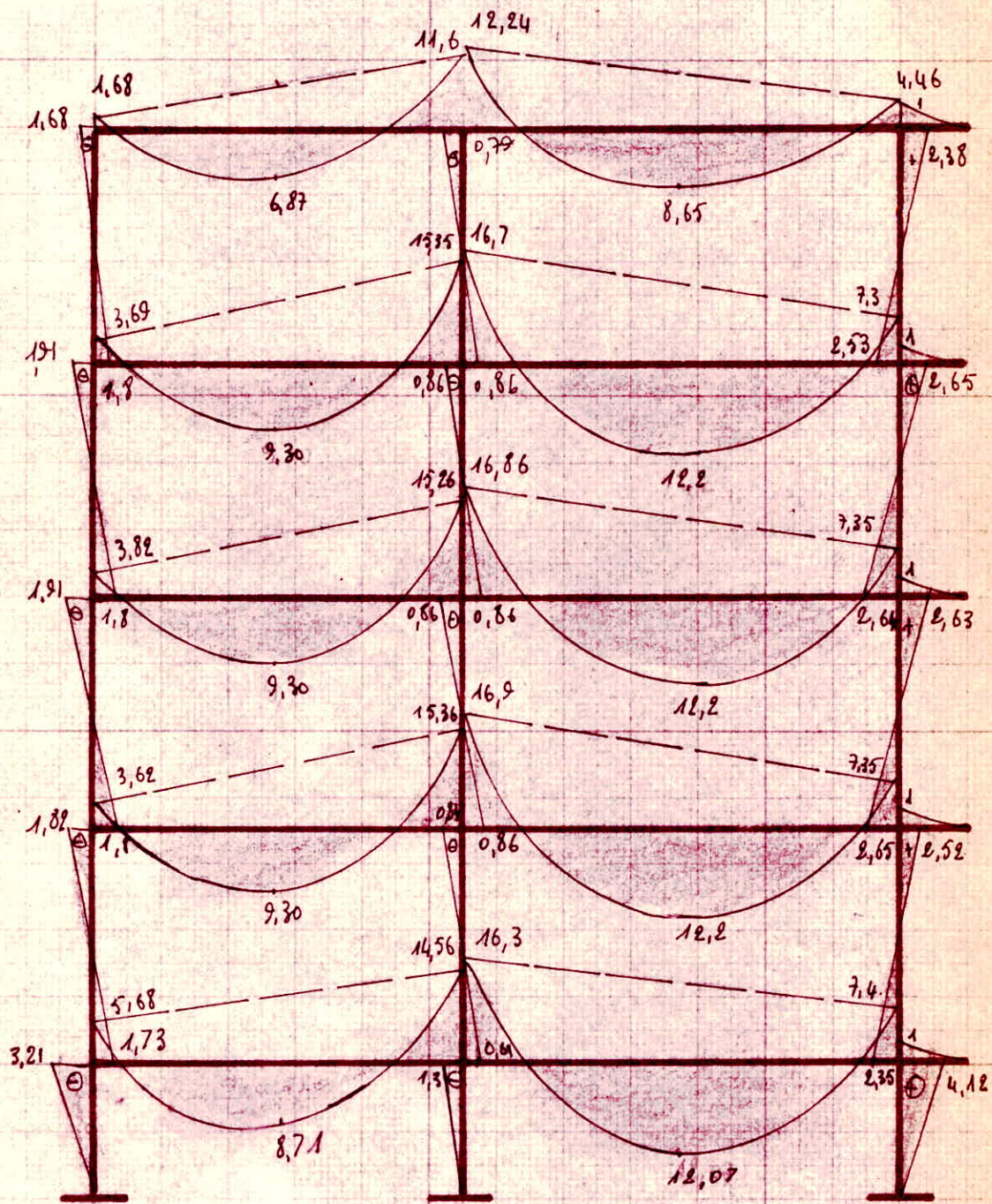
effet et N



Portique intermédiaire  
Moments due aux surcharges

-0,54	+3,49	-3,31	+1,70	-1,00
+0,54			-0,69	
-1,45	+0,26	-6,93	-0,89	-1,00
+0,70	+6,35	+0,34	+3,02	+1,03
+0,57				
-1,55	+0,33	-6,89	-1,06	-1,00
+0,78	+6,27	+0,32	+3,15	+1,05
+0,78				
-1,50	+0,32	-6,91	-1,06	-1,00
+0,78	+6,31	+0,31	+3,08	+1,00
+0,78				
-1,20	+0,26	-6,73	-0,94	-1,00
+0,71	+5,96	+0,51	+3,60	+1,64
+1,31				

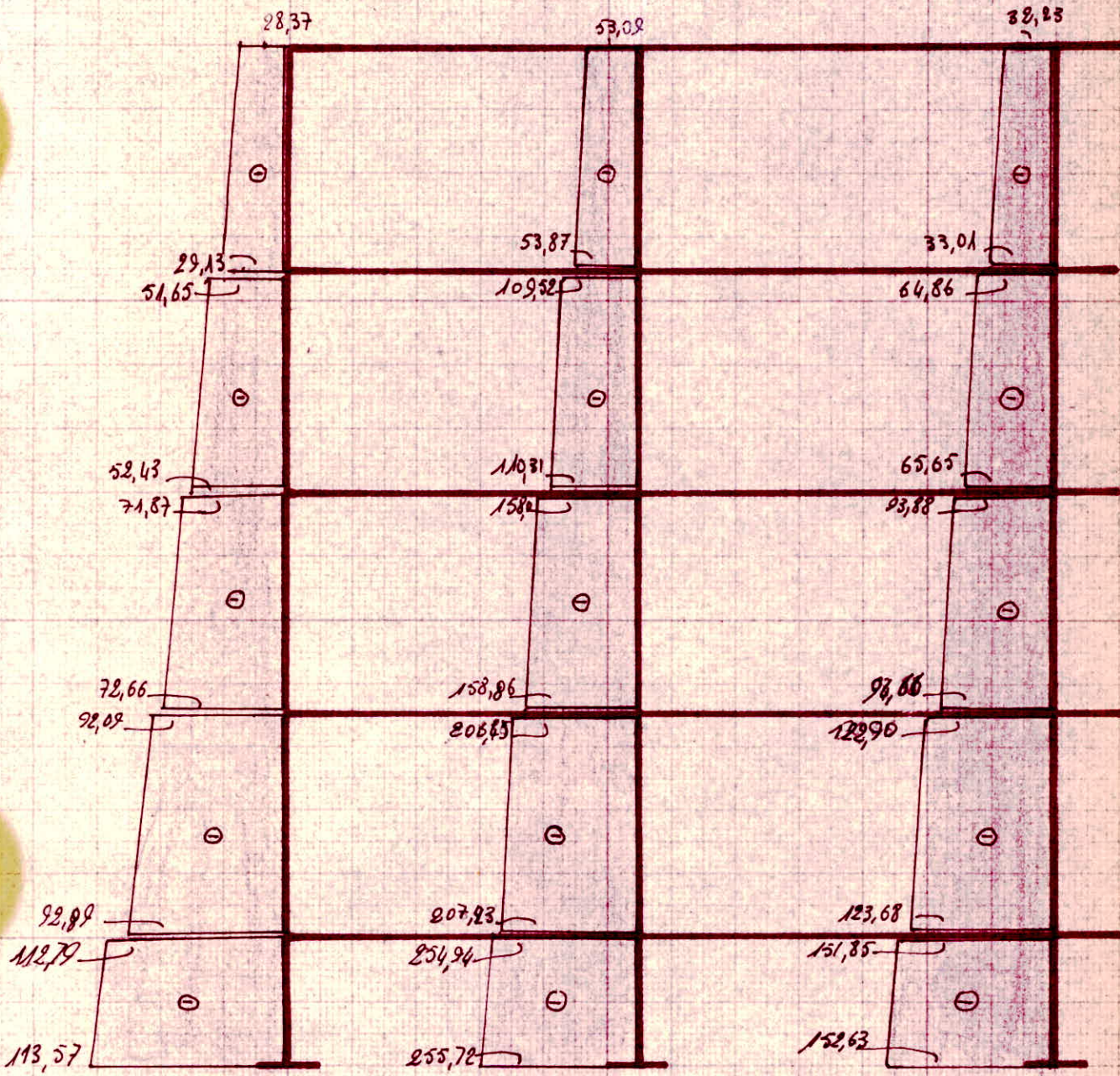
Portique intermédiaire :  
Effets charges permanentes + Surcharge



Portique intermédiaire

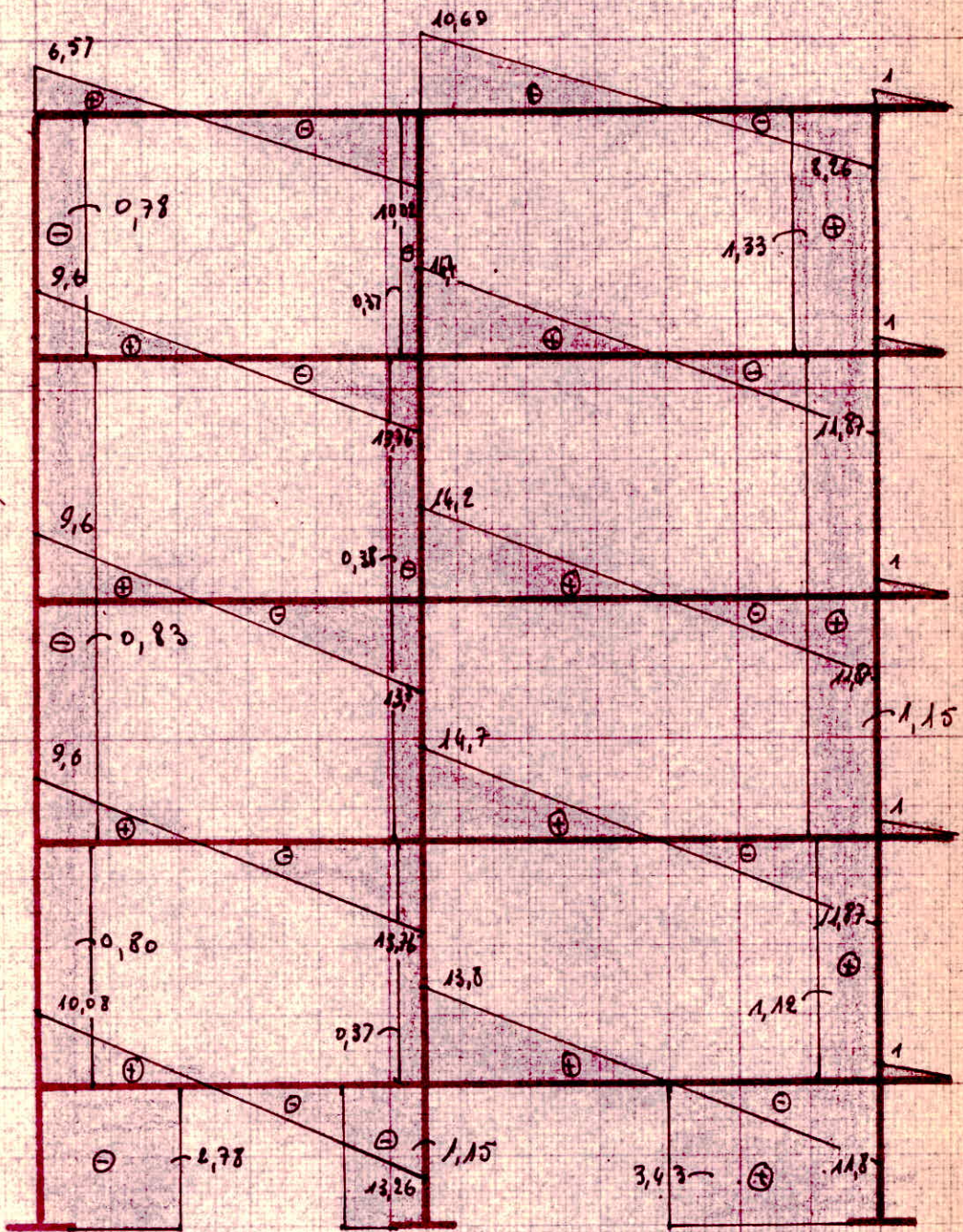
Effort normal des montants

des charges permanentes et accrochages



Portique intermédiaires

Effets tranchants dus aux charges permanentes + surcharges

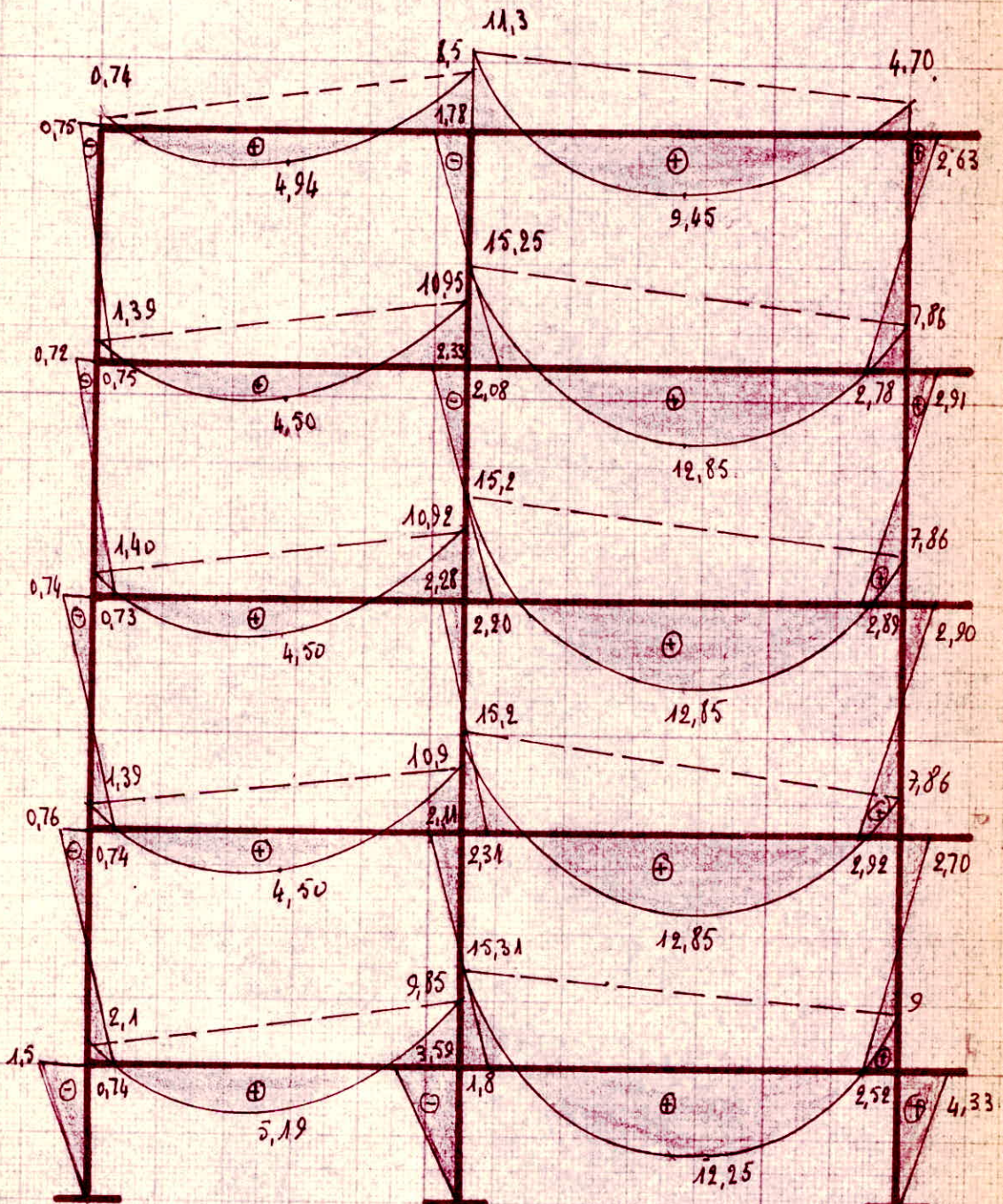


*Portique intermédiaire*  
*Moments des axes surcharges sur travée droite*  
*et aux charges permanentes*

-0,74		-11,31		
0,80	8,5	1,78		4,70
0,76	-1,38	2,08	-15,25	4,78
0,72		2,32		-2,91
0,73	-1,39	2,28	-15,29	-2,99
0,73		10,86	5,88	-2,93
0,74	-1,34	4,30	-15,32	-2,96
0,76		10,94	2,12	-2,72
0,74	8,10	1,37	-15,31	-2,52
0,73	153	9,85	3,5	-4,33
				980

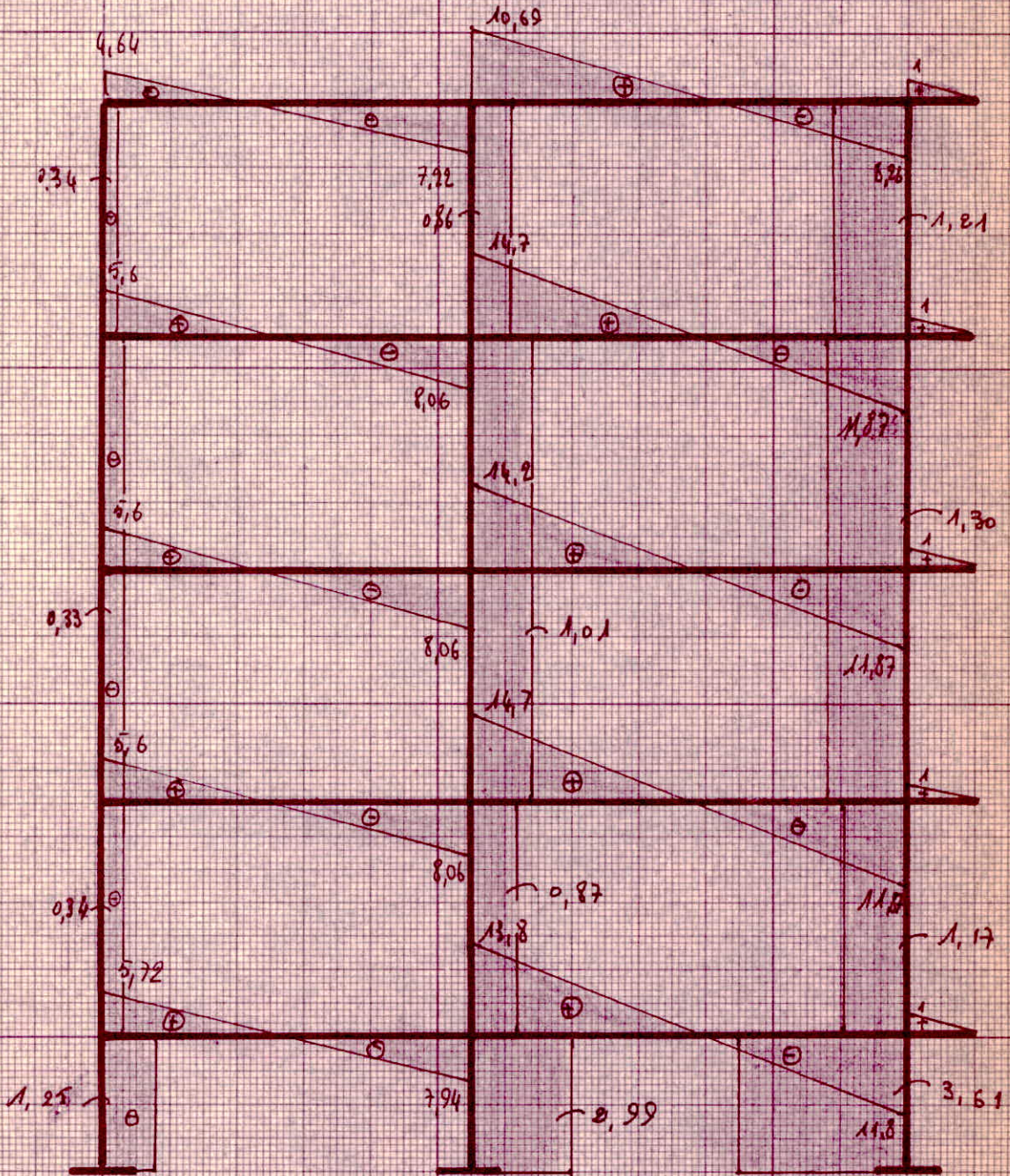
## Portique intermédiaire

## Effets des charges permanentes + Surcharges à choïte



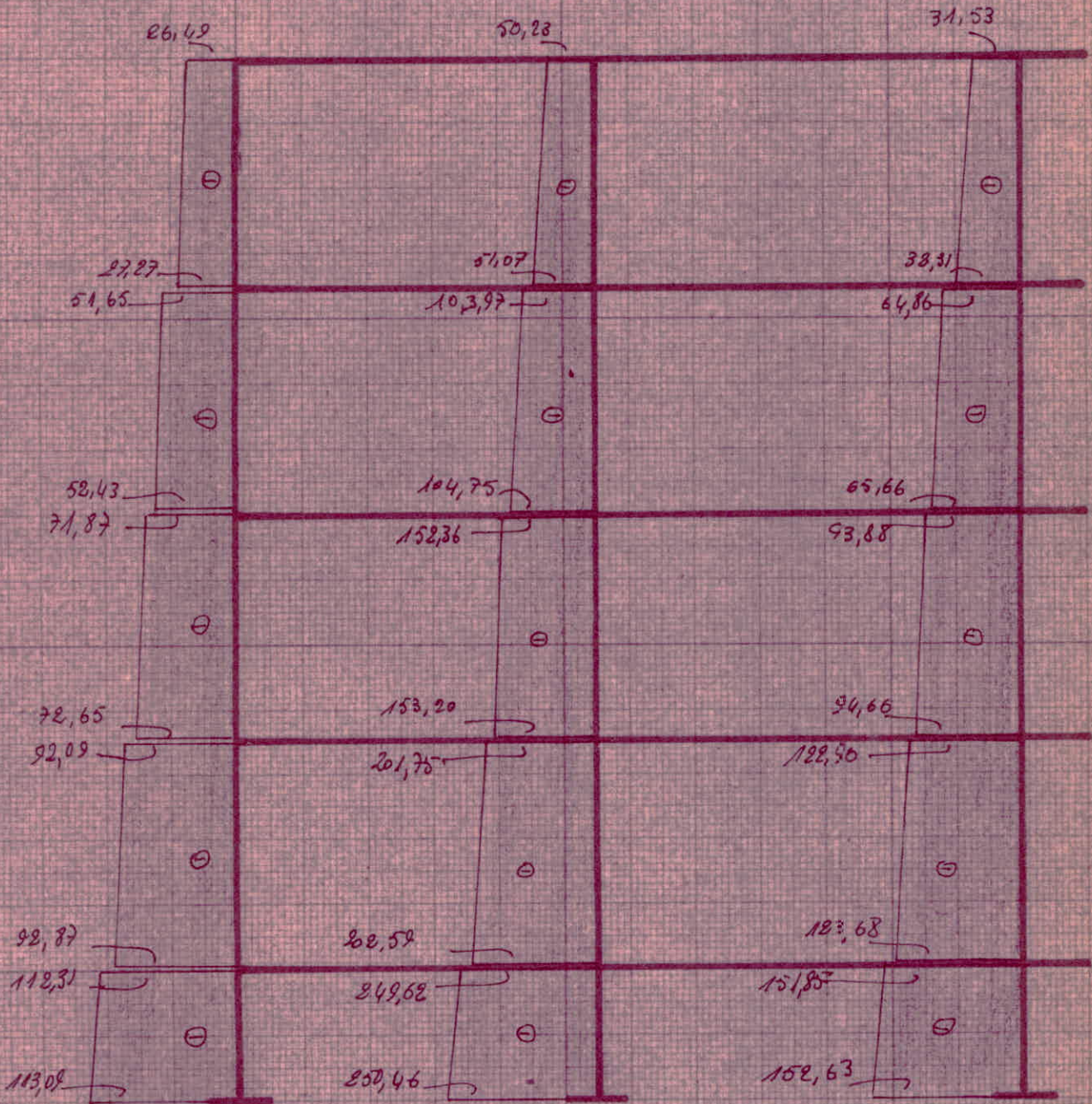
Portique intermédiaire

Effort tranchant du au charges permanentes  
+ Surcharges sur le travée de droite



Portique intermédiaire

Effort normal des montants du aux charges  
permanentes et aux surcharges de la toiture  
de droite.

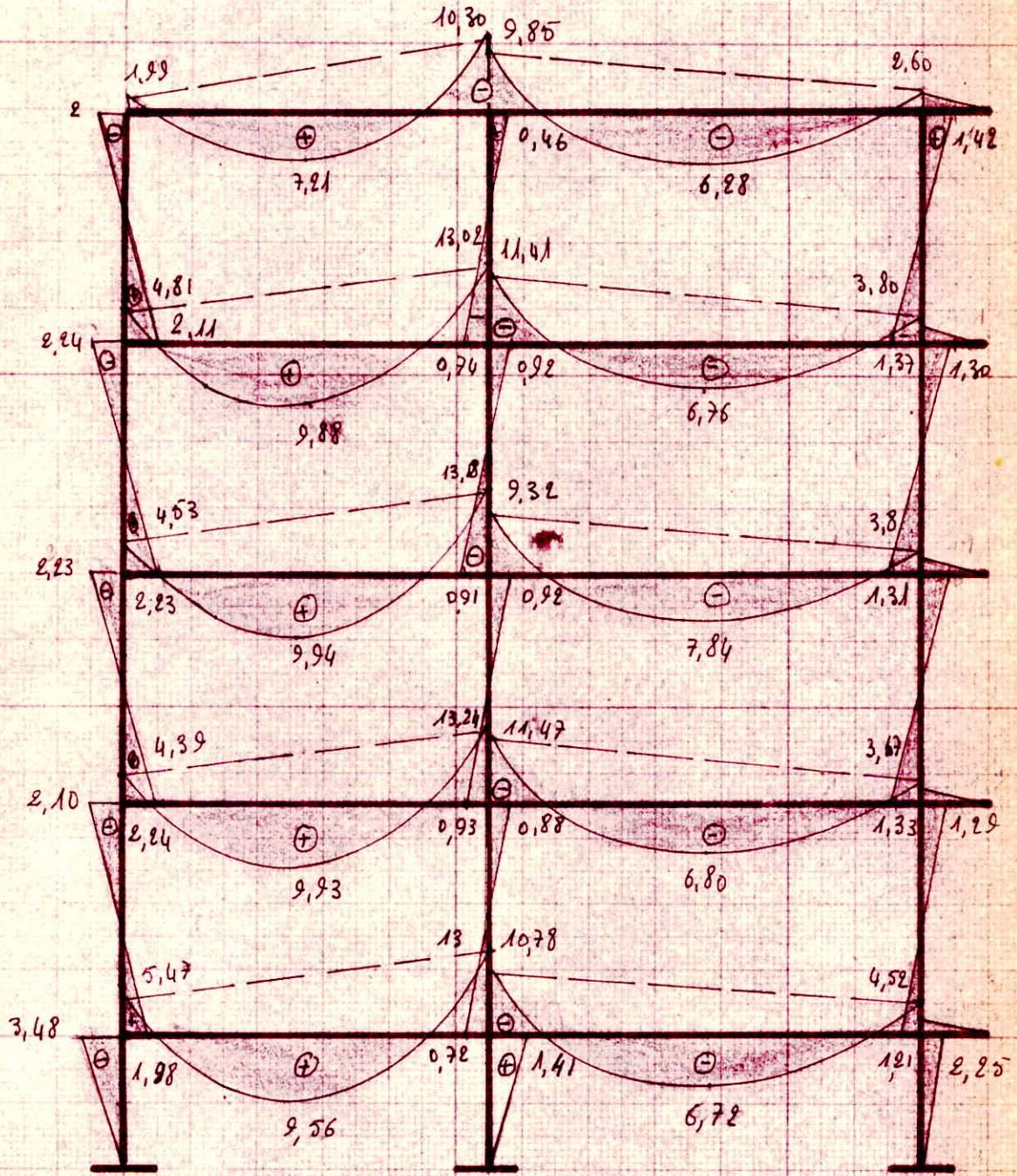


Porteuse intermédiaire

Moments des surcharges permanentes et des  
surcharges sur la travée gauche.

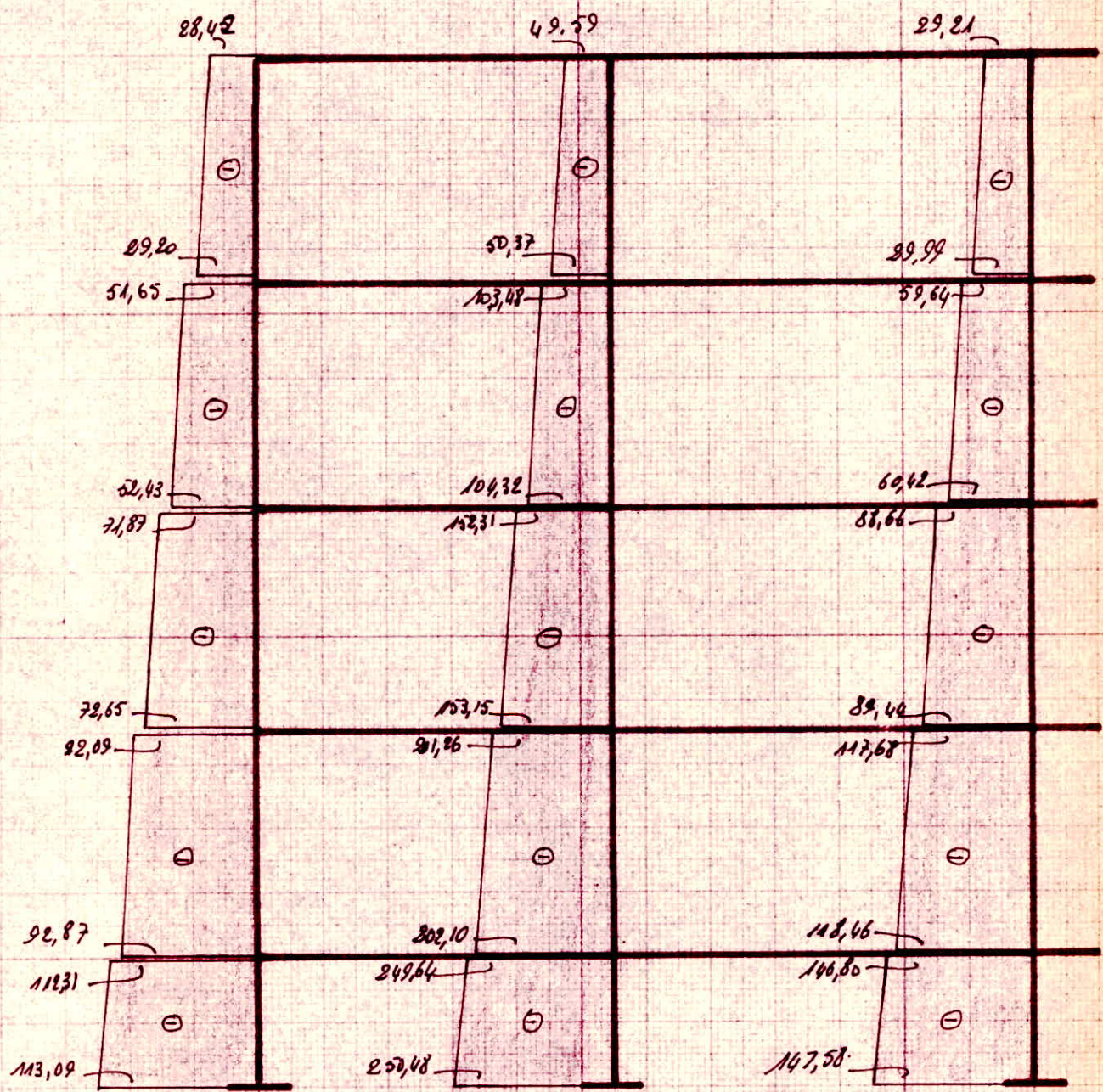
-1,99		-9,85		1,10
1,80	10,30	0,46	2,59	-1,13
2,11	-0,74	-11,41	-1,37	-1,10
2,24	+13,02	0,92	3,80	-1,30
2,30	-0,90	-9,32	-1,31	-1,10
4,52	+13,19	-0,92	3,73	-1,33
2,89	-0,93	-11,46	-1,33	-1,10
2,84	+13,23	0,88	3,67	-1,29
4,39	-0,74	-10,78	-1,21	-1,10
2,12	13,01	-1,4	4,52	-2,25
1,98				
.547				
3,48				

Portique intermédiaire :  
Effets charges permanentes + charges à gauche.

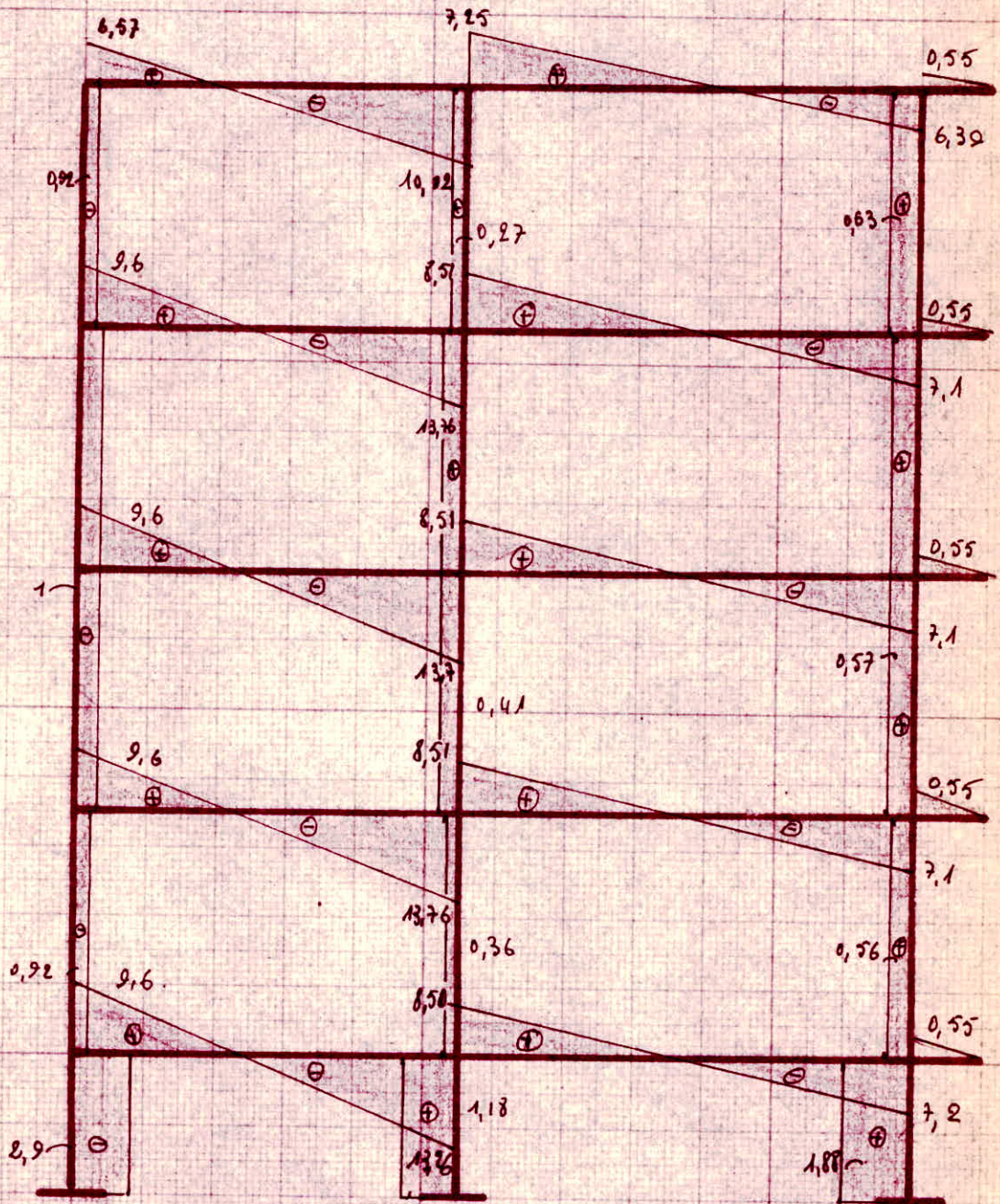


Portique intermédiaire

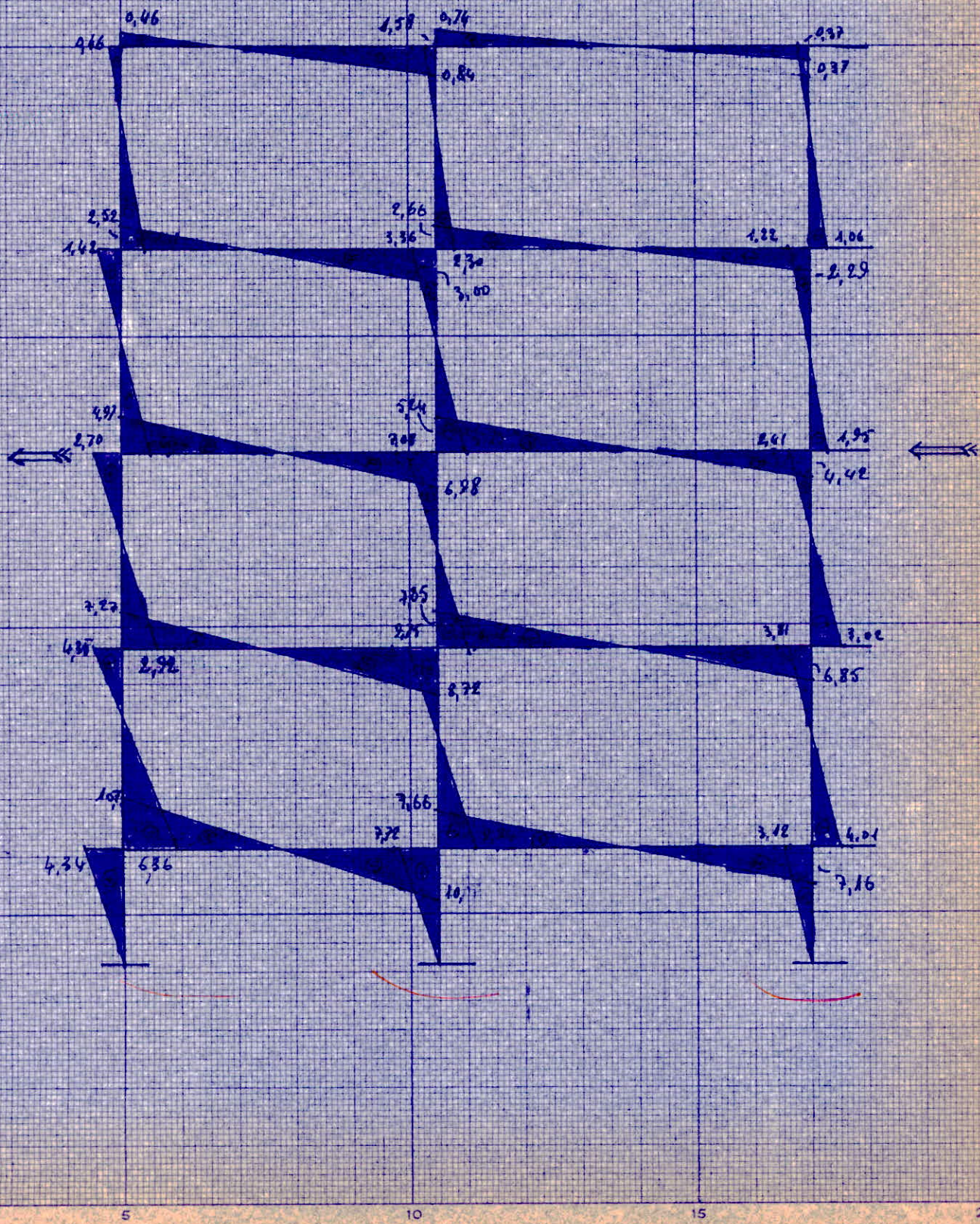
Effort normal des montants  
du aux charges permanentes , et aux surcharges  
sur la travée de gauche .



Portique intermédiaire  
Effort tranchant du aux charges permanentes + surcharge  
sur la travée de gauche.



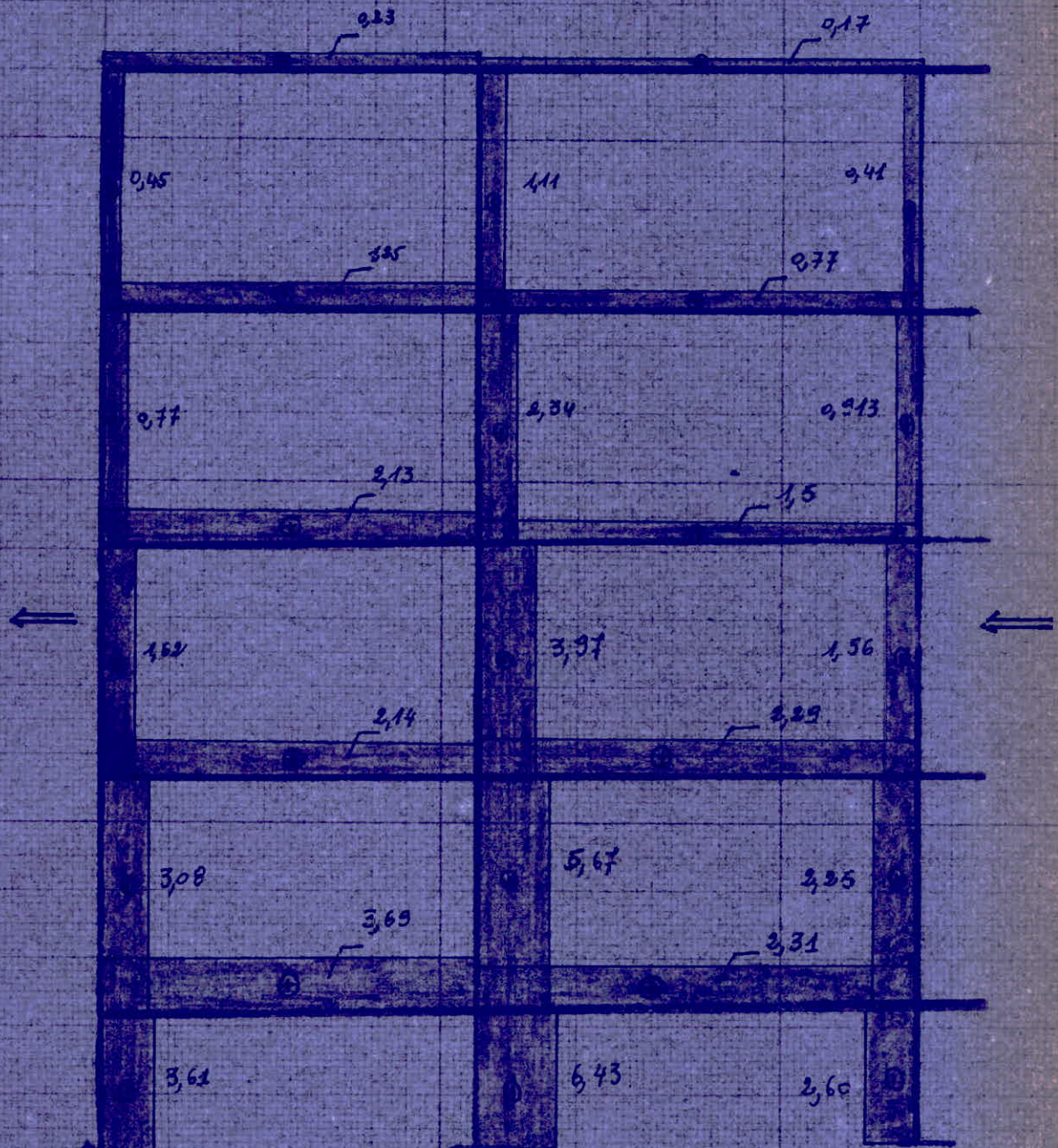
Moments fléchissants dus au vent



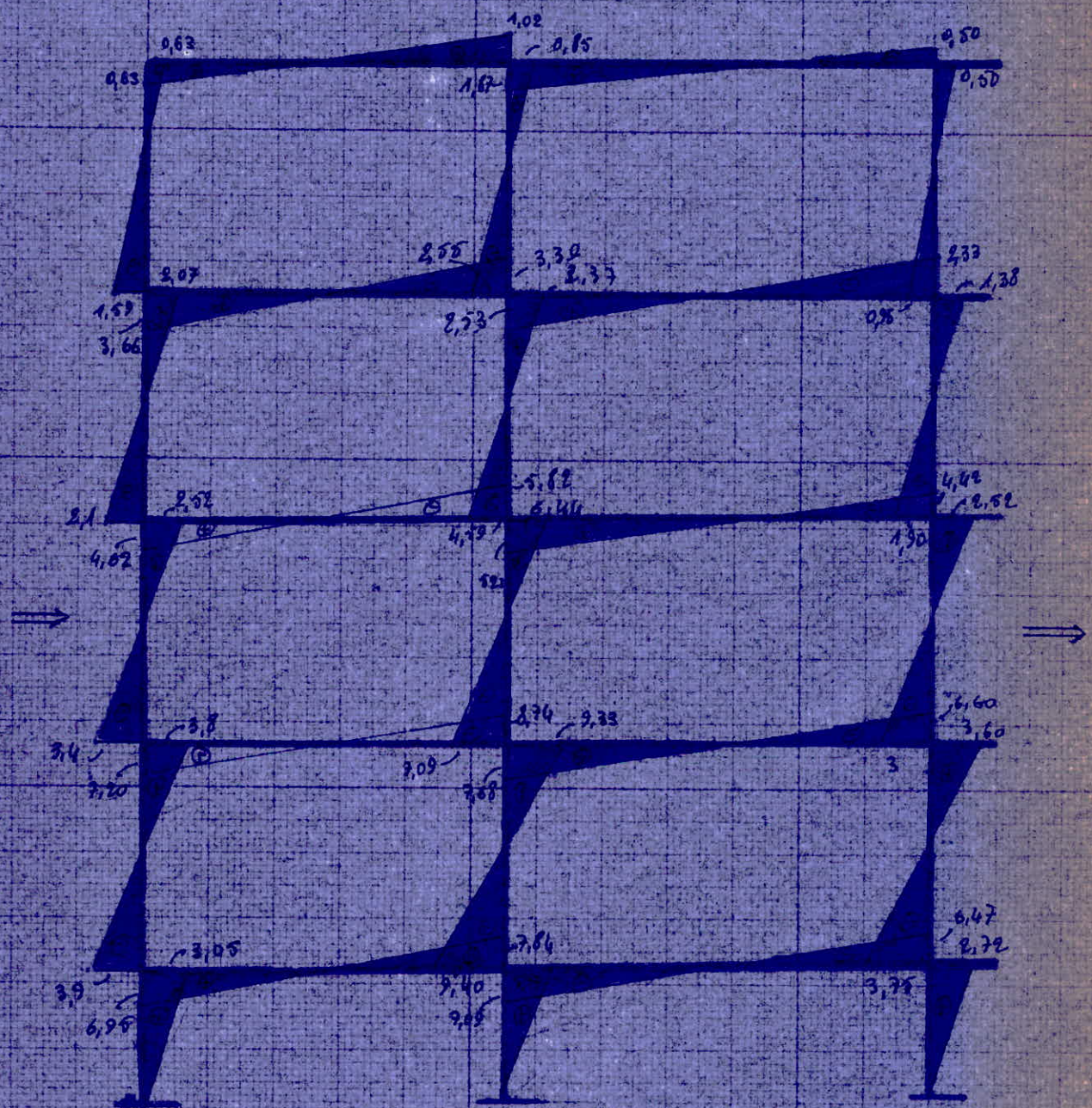
Effort Poreux du vent:

	0,45		0,41
0,23		0,00	0,17
	0,43		0,51
1,48		0,48	0,96
3,61		0,43	2,44
5,15		0,66	3,93
9,44		1,18	6,24

Effort tranchant au vent

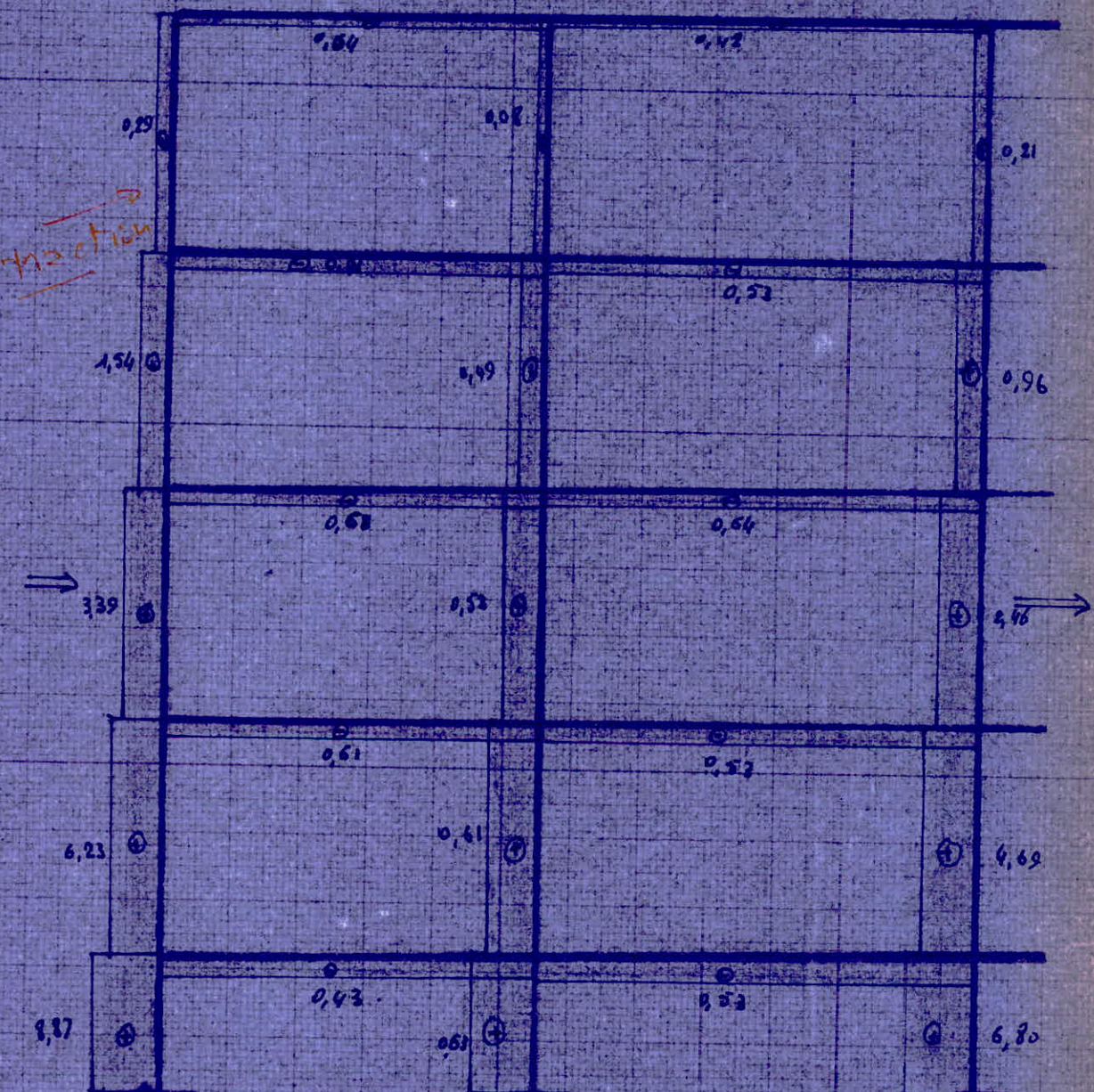


Moments fléchissants dus au vent.

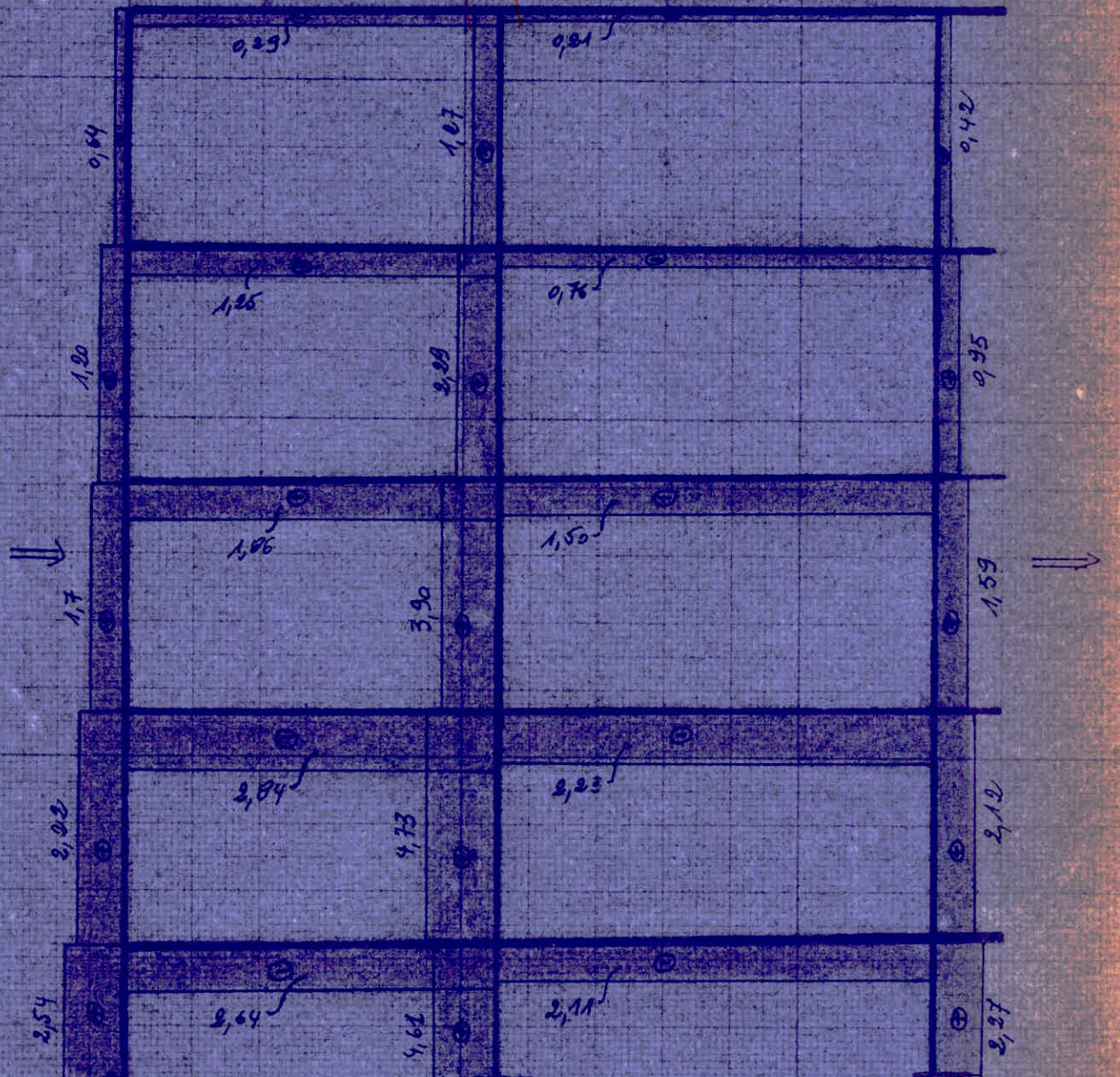


Effet Ponval du au vent

← puis ↑



Effort tranchant du ouest



## Calcul des portiques

### I- Calcul des armatures des traverses

L'effort normal dans les traverses sera négligé, nous calculerons ces traverses en flexion simple.

Le moment pris en compte, est obtenu en combinant : l'effet du vent, des charges et des surcharges de telle sorte à obtenir la valeur la plus défavorable.

Ce qui nous amène à établir le tableau suivant.

## Traverse niveau : 1

	M	$\mu'$	k	$\alpha$	$\omega'$	A	C <sub>b</sub>	Nb de barres
Travee de droite	9,45	0,0519	37,4	0,2963	0,383	6,549	74,866	6 HA 12
Appui de droite	5,2	0,0285	53,5	0,2190	0,205	3,505	52,336	3 HA 14
Appui intermediaire	12,24	0,0671	34,9	0,3198	0,501	8,567	87,774	6 HA 14
Travee de gauche	7,21	0,0395	44,0	0,2542	0,289	4,941	63,636	5 HA 12
Appui de gauche	1,99	0,6109	92,0	0,1402	0,0762	1,303	30,434	3 HA 10

Traverse niveau : 2

	M	$\mu'$	k	$\alpha$	$w'$	A	$\sigma_b$	Nb de barres
Travée de droite	12,2	0,0669	31,9	0,3198	0,501	2,567	87,774	6HA14
Appui de droite	10,19	0,0559	35,6	0,2964	0,416	7,113	78,651	3HA16
Appui intermédiaire	16,7	0,0916	26,2	0,3641	0,695	11,884	106,870	6HA16
Travée de gauche	9,30	0,0510	37,8	0,2841	0,376	6,429	74,074	6HA12
Appui de gauche	4,81	0,0264	55,5	0,2128	0,192	3,283	50,450	3HA12

## Traverse niveau : 3

	M	$\mu'$	k	$\alpha$	$w'$	A	$\sigma_b$	Nb de barres
Travée de droite	12,2	0,0669	31,9	0,3198	0,501	8,567	87,774	6HA14
Appui de droite	12,28	0,0674	31,8	0,3205	0,504	8,618	88,050	3HA16+3HA12
Appui intermédiaire	16,86	0,0925	26,0	0,3659	0,704	12,038	107,692	6HA16
Travée de gauche	9,88	0,0542	36,2	0,2930	0,405	6,925	77,348	5HA14
Appui de gauche	4,53	0,0248	57,5	0,2069	0,180	3,078	48,695	3HA12

Traverse niveau : 4

	M	$\mu'$	k	$\alpha$	$w'$	A	$\sigma'_b$	Nb de barres
Travée de droite.	12,2	0,069	31,9	0,3198	0,501	8,567	87,774	6 HA14
Appui de droite	14,46	0,0793	28,7	0,3432	0,598	10,225	97,560	3 HA16 + 3 HA14
Appui intermédiaire	16,9	0,0927	25,9	0,3668	0,709	12,123	108,108	6 HA16
Travée de gauche	9,94	0,0545	36,2	0,2930	0,405	6,925	77,348	5 HA14
Appui de gauche	4,39	0,0241	58,5	0,2041	0,175	2,992	47,863	3 HA12

Traverse niveau : 5

	M	$\mu'$	k	$\alpha$	$\omega'$	A	$\sigma_b$	Nb de barres
Travée de droite	12,25	0,0672	31,9	0,3198	0,501	8,567	87,774	6HA14
Appui de droite	15,477	0,0849	27,5	0,3529	0,642	10,978	101,818	6HA16
Appui intermédiaire	16,3	0,0894	26,6	0,3606	0,678	11,593	105,263	3HA16
Travée de gauche	9,56	0,0524	37,2	0,2874	0,386	6,600	75,268	6HA12
Appui de gauche	5,47	0,0300	51,5	0,2256	0,219	3,744	54,368	3HA14

Etudes des Poteaux  
Calcul des armatures.

Les poteaux sont calculés en flexion composite.  
Les moments et les efforts permanents pris en compte, sont obtenus en combinant les effets du vent, des charges permanentes, et des surcharges afin d'obtenir la valeur la plus défavorable.

*quel effet*

Le cas de charges le plus défavorable pour le calcul des montants de droite, est obtenu en combinant l'effet du vent de gauche à droite, la charge permanente sur la travée de gauche, et la charge permanente + surcharge sur la travée de droite.

Pour le calcul des armatures longitudinales des montants de gauche, nous combinons l'effet du vent de droite à gauche, les charges permanentes sur la travée de droite et les charges + surcharges sur la travée de gauche. L'effet le plus défavorable pour le calcul des armatures longitudinales des montants intérieurs est obtenu en combinant l'effet de charges permanentes et les surcharges sur les deux travées.

Pour calculer l'excéntricité de la charge

$$e = \frac{M}{N}$$

Si  $e \geq \frac{h_r}{6}$  le poteau est partiellement comprimé.  
Le calcul de la section d'armature sera effectué par la méthode du  $\Delta M$ .

$$\text{On calcule } H_1 = H_0 + q \cdot N$$

$q$  étant la distance du centre de gravité de la section homogénéisée à celui des armatures considérées.

Il aura et le béton travailleront à leur contrainte admissible  $\bar{\sigma}_b = 135$  bars et  $\bar{\sigma}_a = 2800$  bars.

$$\text{On calcule } H_p = \mu' \bar{\sigma}_b \times b h^2.$$

$$\text{avec } h = \frac{15}{m} \frac{\bar{\sigma}_a}{\bar{\sigma}_b} \Rightarrow \text{on tire } \mu'.$$

$$\Delta M = H - H_0 \quad A'_1 = \frac{\Delta M}{\bar{\sigma}_a \cdot 3} \quad \text{section d'armature comprimée}$$

$$\bar{\sigma}'_a = \frac{M \bar{\sigma}'_b (\alpha h - \delta)}{\alpha h}$$

$$A'_1 = \frac{\tilde{w} b h}{100} + \frac{\Delta M}{\bar{\sigma}'_a \times 3}$$

$$\text{La section d'armature tendue est } A = A'_1 - \frac{N}{\bar{\sigma}_a}$$

Si  $\frac{h_r}{6} > e$  la section est entièrement comprimée  
on devra tirer  $\tilde{w}'_2 = 0,004$  ou tirer  $k$  et  $c$ ,  
de telle façon que

$$\alpha'_1 = \frac{N}{A} \left( k_1 + \frac{\tilde{w}'_2 c}{h} \right) \leq \bar{\sigma}_b$$

$$A'_1 = \tilde{w}'_1 b h$$

$$A'_2 = \tilde{w}'_2 b h$$

Si  $\frac{c}{h_r} < \frac{1}{6}$  on peut considérer les armatures symétriques

$$\text{du calcul } g = \frac{\delta'_b \cdot b \cdot h_r}{N}$$

$$\beta = \frac{6}{h_r} \cdot c$$

$$C = 0,27 (1 - 2\delta)^2 g =$$

$$D = 0,30 (\beta - \beta) - 0,90 (1 - \beta) (1 - 2\delta)^2 \cdot$$

$$E = \beta - 1 - \beta \cdot$$

$$\tilde{\omega}'_1 = \tilde{\omega}'_2 = \frac{-D \pm \sqrt{D^2 - 4CE}}{2C}$$

$$A'_1 = A'_2 = \tilde{\omega} \frac{bh}{100}$$

### Exemple de Calcul.

#### 1) Section partiellement comprimée.

$$M = 31,7 \text{ T} \quad M = 3,13 \text{ t.m.}$$

$$f_0 = 3,13 + 31,7 \times 0,145 = 7,73 \text{ t.m.}$$

$$\tilde{\delta}'_b = \delta'_b = 135 \text{ bars} \quad \tilde{\delta}'_a = 2800 \text{ bars.}$$

$$k = \frac{2800}{135} = 20,24 \quad \Rightarrow \alpha = 0,4249 \quad \mu = 0,1348 \quad \tilde{\omega}' = 1,046$$

$$y_1 = \alpha I_n = 0,4249 \times 32 = 13,6 \text{ cm.}$$

$$\delta'_a = \frac{15 (13,6 - 3) 135}{13,6} = 1533 < 2800.$$

$$M_0 = 0,1348 \times 135 \times 35 \times 32^2 = 6522,17 \text{ kg.cm.}$$

$$\Delta M = 773000 - 6522,17 = 707783 \text{ kg.cm.}$$

$$A'_1 = \frac{120783}{1533 \times 32} = 946 \text{ cm}^2$$

$$A_1 = \frac{1,046 \times 35 \times 32}{100} + \frac{120783}{2800 \times 32} = 13,06 \text{ cm}^2$$

$$A'_1 = 246 \text{ cm}^2 \quad A = 13,06 - \frac{31700}{2800} = 1,74 \text{ cm}^2$$

2) Section totalement comprimée  $N = 96320 \text{ kg}$   $H = 542000 \text{ kg cm}$

On peut fixe  $\tilde{\omega}'_2 = 0,004$ .  $\Rightarrow$  tableau chamon p 238

$$K_1 = 0,787 \quad C_1 = 3,872 \quad \tilde{\omega}'_1 = 0,008$$

$$\delta'_1 = \frac{96320}{35 \times 35} \left( 0,787 + \frac{7,2 \times 3,872}{35} \right) = 131 < 135$$

$$\delta = \frac{0,03}{0,35} = 0,072$$

$$A'_1 = 35^2 \times 0,008 = 9,80 \text{ cm}^2$$

$$A'_2 = 0,004 \times 35^2 = 4,9 \text{ cm}^2$$

3) Formeuse symétrique

$$H = 1,78 \quad N = 53,09$$

$$\frac{H}{N} = e = 3,35 \Rightarrow \frac{e}{h_f} = \frac{3,35}{45} < \frac{1}{6}$$

Les armatures sont symétriques

$$\rho = \frac{\alpha'_b \cdot l_b \cdot h_f}{N} = \frac{135 \times 30 \times 45}{53090} = 3,54$$

$$\beta = \frac{6}{l_{hf}} \cdot e = \frac{6}{45} \cdot 3,35 = 0,45$$

$$c = 0,87 (1 - 2 \times 0,1)^2 g = 0,87 (1 - 0,8)^2 3,54 = 0,61$$

$$d = 0,30 (g - \beta) - 0,90 (1 - g) (1 - \delta)^2 = 0,39$$

$$\epsilon = g - 1 - \beta = 0,09$$

$$\tilde{\omega} = \frac{-D \pm \sqrt{D^2 - 4CE}}{2C} = \frac{-2,39 \pm \sqrt{2,39^2 - 4 \cdot 0,61 \times 2,09}}{2 \times 0,61} = -1,32 \angle 0$$

on prendra le % minimal.

$$g' \ell = \frac{1,95}{1000} \times 0,02 \cdot 0,03 \cdot \frac{8' m}{8' b}$$

$$A' = 45 \times 30 \times 1,4 \left( 1 + \frac{p_c}{40-2c} \right) \left( 1 + \frac{2160}{4200} \right) \frac{8' m}{67,5}$$

$$8' m = \frac{53,09 \cdot 10^3}{45 \times 30} = 40 \text{ kg/cm}^2$$

$$A' = \frac{45 \times 30}{1000} \times 1,4 \left( 1 + \frac{0,7 \times 3,47}{140 \cdot 6} \right) (1,51) \frac{40}{67,5} = 4,75 \text{ cm}^2$$

Montants de droite

Niveau	M	N	$e = M/N$	$\Delta t/6$	Sollicitation	Avec $A_1$	nb de banes	Avec $A'_1$	nb de banes
1	3,13	31,7	9,87	5,833.	Pièce pour comprimée	2,46	2HA14	1,74	2HA12
2	3,74	32,48	11,5	"	"	3,93	3HA14	1,75	3HA12
3	4,29	65,8	6,52	"	"	14,8	5HA16	4,63	3HA12
4	4,79	66,6	7,19	"	"	15,2	5HA16	4,65	5HA12
5	5,42	93,32	5,63	"	Pièces en comprimées	9,80	5HA20	4,9	5HA12
6	5,44	97,10	5,60	"	"	10,02	5HA20	4,9	5HA12
7	6,30	126,83	4,97	"	"	14,7	5HA20	4,9	5HA12
8	6,27	127,61	4,91	"	"	15,2	5HA20	4,9	5HA12
9	6,05	158,09	3,83	"	"	15,62	5HA20	4,9	5HA12

Montants de l'acier

Niveau	M	N	$\epsilon = M/N$	$\Delta t\%$	Sollicitation	$A_1$ ou $A'_1$	Mode base	$A_2$ ou $A'_2$	Mode bases
1	1,78	53,09	3,35	7,6	section anti-comprimee	4,75	3HA16	6,75	3HA16
2	2,08	53,87	3,86	"	"	"	"	"	"
3	2,33	109,52	2,12	"	"	"	"	"	"
4	2,80	110,31	2	"	"	"	"	"	"
5	2,21	158,31	1,44	"	"	"	"	"	"
6	2,31	158,86	1,46	"	"	"	"	"	"
7	2,11	206,86	1,03	"	"	"	"	"	"
8	1,8	207,45	0,86	"	"	"	"	"	"
9	3,59	255,72	1,4	"	"	"	"	"	"

Montants de gauche.

Niveau	M	N	C = M/N	$\Delta \gamma / \gamma$	utilisation	H en R <sub>1</sub>	Alpha bane	Beta R <sub>2</sub>	Alpha bane
1	2,46	28,65	8,58	± 1,83%	Section parallèles comprimées	0,80	2HA12	1,3	2HA12
2	2,22	39,43	7,54	"	"	0,98	2HA12	1,37	2HA12
3	3,66	53,13	6,89	"	"	10,0	6HA16	4,58	3HA14
4	3,74	53,91	6,93	"	"	12,85	6HA16	4,59	3HA14
5	4,93	75,48	6,53	"	"	14,4	5HA20	6,03	3HA16
6	5,16	76,26	6,77	"	"	14,6	5HA20	6,03	3HA16
7	6,45	97,84	6,59	"	"	18,85	6HA20	8,78	3HA20
8	6,34	98,62	6,46	"	"	18,6	6 HA20	8,79	3HA20
9	7,82	121,75	6,48	"	"	21,7	5HA25	10,78	3HA26 + 2HA10

Etude de l'effort tranchant.

Premier cas:

$$T = T \text{ vent} + T \text{ charges} + S \text{ charges}.$$

$$1,33 + 0,42 = 1,75 t.$$

$$S = \frac{7}{8} \cdot 32 = 29 \text{ cm}.$$

$$\bar{\sigma}_b = \frac{T}{b \cdot S} = \frac{1750}{35 \times 29} = 1,79 < (4,5 - \frac{\delta'_{b0}}{\delta'_{b0}}) \quad \bar{\sigma}_b = 14,5 \text{ kg/cm}^2.$$

On adoptera du  $\phi 6$ . Adx.  $\phi 6 \Rightarrow S = 0,88 \text{ cm}^2$ .

$$t \leq \frac{0,28 \cdot 35 \cdot \delta_{ar}}{1750} =$$

$$\rho_a = 1 - \frac{1,79}{9 \cdot 0,88} = 966 > \frac{2}{3}.$$

$$\delta_{ar} = \rho_a \cdot \delta_{en} = 0,966 \cdot 2400 = 2318 \text{ kg/cm}^2.$$

$$t \leq \frac{0,28 \times 35 \times 2318}{1750} = 12,9 \text{ cm}.$$

$$\bar{E} = 32 \left( 1 - 0,3 \cdot \frac{1,79}{0,88} \right) = 29 \text{ cm} > 0,8 \times 32 = 6,4 \text{ cm}.$$

$$\Rightarrow t = 12 \text{ cm}.$$

Foutants	1.2	2.3	3.4	4.5	5.6
de droite	$t = 22 \text{ cm}$	$t = 17 \text{ cm}$	$t = 14 \text{ cm}$	$t = 12 \text{ cm}$	$t = 8 \text{ cm}$
intervalle	86	80	75	75	71
de gauche	25	19	15	14	9

# FONDA TIONS

BY JAMES R. COOPER

ILLUSTRATED BY HENRY DE WOLF FLEMING

WITH A PRACTICAL APPENDIX

BY JAMES R. COOPER

ILLUSTRATED BY HENRY DE WOLF FLEMING

WITH A PRACTICAL APPENDIX

BY JAMES R. COOPER

ILLUSTRATED BY HENRY DE WOLF FLEMING

WITH A PRACTICAL APPENDIX

BY JAMES R. COOPER

ILLUSTRATED BY HENRY DE WOLF FLEMING

WITH A PRACTICAL APPENDIX

BY JAMES R. COOPER

ILLUSTRATED BY HENRY DE WOLF FLEMING

WITH A PRACTICAL APPENDIX

BY JAMES R. COOPER

ILLUSTRATED BY HENRY DE WOLF FLEMING

WITH A PRACTICAL APPENDIX

**CALCUL**

**DES**

**ESCALIERS**

## Escaliers

- Le système constructif des escaliers est celui d'un poteau encarté, avec des moments isolés, dues aux volées et au palier, et des réactions verticales, dues au poids propre, aux volées et paliers.

L'escalier comporte 3 volées d'un côté et 3 volées + 5 marches de l'autre, encartées à la pile centrale.

Les paliers reposent sur une console encartée aussi si l'angle

- Le calcul des escaliers comporte :

Le calcul des marches.

- Le calcul des paliers.

- Le calcul des consoles des paliers

- Le calcul de la pile.

- Le calcul des fondations.

### I. Calcul des marches :

Pour avons adoptés le type de marche biseautée, coulées sur place, de 8cm d'épaisseur

#### 1) Estimation des charges :

Poids propre :

$$(15,9 + 32) \cdot 0,08 \times 25 \times 1,2 = 115 \text{ kg}$$

Révêtement :

## Calcul des fondations : semelle de droite.

1) Nous avons le cas d'une poutre isolée soumise à un effort normal de 140 t et un moment de 7 t.m.

Le sol travaille 8 kg/cm<sup>2</sup>.

Gravatrices Ton, béton dose à 350 kg/m<sup>3</sup>, g<sub>a</sub> = 2800.

### 2) Dimensionnement

Afin de réaliser l'équilibre statique on suppose une variation trapézoïdale de la contrainte.

$$\sigma \geq \sigma_{\text{max}} = \frac{N}{S} + \frac{Mv}{I}$$

$$S = \frac{3}{4} A^2 \quad I = \frac{3}{4} A \cdot \frac{A^3}{12} \quad v = \frac{A}{2}$$

$$\sigma \geq , \frac{140000}{S} + \frac{700000}{\frac{3}{4} \frac{A^4}{12}} \cdot \frac{A}{2}$$

$$\Rightarrow A^3 - \frac{560000}{24} \cdot A - \frac{16800000}{24} = 0 \quad \Rightarrow A = 170 \text{ cm} \quad B = 188 \text{ cm}$$

La condition de non vérification de l'effort tranchant s'écrit

$$h \geq \frac{A-a}{4} \quad \text{soit} \quad \frac{170-40}{4} = 32,5 \text{ cm}$$

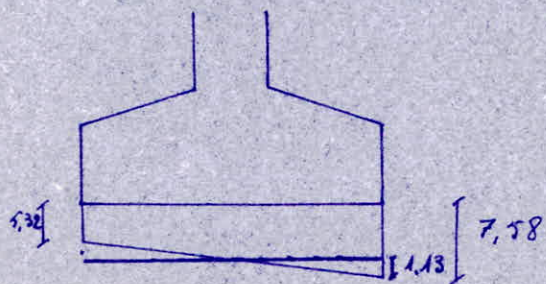
On prendra h = 34 cm      h<sub>p</sub> = 37 cm.

$$\sigma_s = \frac{P}{S} \pm \frac{Mv}{I}$$

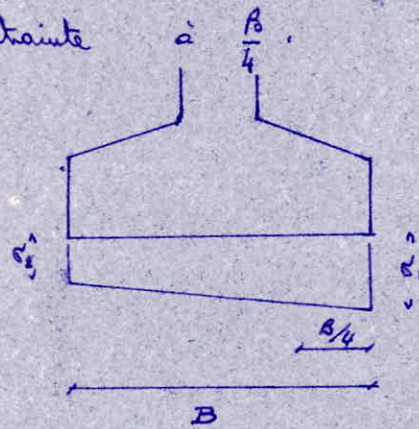
### 3) Calcul des gravatrices par la méthode des bieles.

$$\zeta_{\text{sol}} = \frac{160000}{\frac{3}{4} \cdot 170^2} \pm \frac{700000 \times 6}{\frac{3}{4} \cdot 170^3} = \pm 1,13 \pm 6,45$$

$$\zeta_{\text{sol max}} = 7,58 \text{ kg/cm}^2 \quad \zeta_{\text{sol min.}} = 5,38 \text{ kg/cm}^2$$



La semelle est étudiée sous une contrainte fictive où la pression supposée uniformément répartie égal à  $\sigma$ , valeur de la contrainte



$$\sigma = \frac{3\sigma_1 + \sigma_2}{4} = \frac{3 \times 7,58 + 5,38}{4} = 7,01 \text{ kg/cm}^2$$

$$Q' = 7,01 \times \frac{3}{4} \cdot 170^2 = 151941 \text{ kg}$$

$$F = \frac{152000 \times (170 - 40)}{8 \times 34} = 76000 \text{ kg}$$

$$A = \frac{76000}{2880} = 27,14 \text{ cm}^2 \quad \text{3 HA 16 poteau}$$

$$27,14 - 6,03 = 21,11 \text{ cm}^2 \quad \text{soit 11 HA 16.}$$

Dans l'autre sens

$$A = \frac{50860}{2880} = 18,16 \text{ cm}^2 \quad \text{soit 10 HA 16.}$$

### Calcul du puits

Le taux de travail du puits est  $\frac{1}{6}$  du gros béton  
si le puits est en gros béton dosé à 250 kg/m<sup>3</sup>.

$$\delta_{2,8} = \frac{200}{6} = 50 \text{ kg/cm}^2.$$

Le diamètre d sera calculé.

$$\frac{4P}{\pi d^2} < R \Rightarrow d > 2 \sqrt{\frac{P}{\pi R}} \text{ soit } 2 \sqrt{\frac{140000}{3,14 \times 8}}$$

$$d > 1,50 \text{ m} \quad \text{Puis prenons } d = 1,80 \text{ m.}$$

### Scelle intermédiaire .

1) Scelle soumise à un effort normal de 230 T.

Caractéristique du sol. 8 kg/cm<sup>2</sup>.

Béton de scelle doré à 350 kg/m<sup>3</sup>.

Aire Tot.

2) Dimensionnement. poteau 30 x 45

$$\frac{\frac{230000}{\ell}}{\frac{\ell}{3} \cdot A^2} = 8 \Rightarrow A = 9,07 \text{ m} \quad B = 1,38 \text{ m}$$

Pour prendre A = 2,10 m. B = 1,38 m

$$h \geq \frac{9,10 - 40}{4} = 42,50$$

Pour prendre h = 43 cm h<sub>p</sub> = 47 cm .

3) Calcul des armatures .

Méthode des bielles .

$$F = \frac{Q(A-a)}{8h} = \frac{170 \times 230}{8 \times 43} = 113 \text{ T} .$$

$$A' = \frac{113000}{2800} = 40 \text{ cm}^2 - 6,03 = 36 \text{ cm}^2 .$$

Pour l'acier 12 HA 20 .

Dans l'autre sens :

$$F = \frac{230 \cdot (108)}{8 \times 43} = 78 \text{ T} .$$

$$A' = \frac{78000}{2800} = 28 \text{ cm}^2 .$$

Pour l'acier 13 HA 16 .

Calcul du puits  $\delta > 1,90 \text{ m}$  .

Scelle de gauche.

1) La poulie est soumise à un effort de 103 T et un moment de 6 f.m.

Le pol travaille à 8 kg/cm<sup>2</sup>

fracture Tor. Résistance à 350 kg / cm<sup>2</sup>

2) Dimensionnement:

Afin de réaliser l'équilibre statique on suppose une variation trapézoïdale de la contrainte

$$\delta \geq \delta_{\max} = \frac{N}{S} + \frac{Mv}{J}$$

$$\delta \geq \frac{\frac{103}{S}}{\frac{3}{4}} + \frac{\frac{600000}{A^4}}{\frac{12}{2}} \cdot A$$

$$\Rightarrow A^3 - \frac{412000}{24} A - \frac{14400000}{24} = 0.$$

$$A = 145 \text{ cm} \quad B = 110 \text{ cm}.$$

La condition de poly fragilité

$$l \geq \frac{A-4}{4} \quad \frac{145-40}{4} = 35,1 \text{ cm}.$$

$$l_{fp} = 30 \text{ cm}.$$

3) Calcul des fractures "longitudinales" par la méthode de Bally

$$\delta_{\text{sol}} = \frac{N}{S} \pm \frac{Mv}{J} = \frac{103000}{\frac{3}{4} 145^3} \pm \frac{600000 \times 6}{\frac{3}{4} \cdot 145^3} =$$

$$\delta_1 S = 6,53 + 1,47 = 8 \text{ kg/cm}^2$$

$$\delta_2 S = 6,53 - 1,47 = 5,06 \text{ kg/cm}^2$$

La poulie est étudiée pour une contrainte fictive du pol

Supposée uniformément répartie égale à  $\sigma$ , valeur de la contrainte

$$\sigma = \frac{P}{4}$$

$$\sigma = \frac{3\sigma_1 + \sigma_2}{4} = \frac{3 \times 8 + 5,06}{4} = 8,27 \text{ kg/cm}^2$$

$$Q' = 8,27 \times \frac{3}{4} \cdot 145^2 = 114640 \text{ kg}$$

$$F = \frac{114640 \times (145 - 40)}{8 \times 25,2} = 59710 \text{ kg}$$

$$A = \frac{59710}{2800} = 21,32 - 6,3 = 15,30 \text{ cm}^2 \text{ soit } 10 \text{ HA 14.}$$

Dans l'autre sens.

$$F = \frac{114640 \times (110 - 30)}{8 \times 25,2} = 45500 \text{ kg.}$$

$$A = \frac{45500}{2800} = 16,25 \text{ cm}^2 \text{ soit } 11 \text{ HA 14.}$$

$$\text{Quito : } d^2 > 4 \cdot \frac{P}{\pi R} \text{ soit } 4 \cdot \frac{103000}{3,14 \cdot 88} \text{ soit } 1,50 \text{ m.}$$

## Vérification au flambement.

Vérification au flambement des montants du polygone  
Dans le sens transversal.

Les montants étant encastrés à leurs extrémités, avec  
possibilité de déplacement.

$$l_c - l_o = 347 \text{ cm.}$$

Condition de non vérification du flambement.

$$\frac{l_c}{b} < 14,4 \Rightarrow \frac{347}{40} = 8,675 < 14,4 \text{ vérifié}$$

Dans le sens longitudinal.

$$\frac{l_c}{b} = \frac{347}{30} < 14,4 \text{ vérifié}$$

Il n'y a pas lieu de vérifier le flambement.

$$0,03 \times 2000 \times 1,2 \times 0,32 = 24 \text{ kg}$$

Surchage :

$$400 \times 1,2 \times 0,32 \times 1,2 = 184 \text{ kg.}$$

- charges concentrées

$$0,015 \times 0,015 \times 1,20 \times 7800 = 2,1$$

$$\text{rampe} = 5.$$

Moment des charges réparties

$$(184 + 24 + 115) 0,60 = 193 \text{ kg m}$$

Moment des charges concentrées

$$7,1 \times 1,2 = 9 \text{ " " }$$

Pour considérer une charge concentrée de  $100 \text{ kg/m}^2$  de rampe.

Sur une marche 33 kg.

Moment :

$$33 \times 1,2 = 40 \text{ kg m}$$

Donc le moment total est :

$$193 + 9 + 40 = 242 \text{ kg m.}$$

$$\mu' = \frac{15 \cdot 24200}{2800 \cdot 8 \cdot 14^2} = 0,082$$

$$\tilde{w} = 0,619 \quad \alpha = 0,3480 \quad k = 28,1$$

$$A = \frac{0,619 \times 8 \times 14}{100} = 0,69 \text{ cm}^2 \quad A_{\text{min}} = 0,144 \text{ cm}^2$$

ou marche 1 HA long de 1 m et largeur 2,6 m. (fig. 1).

## II. Calcul des paliers.

- 1) Calcul de la console.

- charges permanentes par le m<sup>2</sup> du palier.

$$0,1 \times (2 \times 1,20 + 0,60) \times 2500 = 750$$

- Poids propre de la console.

$$0,18 \times 0,60 \times 2500 = 270$$

- 8 charges.

$$400 \times 1,2 \times 3m = 1440$$

- Parapet: (charge concentrée)

$$11(0,015 \times 0,015 \times 1,20 \times 7800) = 34.$$

. Parapet (charge répartie) .

$$2(3 \times 0,015^2 \times 1,20 \times 7800) = 13$$

- charge isolée au bout de la console.

$$3 \times 100 = 300$$

- Revêtement

$$0,03 \times 2000 \times 3 = 180$$

charge répartie sur la console :

$$180 + 750 \times 3 + 270 + 1440 + 13 = 4153 \text{ kg/m.l.}$$

Foulement due aux charges réparties :

$$4153 \times \frac{1,20^2}{2}$$

$$= 2990 \text{ kg.m.}$$

Foulement due aux charges concentrées

$$334 \times 1,20$$

$$= 400 \text{ kg.m.}$$

calcul de la dalle du plancher.

Poids de la dalle.

$$0,1 \times 1,8 \times 2500 = 300 \text{ kg/m}^2$$

Surcharge 1

$$480 \times 1,2 = 576$$

Révêtement

$$0,03 \times 9000 \times 1,2 = 72$$

Charge totale répartie

$$300 + 576 + 72 = 948 \text{ kg/m}^2$$

Moments d'œuvre charges réparties.

$$948 \times \frac{1,2}{2} = 568 \text{ kgm}$$

Moment des deux charges concentrées

$$(120 + 25) \times 1,2 = 174 \text{ kg}$$

Moment total

$$174 + 568 = 742 \text{ kgm}$$

$$\mu' = \frac{15 \times 74200}{2800 \times 100 \times 9^2} = 0,049$$

$$\tilde{\omega}' = 0,359 \quad k = 38,8$$

$$A = \frac{0,359 \times 100 \times 9}{100} = 3,23 \text{ cm}^2 \quad \text{pour } 7448 \text{ / m}^2$$

Calcul des armatures:

$$M = \frac{15 \times 339000}{2800 \times 60 \times 21} = 0,0686$$

$$k = 31,5 \times , \quad \alpha = 0,3226 \quad \hat{\omega} = 0,512$$

$$A = 18 \times 60 \times 0,512 = 6,46 \text{ cm}^2 \quad \text{soit } 5H14$$

Effort tranchant:

$$T = 4153 + 300 = 4453 \text{ kg}$$

$$\bar{\sigma}_b = \frac{4153}{60 \times \frac{3}{8} \times 21} = 4,04 \text{ kg/cm}^2$$

La contrainte de traction admissible des armatures transversales

est:  $\bar{\sigma}_{at} = p \alpha \bar{\sigma}_{en}$

$$p_a = 1 - \frac{\bar{\sigma}_b}{9\bar{\sigma}_{at}} = 1 - \frac{4,04}{9 \times 5,8} = 0,9227$$

$$\bar{r}_{at} = \frac{0,9227 \times 18,37 \times 2613}{4453} = \pm 12 \text{ cm}$$

écartement à droite du point d'application de la charge.

Les armatures transversales seront constituées de cadres  $\phi 5$ , et d'étriers  $\phi 5$ , étant donné que  $z$  varie peu sur la longueur de la console, alors que l'effort tranchant est presque constant, égal à  $10 \text{ cm}$ .

Calcul de la pile.

La pile est soumise aux efforts normaux et un certain pb de fléchissement qui sont.

1) Fléchissement de ~~torsion~~ du pâle ~~flexion~~

$$M_r = 1,20 \times 1,20 \times 400 \times 0,60 +$$

$100 \times 1,20 \times 1,20 \times 1,20 - \underline{\text{moment due à la poussée par le parapet: détails}}$

Soir  $M_r = 345 + 172 = 517 \approx 520 \text{ kg.m}$ .

La dimension transversale étant grande, nous ne tiendrons pas compte du moment dans ce sens.

2) Fléchissement du aux voiles préchargeées d'incidence.

$$3,30 \times 400 \times 1,6 \times 0,60 + 3,30 \times 1,6 \times 1,20 \times 100 = 1425 \text{ kg.m}$$

3) Fléchissement du vent.

$$q = (48 + 0,6 h) \text{ kN/ks} \times 3,30 =$$

$$q = (48 + 0,6 \times 11,15) 1,80 \times 1,25 \times 3,30 = 406 \text{ kg/m}^2.$$

Fléchissement du vent.

$$M_v = 406 \cdot 9,45 \left( \frac{7,74 + 11,15}{4} + 1,60 \right) = 22725 \text{ kg.m}$$

D'où le moment total.

$$22725 + 3,5 \cdot 1425 + 7 \cdot 517 = 31331 \text{ kg.m}$$

Effort normal:

1) Réaction des courroies.

$$4453.7 = 31171 \text{ kg}$$

2) Réaction des voiles :

$$3,30 \cdot 333 \cdot \frac{1}{0,32} \cdot 6,5 = 8832 \text{ / kg.}$$

3) Poids propre de la pile :

$$3,30 \times 0,60 \times \left( \frac{7,74 + 11,21}{2} + 1,2 \right) 2800 = 52717 \text{ kg.}$$

Poids total : 106210 kg.

La pile est soumise à un effort normal de 106,21 T et un moment fléchissant de 31135 kg.m

La pile sera étudiée en flexion, composée.

$$\epsilon = \frac{M}{N} = \frac{31,135}{106,21} = 29,3 \Rightarrow \frac{h}{6} = 10$$

La section est partiellement comprimée.

$$f = 31,135 + 52,717 \times 0,27 = 45,37 \text{ tm}$$

$$\sigma_b' = \sigma_b = 135 \text{ bars.}$$

$$\sigma_a' = 2800 \text{ bars.}$$

$$k = \frac{2800}{135} = 20,64 \quad \alpha = 0,4249 \quad \mu' = 0,1348 \quad \tilde{\omega}' = 1,046$$

$$\sigma_a' = \frac{15}{24,88} (24,88 - 3) 135 = 1774 < 2800.$$

$$\Delta M = M - M_0$$

$$M_0 = 0,1348 \times 135 \times 330 \times 53^2 = 195,11 \text{ tm}$$

$$\Delta M = 45,37 - 195 \quad \text{so} \quad \text{"les armatures sont < 0"}$$

On prendra le % minimal d'armatures.

$\delta$  minimal.

$$A = \frac{330 \cdot 60}{1000} \cdot 1,4 \left( 1 + \frac{\theta / 30}{4 \cdot 60 - 6} \right) \times 6' m$$

$$\text{avec } 6' m = \frac{106810}{19800} = 5,31 \text{ bars}$$

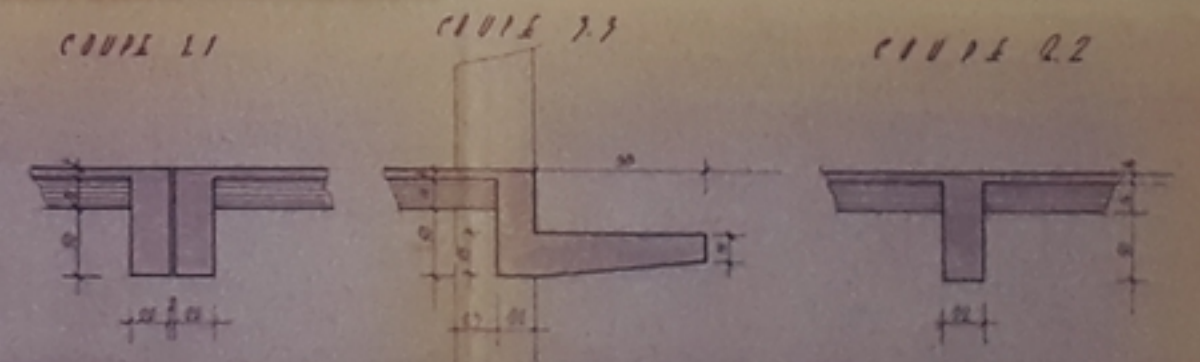
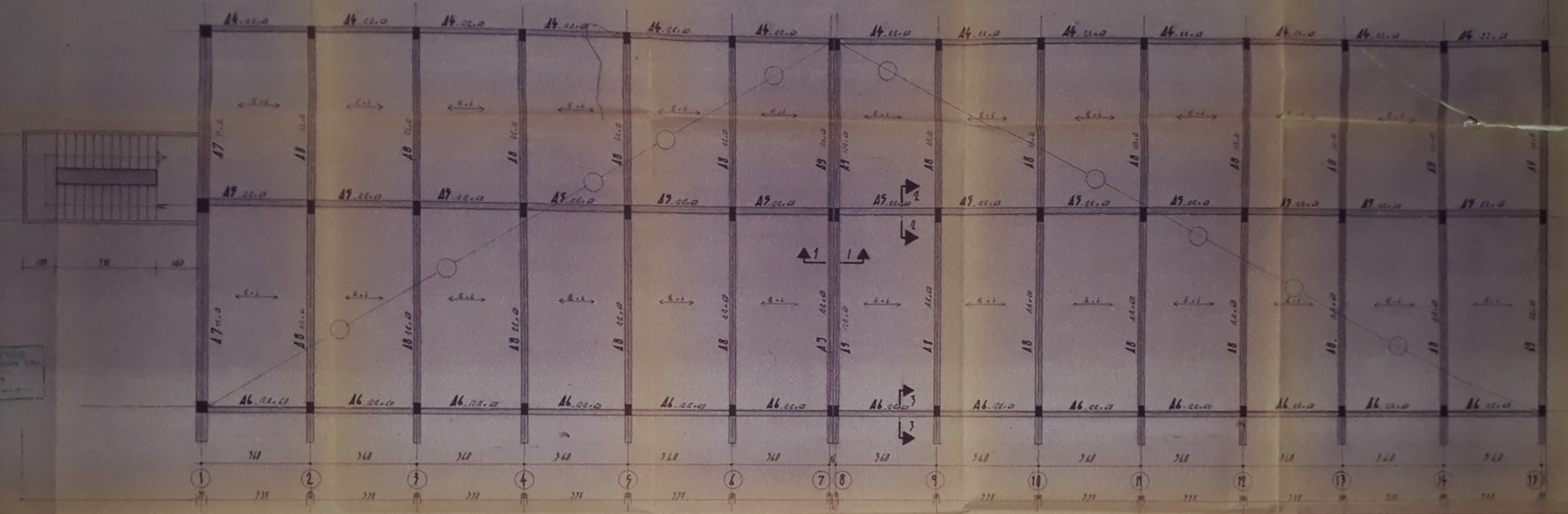
$$A' = 30,39 \text{ cm}^2 \quad 10 \text{ HA 20}$$

caisse  $\phi 6$  espacée de 30 cm.

$$\delta_{\max} = \frac{N}{19800} + \frac{M}{W}$$

$$\frac{106810}{19800} \pm \frac{6.31331}{330 \cdot 60^2} \quad \text{vérifié.}$$

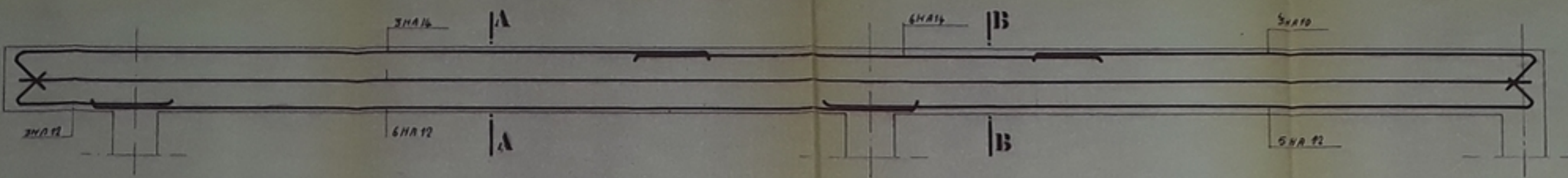
Pour adopterons une caisse en gros bêton rectangulaire de  $4,30 \times 90$  cm. pour les excavations.



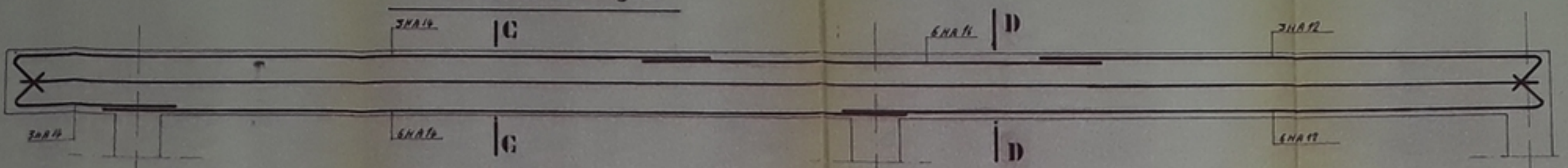
PROJET DE FIN D'ETUDES  
HOPITAL DE OUARGLA  
MEDECINE GENERALE

PROJET PAR M. SABOUR  
DIREC. PAR M. MELKI  
ETUDE PAR M. BOUAFIA

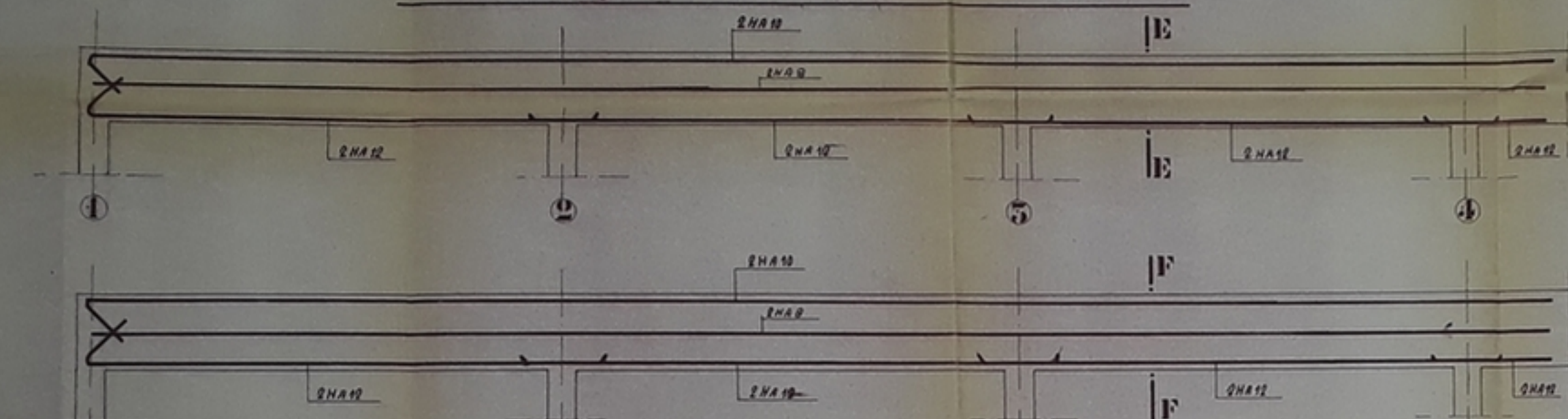
- Traverses du dernier niveau -



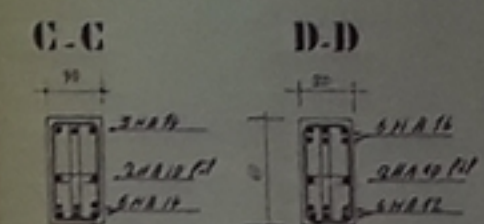
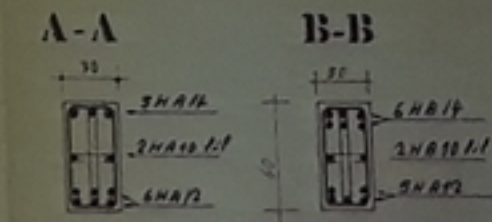
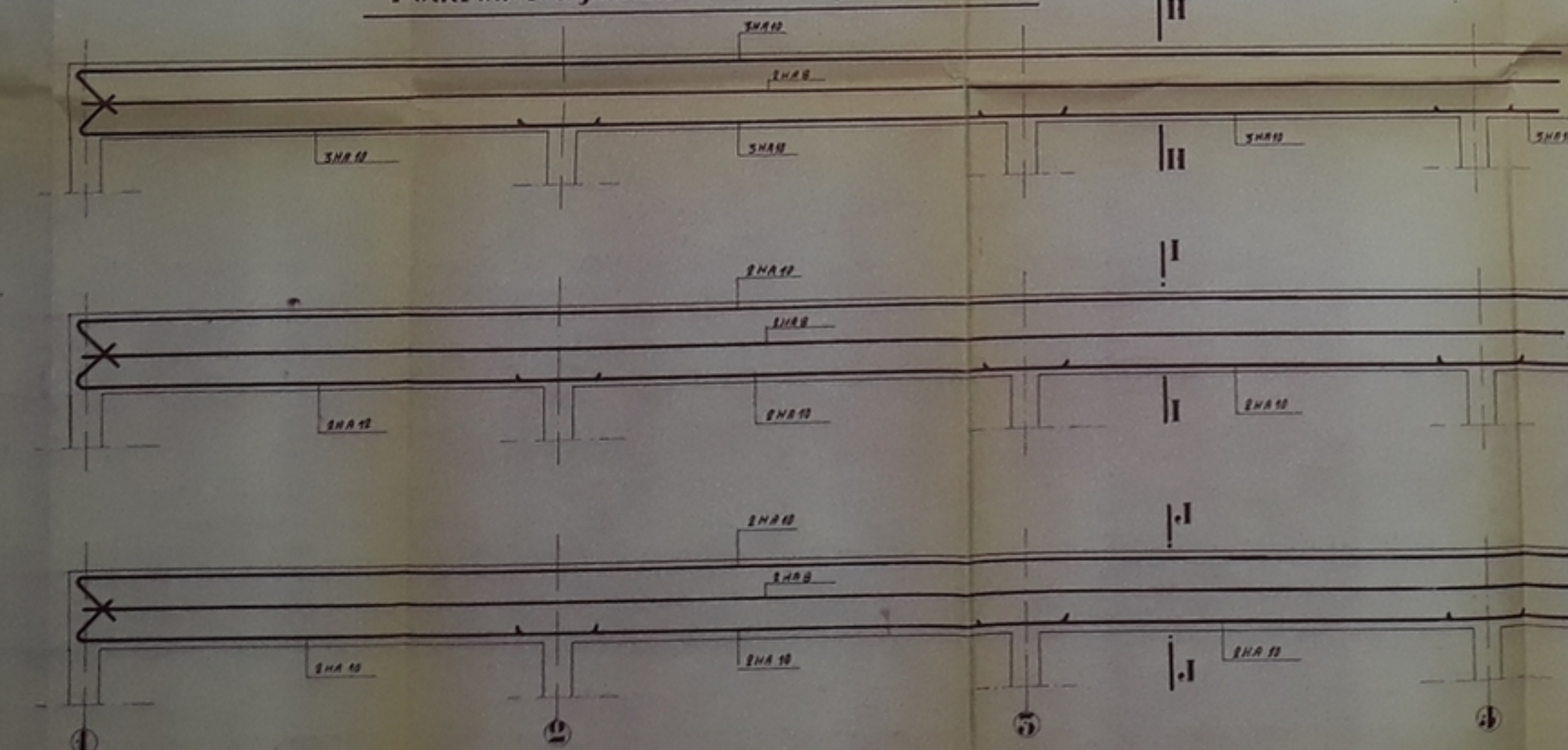
- Traverses d'étages -



- Poutres longitudinales du dernier niveau (4-2-5) -



- Poutres longitudinales d'étages (4-3-6) -



**E-E**  
Poutres -4-

**F-F**  
Poutres -2-

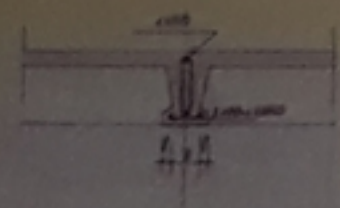
**G-G**  
Poutres -5-

**H-H**  
Poutres -4-

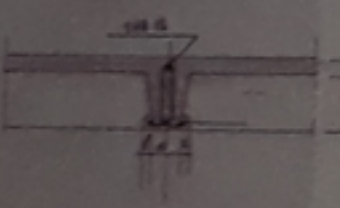
**I-I**  
Poutres -5-

**J-J**  
Poutres -6-

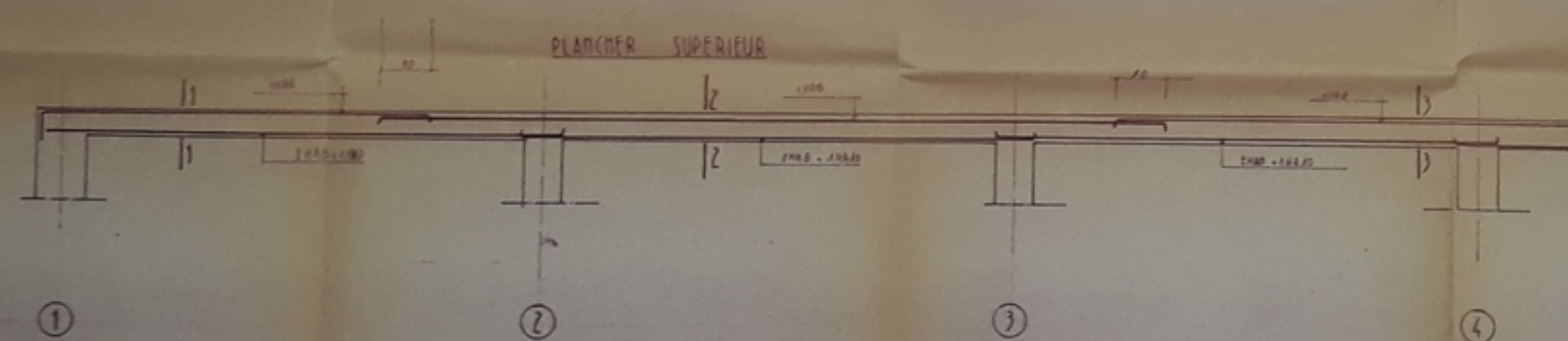
(COUPE 1)



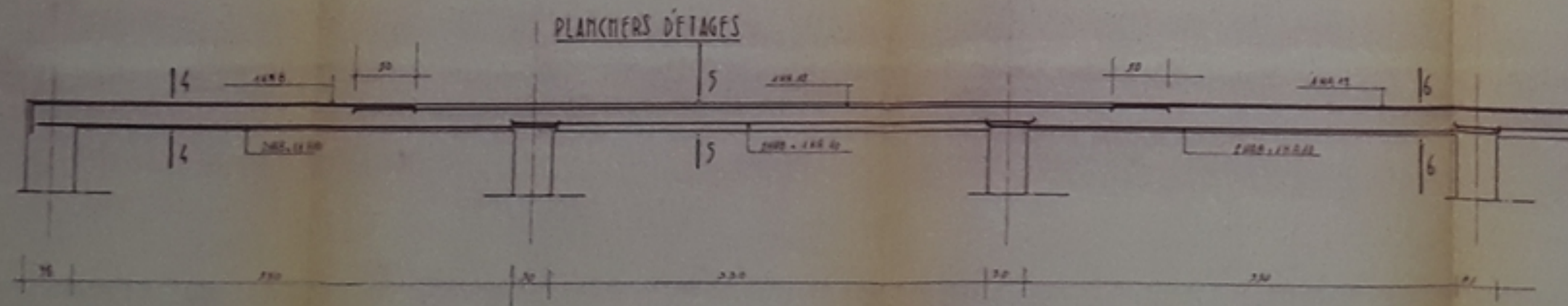
(COUPE 66)



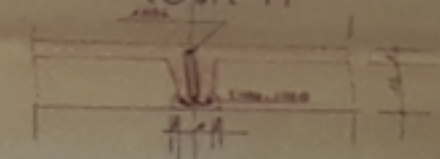
(COUPE 22)



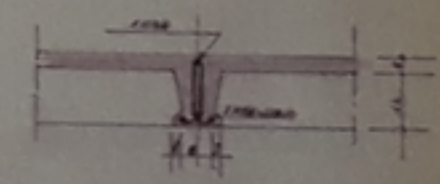
(COUPE 55)



(COUPE 1:1)



(COUPE 4:4)



PROJET DE FIN D'ETUDES

# HOPITAL DE OUARGLA

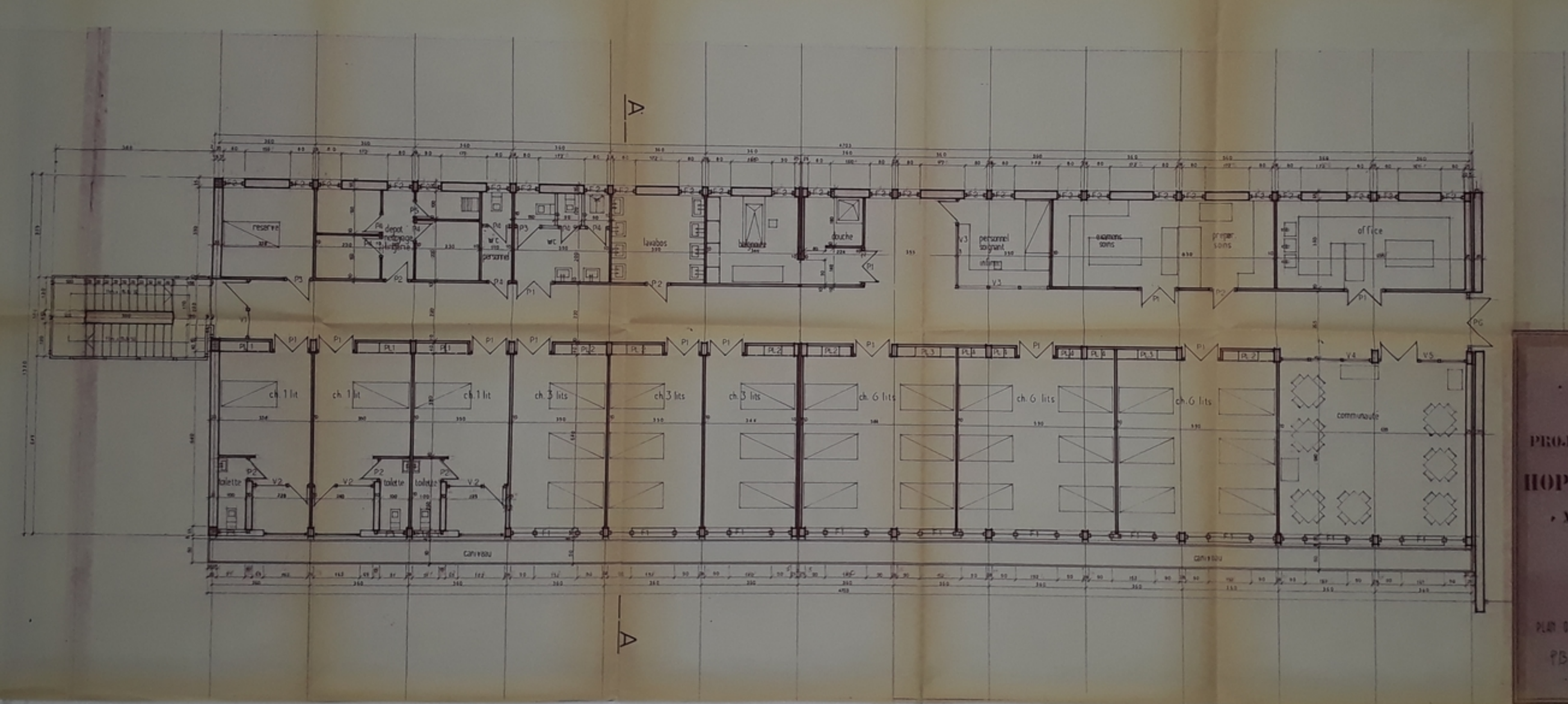
MEDECINE GENERALE

PROPOSE PAR M. SLAVOV  
DIREC. PAR M. BON  
ETUDIE PAR M. BELHAOU

PLAN 02 FERRAILAGE DES POUTRELES

PD-01073

03



• UNIVERSITE D'ALGER  
• ECOLE NATIONALE POLYTECHNIQUE •

PROJET DE FIN D'ETUDES

HOPITAL DE OUARGLA

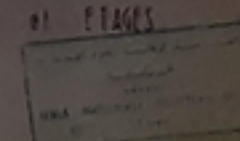
• MEDECINE GENERALE •

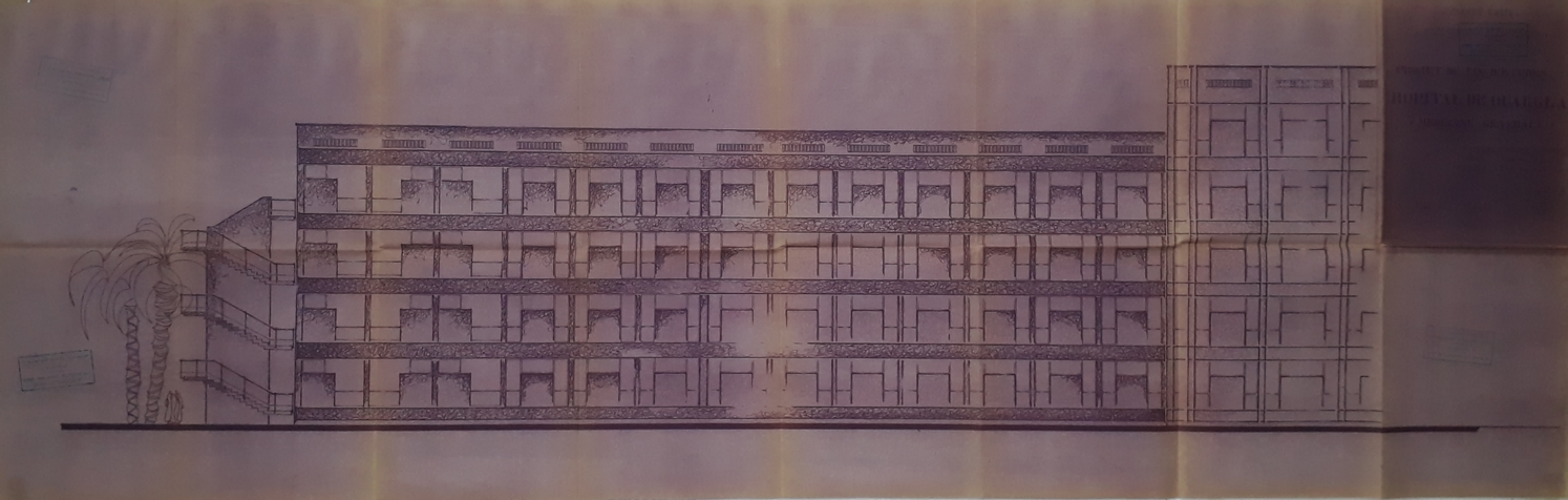
PROPOSE PAR Mr SLAVKOV  
DIRIGE PAR Mr BRON  
ETUDE PAR Mr BELHAOU

PLAN 04 REZ DE CHAUSSEE

PB 01/73

1/4





HOTEL DE GLASSA  
HOTEL DE GLASSA

UNIVERSITE D'ALGER

ECOLE NATIONALE POLYTECHNIQUE

ECOLE NATIONALE POLYTECHNIQUE  
BIBLIOTHEQUE

BIBLIOTHEQUE

PROJET DE FIN D'ETUDES

# HOPITAL DE OUARGLA

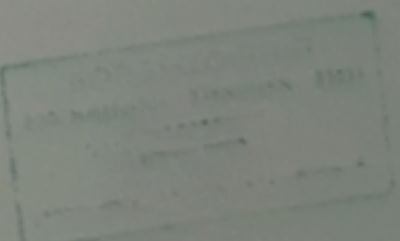
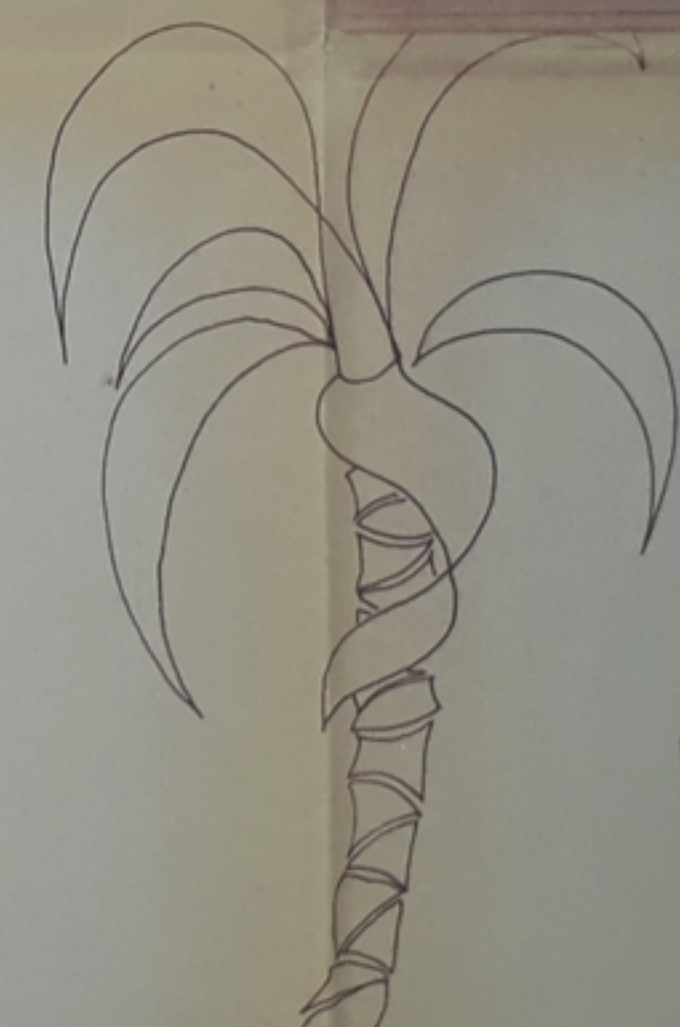
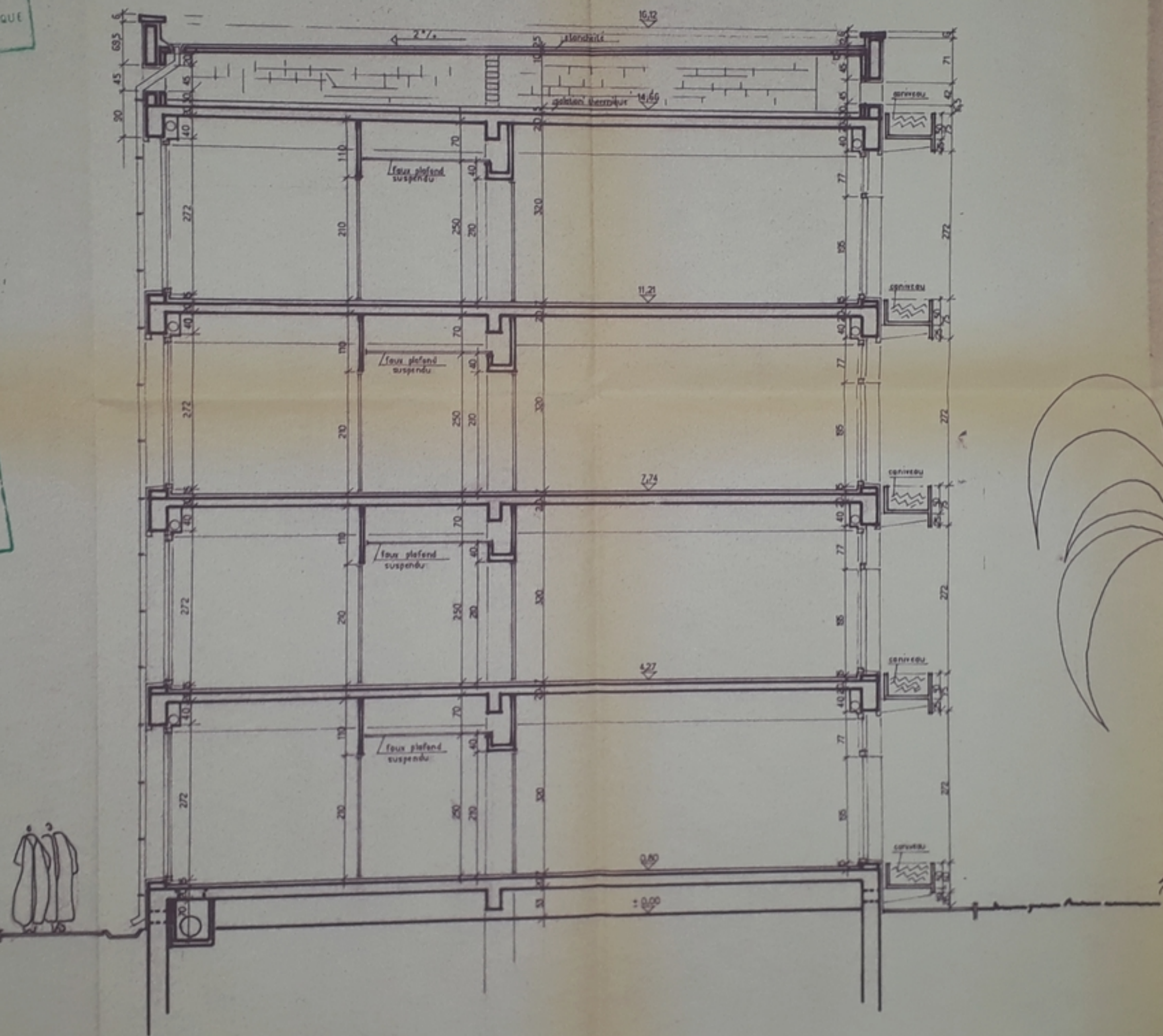
MEDECINE GENERALE

PROPOSE PAR MR SLAVKOV  
DIRIGE PAR MR BRON  
ETUDIE PAR MR BELHADJ

PB 01073

-06-

PLAN 06 COUPE AA



## - Vue en plan -

-Coupe A-A - Ech. 1/10

- Coupe B-B - Ech 1/2

- Coupe C-C - Ech 1/20

## PROJET DE FIN D'ETUDES

## HOPITAL DE QUARCI

MEDECINE GENERALE

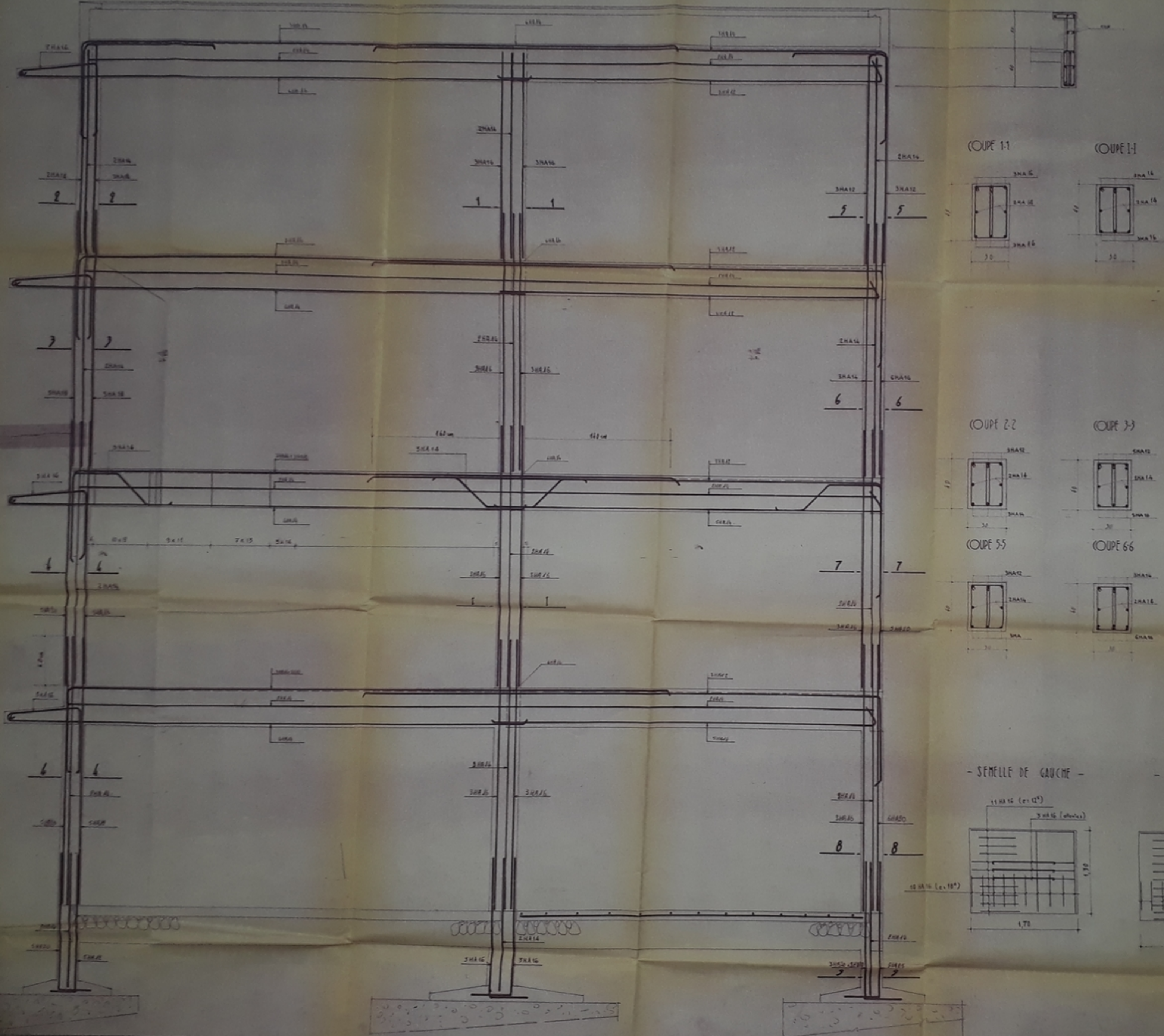
OUT 5.9

COUPÉ 88

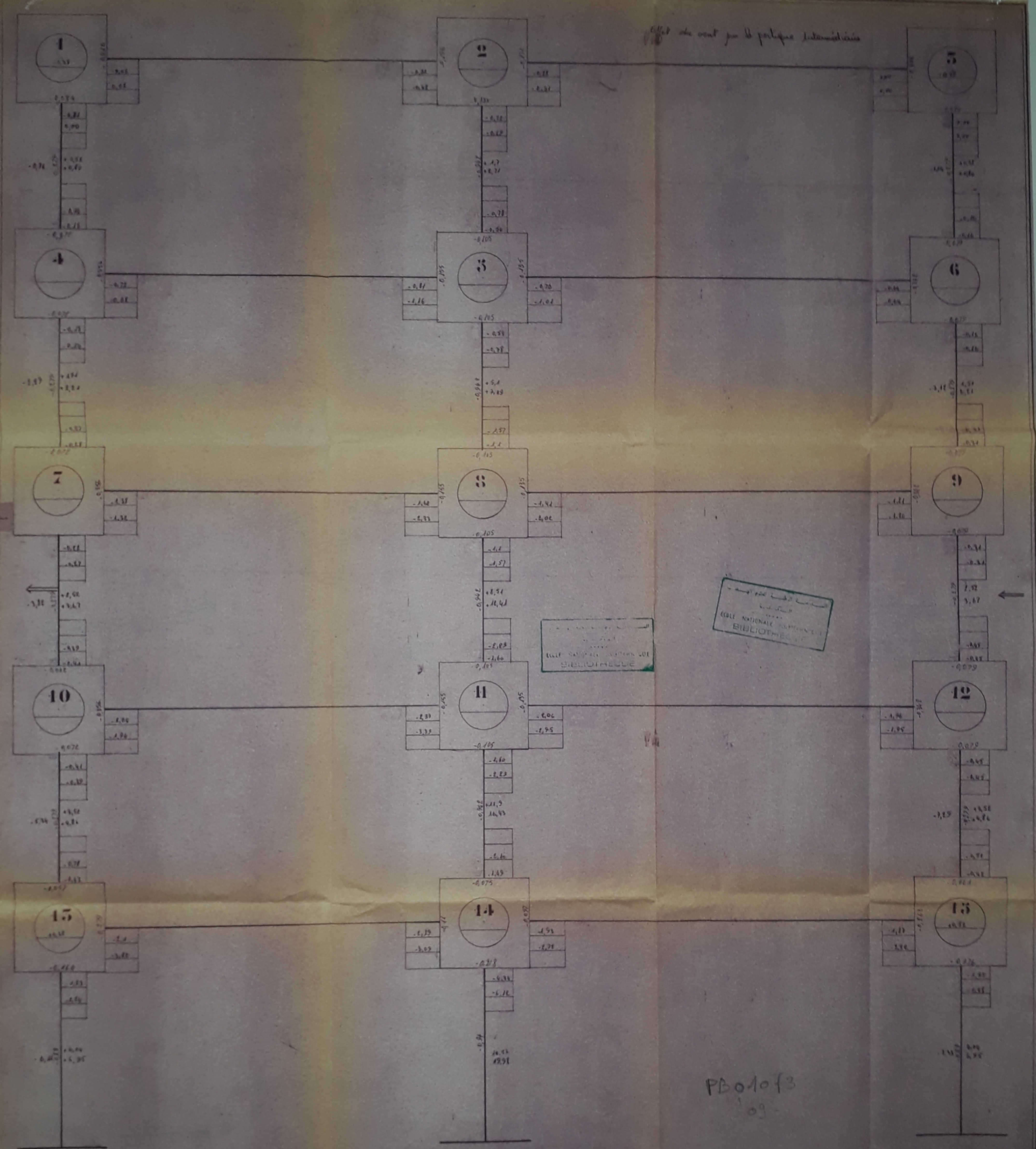
THE NATIONAL LIBRARY AND  
INFORMATION CENTER

- SEMEUIL DE DROITE -

49 MA 15 (n = 157)	SHA(3 + 2 = 120 (n=156))
49 MA 16 (n = 147)	44.8



Effect de vent pour la partie intermédiaire



## **CHARGES ET SURCHARGES**

Effet du vent sur le portage intermédiaire

- 11 -

